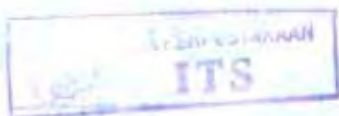


14.992/H/02,

TUGAS AKHIR
(KS 1701)

**PENGARUH PEMAKAIAN COATING HASTELLOY-X
DAN ZrO₂ TERHADAP EFISIENSI THERMAL
COMBUSTION CHAMBER TURBIN GAS**



RSSP
623.872.33
Dad
P-1
2001

Disusun Oleh :

DODIK PRASETYO U
NRP. 4296 100 037

JURUSAN TEKNIK SISTEM PERKAPALAN
FAKULTAS TEKNOLOGI KELAUTAN
INSTITUT TEKNOLOGI SEPULUH NOPEMBER
SURABAYA

2001

| | |
|--------------|----------|
| PERPUSTAKAAN | |
| ITS | |
| Tgl. Terima | 28/12/01 |
| Terima | H |
| No. A | 117.13 |

LEMBAR PENGESAHAN

PENGARUH PEMAKAIAN COATING HASTELLOY-X DAN ZrO₂ TERHADAP EFISIENSI THERMAL COMBUSTION CHAMBER TURBIN GAS

TUGAS AKHIR

**Diajukan Guna Memenuhi Salah Satu Syarat
Untuk Memperoleh Gelar Sarjana Teknik**

Pada

Jurusan Teknik Sistem Perkapalan

Fakultas Teknologi Kelautan

Institut Teknologi Sepuluh Nopember

Surabaya

**Surabaya, Juli 2001
Mengetahui / Menyetujui
Dosen Pembimbing**



ABSTRAK

Didalam ruang bakar turbin gas temperatur pembakaran adalah sangat tinggi sehingga tidak menutup kemungkinan panas yang terbuang dari ruang bakar juga cukup tinggi, hal ini dikarenakan adanya aliran fluida gas panas yang mengalir pada dinding ruang bakar keluar. Untuk mencegah panas yang hilang ini maka salah satu jalan yang dapat di tempuh adalah dengan melapiskan material lain yang mampu pada temperatur tinggi pada dinding ruang bakar. Pelapisan material lain kedalam ruang bakar turbin gas adalah bertujuan untuk mengurangi panas yang hilang untuk mencapai efisiensi turbin yang sebesar-besarnya. Pada proses pembakaran dimaksudkan untuk menghasilkan kalor yang besar bersamaan dengan pembangkitan panas yang tinggi untuk menghasilkan kerja, bila panas yang hilang tinggi maka secara langsung efisiensi turbin gas akan menurun.

Pengaruh pemakaian keramik pada ruang bakar turbin gas akan meningkatkan temperatur pembakaran dan efisiensi thermal. Keramik yang digunakan untuk pelapisan adalah jenis ZrO_2 dan Hastelloy-X. Pada kenyataannya dalam proses yang melibatkan temperatur tinggi menunjukkan bahwa material yang menggunakan keramik jenis ZrO_2 adalah sangat merugikan, karena jenis keramik ini memiliki beberapa kerugian diantaranya memiliki ketahanan thermal yang relatif rendah sedangkan keramik jenis Hastelloy-X banyak digunakan untuk lapisan pada material bertemperatur tinggi. Oleh karenanya disini akan dibandingkan seberapa besar pengaruh kedua keramik ini untuk menghasilkan efisiensi turbin yang tinggi.

KATA PENGANTAR

Segala puji kepada Tuhan Yesus Kristus yang telah membantu penulis telah dapat menyelesaikan Tugas Akhir ini.

Penyusunan Tugas Akhir yang berjudul "**PENGARUH PEMAKAIAN COATING HASTELLOY-X DAN ZrO₂ TERHADAP EFISIENSI THERMAL COMBUSTION CHAMBER DARI TURBIN GAS**" dimaksudkan untuk memenuhi salah satu syarat menyelesaikan studi di Jurusan Teknik Sistem Perkapalan Fakultas Teknologi Kelautan ITS. Penghargaan yang setinggi-tingginya dan ungkapan rasa terima kasih penulis sampaikan kepada :

1. Bapak Dr. Ir. A.A. Masroeri, MEng selaku Ketua Jurusan Teknik Sistem Perkapalan FTK-ITS
2. Bapak Ir. Alam Baheramsyah, MSc selaku Dosen Wali selama menempuh studi selama ini.
3. Bapak Ir. Aguk Zuhdi MF, MEng selaku Dosen Pembimbing yang telah banyak membantu hingga terselesaiannya Tugas Akhir ini.
4. Bapak dan Ibu Sutrisno sekeluarga atas dukungan moralnya sampai saat ini
5. Bapak Bambang Soetrisno, Ka. Seksi Teknik Pemeliharaan PPT MIGAS Cepu
6. Bapak Wibowo, Ka. Seksi Utilities PPT MIGAS Cepu
7. Bapak Samiraharja B.N., Coördinator control room Power Plant Central Duri
8. Bapak Herry J. Poerwanto, Team Manager Petani Balam FMT
9. Bapak Nazaruddin Burhan, Coordinator Support Shop
10. Arek-arek '96 TA angkatan III : Bambang "romeo" Hendrajaya, Made Harta "Bali", Nardi "teman sekamar", Idnillah "kikil sapi", Iwan "mbah ganteng 92".

Dan seluruh pihak yang namanya belum tersebut di atas. Penulis menyadari bahwa laporan ini masih jauh dari sempurna, untuk itu kritik dan saran dari para pembaca sangat diharapkan untuk sempurnanya laporan ini.

Surabaya, Juli 2001

Penulis

DAFTAR ISI

| | |
|--|-----|
| LEMBAR PENGESAHAN | i |
| ABSTRAK | ii |
| KATA PENGANTAR | iii |
| DAFTAR ISI | iv |
| DAFTAR GAMBAR DAN GRAFIK | v |
| DAFTAR TABEL DAN BAGAN | vi |
| | |
| BAB I PENDAHULUAN | |
| I.1. Latar Belakang | 1 |
| I.2. Perumusan Masalah | 2 |
| I.3. Batasan Permasalahan | 3 |
| I.4. Tujuan | 3 |
| I.5. Manfaat | 3 |
| I.6. Metodelogi Penulisan | 3 |
| | |
| BAB II DASAR TEORI | |
| II.1. Pengertian Tentang Udara | 5 |
| II.2. Viscositas Fluida | 5 |
| II.3. Aliran Mampu Mampat | 7 |
| II.3.1. Hubungan-hubungan Gas Sempurna | 7 |
| II.3.2. Sifat-sifat Stagnasi didalam Aliran Kompresibel | 8 |
| II.4. Kerja Reversible pada Aliran Steady Compressible | 9 |
| II.5. Aliran Fluida Selama Proses di dalam Turbin Gas | 12 |
| II.5.1. Aliran Fluida di dalam Kompresor | 12 |
| II.5.2 Keseimbangan Kalor didalam Ruang Bakar | 14 |
| II.5.3. Proses Gas Panas Pada Turbin | 15 |
| II.6. Ruang Pembakaran (Combustion Chamber) | 16 |
| II.7. Teori Pembakaran | 19 |
| II.7.1. Pembakaran Sempurna | 19 |
| II.7.2. Energi yang Terbangkit selama Pembakaran | 20 |
| II.7.3. Enthalpi Pembentukan | 20 |
| II.7.4. Enthalpi Pembakaran | 21 |
| II.8. Higher and Lower Heating Values | 22 |
| II.9. Reaksi Enthalpi | 23 |
| II.10. Keramik sebagai Lapisan Ruang Bakar | 24 |
| II.10.1. Keramik ZrO_2 | 24 |
| II.10.2 Sifat-sifat Mekanik ZrO_2 | 28 |
| II.11. Keramik Hastelloy-X | 30 |
| | |
| BAB III PERHITUNGAN PEMBAKARAN DAN EFISIENSI THERMAL DENGAN PEMODELAN MATEMATIS | |
| III.1. Proses Aerodinamika didalam Kompresor | 31 |
| III.1.1. Temperatur Selama Proses Kompresi | 31 |
| III.1.2. Kompresi Isentropik | 32 |
| III.1.3. Efisiensi Isentropik | 32 |
| III.1.4. Mach Number Pada Compressible Flow | 33 |

| | |
|---|----|
| III.1.5. Laju Alir Massa Rata-rata | 33 |
| III.1.6. Kerja Kompresor | 34 |
| III.2. Keseimbangan Kalor didalam Ruang Bakar | 34 |
| III.2.1. Perpindahan Kalor Konveksi Adiabatis | 34 |
| III.2.2 Perpindahan Kalor Radiasi ke Dinding Ruang Bakar | 36 |
| III.2.3. Perpindahan Kalor Konveksi ke Pendingin | 36 |
| III.2.4. Perpindahan Kalor Radiasi ke Pendingin | 37 |
| III.3. Proses Pembakaran di dalam Ruang Bakar | 37 |
| III.3.1. Excess Air | 37 |
| III.3.2. Excess Air dari Methana (CH_4) _g | 38 |
| III.3.3. Excess Air dari Ethana (C_2H_6) _g | 38 |
| III.3.4. Excess Air dari Propana (C_3H_8) _g | 39 |
| III.3.5. Excess Air dari Butana (C_4H_{10}) _g | 40 |
| III.3.6. Excess Air dari Heptana (C_7H_{16}) _l | 40 |
| III.3.7. Temperatur Pembakaran | 42 |
| III.3.8. Efisiensi Pembakaran | 43 |
| III.4. Produk Pembakaran dan Kalor Pembakaran | 43 |
| III.4.1. Pembakaran CH_4 | 43 |
| III.4.2. Pembakaran C_2H_6 | 44 |
| III.4.3. Pembakaran C_3H_8 | 44 |
| III.4.4. Pembakaran C_4H_{10} | 45 |
| III.4.5. Pembakaran C_7H_{16} | 45 |
| III.5. Kebutuhan Udara Pembakaran | 46 |
| III.6. Proses Gas Panas Pada Turbin | 47 |
| III.6.1. Temperatur Selama Proses Ekspansi | 47 |
| III.6.2. Ekspansi Isentropik | 47 |
| III.6.3. Efisiensi Isentropik Gas Sempurna | 48 |
| III.6.4. Mach Number Pada Compressible Flow | 49 |
| III.6.5. Laju Alir Massa Rata-rata | 49 |
| III.6.6. Kerja Turbin | 49 |
| III.7. Rugi-rugi Kalor | 49 |
| III.7.1. Rugi Kalor Keluar Dinding Ruang Bakar | 49 |
| III.7.2. Rugi Kalor Karena Gas Buang | 50 |
| III.7.3. Rugi Kalor Karena Penguapan H_2O | 50 |
| III.8. Kalor yang Bermansfaat | 50 |
| III.9. Kerja Bersih | 50 |
| III.10. Efisiensi Thermal | 50 |
| III.11. Nilai Kebenaran Perhitungan Efisiensi Thermal Matematis | 51 |

BAB IV ANALISA DAN PEMBAHASAN

| | |
|--|----|
| IV.1. Kalibrasi | 52 |
| IV.2. Analisa Grafik Hastelloy-X dan ZrO_2 Pada Ketebalan 0.06 in (standar) | 54 |
| IV.3. Analisa Pengaruh Energi Loss Pada Hastelloy-X dan ZrO_2 | 55 |
| IV.4. Analisa Pengaruh Ketebalan Terhadap Efisiensi Thermal | 56 |
| IV.5. Analisa Pengaruh Energi Loss Terhadap Efisiensi Thermal | 58 |

| | |
|------------------|----|
| BAB V KESIMPULAN | 59 |
| DAFTAR PUSTAKA | 60 |
| LAMPIRAN GRAFIK | |
| LAMPIRAN TABEL | |
| LAMPIRAN GAMBAR | |

DAFTAR GAMBAR DAN GRAFIK

| | | |
|-----------|---|----|
| Gambar 1 | Perubahan bentuk yang diakibatkan tegangan geser yang konsant | 6 |
| Gambar 2 | Keadaan stagnasi isentropic | 9 |
| Gambar 3 | Diffuser dan nozzle untuk aliran kompresibel | 11 |
| Gambar 4 | Aliran gas panas keluar dinding ruang bakar | 14 |
| Gambar 5 | Tabel unsur periodik | 25 |
| Gambar 6 | Struktur atom Zirconium | 25 |
| Gambar 7 | Ruang bakar lapisan Hastelloy-X | 75 |
| Gambar 8 | Ruang bakar lapisan ZrO_2 | 75 |
| Gambar 9 | Pengaruh ion besi terhadap kecepatan korosi ZrO_2 | 55 |
| Grafik 1 | Grafik hubungan tekanan dan volume spesifik | 12 |
| Grafik 2 | Enthalpi pembentukan C_8H_{18} (liquid) dan CO_2 | 21 |
| Grafik 3 | Reaksi enthalpi bahan bakar C_8H_{18} | 23 |
| Grafik 4 | Temperatur pembentukan ZrO_2 | 27 |
| Grafik 5 | Produk pembakaran CH_4 | 43 |
| Grafik 6 | Produk pembakaran C_2H_6 | 44 |
| Grafik 7 | Produk pembakaran C_3H_8 | 44 |
| Grafik 8 | Produk pembakaran C_4H_{10} | 45 |
| Grafik 9 | Produk pembakaran C_7H_{16} | 45 |
| Grafik 10 | Perbandingan efisiensi Vs daya aktual dan pemodelan matematis | 62 |
| Grafik 11 | Perbandingan efisiensi thermal Hastelloy-X dan ZrO_2 . Ketebalan 0.06 in (standard) | 63 |
| Grafik 12 | Pengaruh energi loss terhadap efisiensi thermal turbin gas lapisan Hastelloy-X dan ZrO_2 | 64 |
| Grafik 13 | Pengaruh ketebalan keramik terhadap efisiensi thermal lapisan Hastelloy-X | 65 |
| Grafik 14 | Pengaruh ketebalan keramik terhadap efisiensi thermal lapisan ZrO_2 | 66 |
| Grafik 15 | Perbandingan pengaruh energi loss terhadap efisiensi thermal turbin gas lapisan Hastelloy-X dan ZrO_2 | 67 |

DAFTAR TABEL DAN BAGAN

| | | |
|----------|---|----|
| Tabel 1 | Prosentase excess air bahan bakar natural gas | 41 |
| Tabel 2 | Komposisi gas yang meninggalkan ruang bakar | 41 |
| Tabel 3 | Perbandingan efisiensi thermal aktual dan model matematis | 51 |
| Tabel 4 | Harga kesetaraan efisiensi thermal lapisan Hastelloy-X dan ZrO ₂ | 57 |
| Tabel 5 | Deviasi efisiensi thermal pada ketebalan 0.052 in | 58 |
| Tabel 6 | Efisiensi thermal dari turbin gas lapisan Hastelloy-X | 70 |
| Tabel 7 | Efisiensi thermal dari turbin gas lapisan ZrO ₂ | 72 |
| Tabel 8 | Pengaruh energi loss pada turbin gas lapisan Hastelloy-X | 73 |
| Tabel 9 | Pengaruh energi loss pada turbin gas lapisan ZrO ₂ | 74 |
| Tabel 10 | Perbandingan energi loss dan efisiensi thermal lapisan Hastelloy-X dan ZrO ₂ | 58 |
| Bagan 1 | Reaksi pembuatan zirconia dari zircon | 26 |
| Bagan 2 | Metode precipitasi zircon | 27 |

BAB I

PENDAHULUAN

I.1. Latar Belakang

Pembakaran adalah pencampuran kimiawi yang melibatkan bahan bakar dan udara dengan komposisi tertentu pada temperatur tinggi yang terjadi didalam ruang bakar secara terus-menerus. Pembakaran dapat juga berarti bahwa terjadi perubahan energi dari energi kimia menjadi energi mekanik yang didalamnya terdapat pembangkitan sejumlah kalor untuk menghasilkan sejumlah energi dalam. Pembangkitan kalor dalam ruang bakar akan dianalisa dengan hukum-hukum perpindahan kalor.

Temperatur yang terjadi pada pembakaran adalah sangat tinggi sehingga tidak menutup kemungkinan panas yang terbuang dari ruang bakar juga cukup tinggi, hal ini dikarenakan adanya aliran fluida gas panas yang mengalir pada dinding ruang bakar keluar. Untuk mencegah panas yang hilang ini maka salah satu jalan yang dapat ditempuh adalah dengan melapiskan material lain yang mampu pada temperatur tinggi pada dinding ruang bakar.

Pelapisan material lain kedalam ruang bakar khususnya ruang bakar turbin gas adalah bertujuan untuk mengurangi panas yang hilang untuk mencapai efisiensi turbin yang sebesar-besarnya. Pada proses pembakaran dimaksudkan untuk menghasilkan kalor yang besar bersamaan dengan pembangkitan panas yang tinggi untuk menghasilkan kerja, bila panas yang hilang tinggi maka secara langsung efisiensi turbin gas akan menurun.

1.2. Perumusan Masalah

Ruang bakar merupakan komponen turbin gas yang berfungsi sebagai ruang pembakaran dimana energi dibangkitkan. Proses yang terjadi didalam ruang bakar akan mempengaruhi besar efisiensi thermal sehingga untuk mengetahui efisiensi turbin akan dibahas pengaruh pemakaian keramik ruang bakar turbin gas. Keramik yang digunakan untuk pelapisan adalah jenis ZrO_2 dan *Hastelloy-X*. Pada kenyataannya dalam proses yang melibatkan temperatur tinggi menunjukkan bahwa material yang menggunakan keramik jenis ZrO_2 adalah sangat merugikan, karena jenis keramik ini memiliki beberapa kerugian diantaranya memiliki ketahanan thermal rendah sedangkan keramik jenis *Hastelloy-X* banyak digunakan untuk lapisan pada material bertemperatur tinggi. Oleh karenanya disini akan dibandingkan besar pengaruh kedua keramik ini untuk menghasilkan efisiensi turbin yang tinggi.

Kerugian karena kecilnya faktor mekanik dan thermal properties akan mengurangi efisiensi suatu alat sehingga hal ini merupakan penyebab hilangnya energi mekanik yang dihasilkan dari proses yang terjadi dalam sistem turbin gas, hal ini akan berakibat gerak putar dari blade turbin akan menjadi rendah. Begitu juga dengan besarnya lose yang hilang pada ruang bakar akan menurunkan entalpi pembakaran sehingga akan menurunkan tenaga dalam yang ada dalam sistem, hal ini akan berakibat kecilnya daya keluaran (output power).

Penambahan *thermal barrier coating* dengan ketebalan 0.04-0.06 in akan mengurangi panas yang hilang sampai 10 %. Dibandingkan dengan material tanpa lapisan maka akan terjadi kehilangan panas sebesar 10 %, jikalau ini didiamkan sampai *hour life*-nya turbin maka output power yang dibutuhkan akan menurun.

1.3. Batasan Permasalahan

Batasan permasalahan untuk aliran udara diasumsikan steady flow pada kondisi adiabatis dan tidak ada pressure lose selama proses pembakaran serta tidak ada pertimbangan aspek ekonomis untuk pemakaian lapisan keramik.

1.4. Tujuan

Tugas akhir ini bertujuan untuk mengevaluasi dan mengetahui besarnya pengaruh lapisan keramik didalam dinding ruang bakar terhadap efisiensi turbin yang dicapai dengan menggunakan dua lapisan keramik yang berbeda.

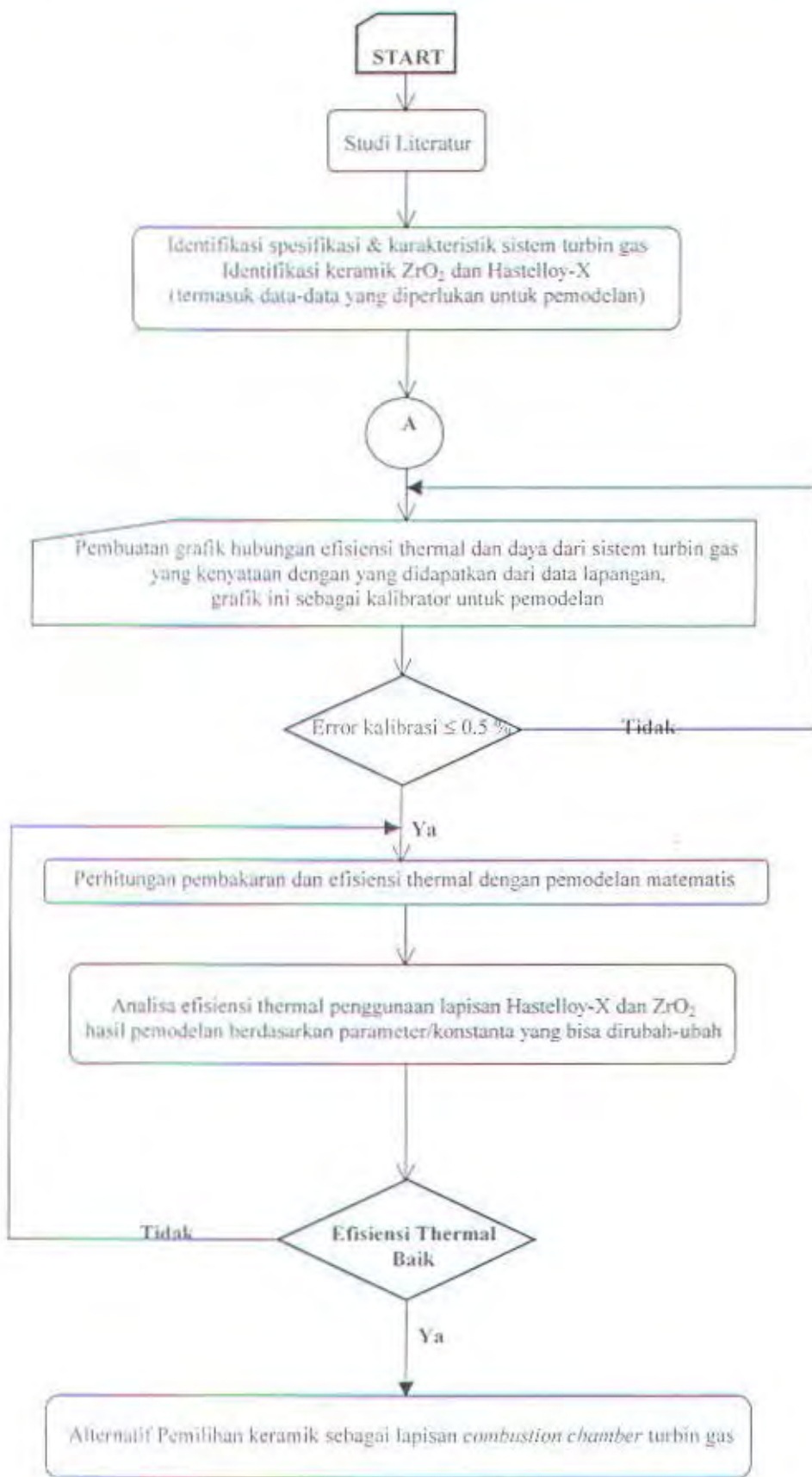
1.5. Manfaat

Dengan melakukan analisa pengaruh lapisan (coating) pada dinding ruang pembakaran ini dapat memberikan manfaat-manfaat antara lain :

1. Dapat memprediksi besarnya output power dan peningkatan efisiensi pembakaran serta efisiensi thermis pada turbin gas.
2. Dapat mengidentifikasi karakteristik lapisan (coating) yang dipakai untuk melapisi dinding ruang bakar turbin gas.
3. Memberi masukan untuk analisa daya output yang besar.
4. Memberi masukan untuk kemungkinan redesign.

1.6. Metodologi

Untuk meyelesaikan permasalahan yang telah diutarakan diatas maka akan didekati dengan metode teoritis dengan pendekatan model matematis. Diagram alir penyelesaian dapat dilihat pada gambar berikut :



BAB II

DASAR TEORI

II.1. Pengertian Tentang Udara

Udara merupakan media kerja turbin gas. Dalam udara terdapat tiga unsur penyusun utama yaitu gas asam (oksigen), gas nitrogen dan gas asam arang (karbondioksida). Bagian terkecil dari udara adalah molekul-molekul udara, dimana molekul-molekul ini mempunyai massa dan energi dan dapat bergerak sesuai dengan energi dan tenaga yang dimilikinya. Kecepatan gerak dari molekul-molekul itu merupakan ukuran temperatur dari udara sedangkan besarnya gaya persatuan luas yang ditimbulkannya sebagai ukuran tekanan.

II.2. Viscositas Fluida

Udara merupakan salah satu bentuk fluida. Fluida adalah zat yang berubah bentuk secara terus-menerus bila terkena tegangan geser (shear stress) betapapun kecilnya tegangan geser tersebut. Gaya geser didefinisikan sebagai komponen gaya yang menyinggung suatu permukaan, apabila gaya ini dibagi dengan luas permukaan maka ini akan menjadi tegangan geser rata-rata pada permukaan itu. Bila suatu zat ditempatkan diantara dua buah pelat sejajar pada jarak antara yang kecil sedemikian luasnya sehingga keadaan pada tepi-tepi plat dapat diabaikan. Pelat bawah terpasang tetap dan suatu gaya diberikan kepada pelat atas yang mengerahkan tegangan geser (τ_{yx}) yang terjadi pada elemen fluida adalah :

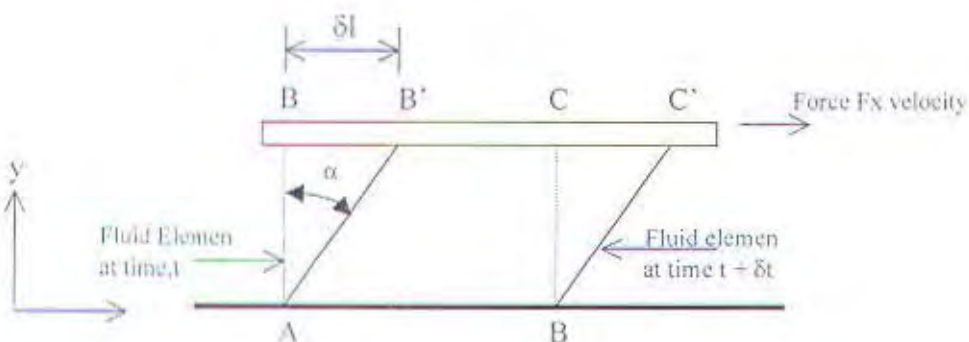
$$\tau_{yx} = \lim_{\delta A_y \rightarrow 0} \frac{\delta F_x}{\delta A_y} = \frac{dF_x}{dA_y}$$

dimana δA_i adalah luasan kontak antara elemen fluida dengan pelat dan δF_i adalah gaya yang dilakukan oleh pelat terhadap elemen tersebut selama interval waktu δt , elemen fluida mengalami deformasi dari posisi ABCD menjadi AB'C'D.

Laju deformasi dari fluida = $\lim_{\delta t \rightarrow 0} \frac{\delta \alpha}{\delta t} = \frac{d\alpha}{dt}$, sedangkan jarak antara titik B dan B'

adalah $\delta l = \delta u \cdot \delta t$ dan pada sudut yang kecil $\delta l = \delta y \cdot \delta \alpha$. Bila kedua persamaan diatas digabungkan akan menjadi :

$$\frac{\delta \alpha}{\delta t} = \frac{\delta u}{\delta v}$$



Gambar 1. Perubahan bentuk yang diakibatkan tegangan geser yang konsant

Dengan mengambil limit yang sama antara kedua sisi didapatkan :

$$\frac{d\alpha}{dt} = \frac{du}{dv}$$

Fluida dimana tegangan geser secara proposional berhubungan langsung dengan laju deformasi adalah fluida Newtonian diantaranya adalah air, udara, bensin.

Untuk fluida Newtonian berlaku :

$$\tau_{\text{ref}} \propto \frac{du}{dv} \quad \dots \dots \dots \quad (2.1)$$

atau dari hukum Newton tentang viscositas untuk aliran satu dimensi adalah :

dimana μ adalah viscositas absolut.

II.3. Aliran Mampu Mampat

11.3.1. Hubungan-hubungan Gas Sempurna

Gas Sempurna didefinisikan sebagai fluida yang mempunyai panas jenis konstan dan memenuhi hukum :

dimana : P = tekanan mutlak

T = suhu mutlak

ρ = kerapatan

R = konstanta gas

Pada umumnya panas jenis pada volume konstan (C_V) didefinisikan sebagai :

$$C_i = \left(\frac{\partial u}{\partial T} \right)_i \dots \quad (2.4)$$

dimana u adalah energi dalam persatuan massa dan C_v merupakan jumlah pertambahan energi dalam yang diperlukan oleh satu massa satuan gas untuk menaikkan suhunya satu derajat bila volumenya ditahan konstan. Sedangkan panas jenis pada tekanan konstan (C_p) didefinisikan sebagai :

dimana h adalah entalpi persatuan massa yang diberikan dalam persamaan berikut: $h = u + \frac{p}{\rho}$, karena p/ρ sama dengan RT dan bagi gas sempurna u adalah merupakan fungsi suhu maka h juga bergantung pada suhu.

Banyak gas-gas yang lazim dijumpai seperti uap air, hidrogen, oksigen, karbondioksida dan udara mempunyai perubahan panas jenis yang agak kecil pada daerah suhu 500 R. Untuk gas sempurna persamaan (2.4) dan persamaan (2.5) akan menjadi :

$$\text{maka : } h = u + \frac{p}{\rho} = u + RT$$

dengan diferensial diperoleh :

$$dh = du + R dT$$

dengan memasukkan persamaan (2.6) maka diperoleh :

Perbandingan panas jenis (k) didefinisikan sebagai berikut : $k = \frac{C_p}{C_v}$, dan dengan

menyelesaikan bersama persamaan (2.4) maka didapatkan :

$$C_p = \frac{k}{k-1} R \quad \text{dan} \quad C_v = \frac{R}{k-1} \quad \dots \dots \dots \quad (2.8)$$

II.3.2. Sifat-sifat Stagnasi didalam Aliran Kompresibel

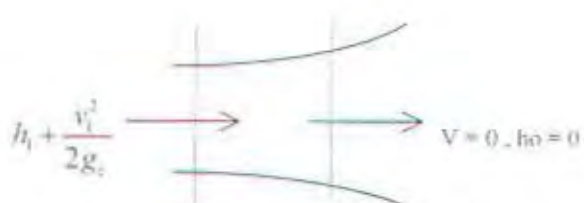
Keadaan stagnasi isentropik adalah keadaan yang akan dicapai oleh fluida yang mengalir jika fluida tersebut dibuat berhenti secara isentropic didalam suatu alat keluaran kerja nol adiabatik. Dari suatu keseimbangan tenaga didapatkan bahwa entalpi stagnasi (h_0) dihubungkan dengan entalpi dan kecepatan fluida yang bergerak oleh :

Untuk gas sempurna dengan C_p yang konstan :

$$h_0 - h = C_p (T_0 - T)$$

maka

$$\frac{T_0}{T} = 1 + \frac{v^2}{2g_c C_p T}$$



Gambar 2. Keadaan stagnasi isentropik

Dengan menggunakan persamaan gas sempurna yang menghubungkan entropi kepada temperatur dan tekanan yaitu :

$$S_2 - S_1 = C_p \ln \frac{T_2}{T_1} - R \ln \frac{p_2}{p_1}$$

dengan menggunakan $S_1 = S_2$ maka diperoleh :

$$\frac{T_2}{T_1} = \left(\frac{p_2}{p_1} \right)^{\frac{g}{C_p}} = \left(\frac{p_2}{p_1} \right)^{\frac{k-1}{k}} \quad \dots \dots \dots \quad (2.10)$$

Dari persamaan (2.10) maka untuk tekanan stagnasi dapat diturunkan :

$$\frac{p_0}{p} = \left(\frac{T_0}{T} \right)^{\frac{k}{k-1}} = \left(1 + \frac{v^2}{2g_c C_p T} \right)^{\frac{k}{k-1}}$$

II.4. Kerja Reversible pada Aliran Steady Compresibel

Gas panas aliran steady compressibel satu dimensi dalam turbin gas terjadi pada hubungan antara sambungan-sambungan baik didalam difuser masukan maupun difuser keluaran. Perlu diingat bahwa asumsi satu dimensi adalah pada

aliran isentropik kecil sampai pada aliran keluaran gas. Untuk aliran isentropik persamaan kontinuitas adalah :

$$\frac{dA}{A} + \frac{d\rho}{\rho} + \frac{dv}{v} = 0 \quad \dots \dots \dots \quad (2.11)$$

Menurut Euler persamaan (2.11) akan menjadi :

$$\frac{dp}{P} + vdv = 0$$

Pada entropi konstan, kecepatan suara dapat didefinisikan dari persamaan Euler sebagai :

$$\frac{a^2 d\varphi}{\rho} = -v dv$$

sehingga bila persamaan diatas disubstitusikan kedalam persamaan (2.11) akan menjadi :

$$\frac{dA}{A} - \frac{vdv}{a^2} + \frac{dv}{y} = 0 \quad \dots \dots \dots \quad (2.12)$$

sehingga bila persamaan (2.12) diselesaikan akan didapatkan :

$$\frac{dA}{A} = \frac{A}{v} \left(\frac{v^2}{a^2} - 1 \right) = \frac{A}{v} (M^2 - 1) \quad \dots \dots \dots \quad (2.13)$$

dimana : A = Luasan nozzle (throat), mm

v = kecepatan aliran gas panas, m/s

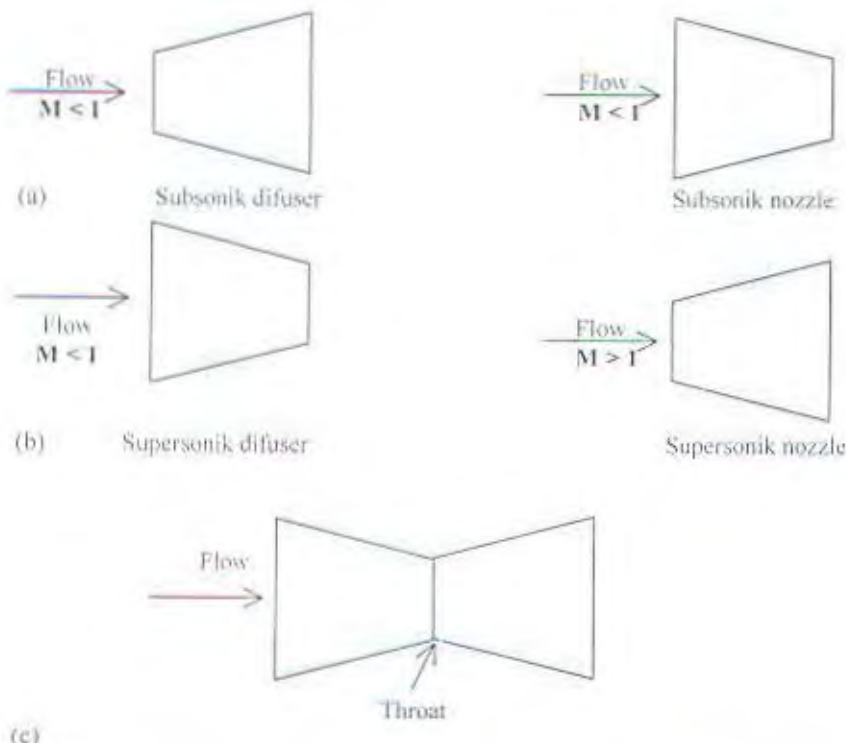
a = kecepatan suara, m/s

M = Mach number

Untuk A yang positif dan harga M yang bervariasi ada beberapa kasus :

- Aliran subsonik; $M < 1$, $dA/dv < 0$, bila A besar dan v menurun maka terjadi pada difuser subsonik tetapi bila A mengecil dan v membesar terjadi pada nozzle subsonik.

- Aliran sonik; $M = 1$, $dA/dv = 0$, bila A konstan dan v tidak naik ataupun menurun.
 - Aliran supersonik; $M > 1$, $dA/dv > 0$, bila A membesar dan v menaik maka terjadi pada nozzle supersonik tetapi bila A mengecil dan v menurun terjadi pada difuser supersonik.

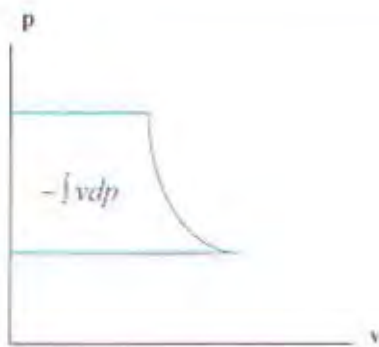


Gambar 3. Difuser dan nozzle untuk aliran kompresible. (a) subsonik flow, (b) supersonik flow, (c) perubahan bentuk dari subsonik ke supersonik dan sebaliknya.

Sedangkan besarnya kerja yang dilakukan oleh sistem pada aliran steady compressibel adalah :

$$-w_{12} = + \int_1^2 vdp + \Delta KE + \Delta PE \quad \dots \dots \dots \quad (2.14)$$

dimana ΔKE adalah perubahan energi kinetik dan ΔPE adalah perubahan energi potensial dan hubungan tekanan dan volume spesifik ditunjukkan diagram dibawah ini.



Grafik 1. Grafik hubungan tekanan dan volume spesifik

Berdasarkan grafik diatas maka besarnya kerja reversibel adalah luasan dari hubungan tekanan dan volume spesifik.

11.5. Aliran Fluida Selama Proses di dalam Turbin Gas

11.5.1. Aliran Fluida di dalam Kompresor

Proses yang terjadi didalam kompresor adalah proses kompresi. Proses ini terjadi dari udara atmosfer dihisap oleh kompresor sampai pada tekanan tinggi. Adapun temperatur kompresi ditentukan oleh :

$$T_{a,E} = \Delta T_a (1 - A_{in}) = (T_2 - T_1) (1 - A_{in}) \quad \dots \dots \dots \quad (2.15)$$

dengan $T_{t,k}$ adalah temperatur udara kompresi dan A_{tm} adalah faktor koreksi temperatur pada proses kompresi. Sedangkan kompresor memiliki efisiensi tersendiri yang disebabkan oleh adanya *pressure ratio*. Kondisi didalam kompresor adalah isentropik, maka besar efisiensi kompresor :

$$\eta_i = \frac{\left[\left(\frac{P_2}{P_1} \right)^{\frac{j-1}{2}} - 1 \right]}{\left[\left(\frac{P_2}{P_1} \right)^{\eta_{j-1}} - 1 \right]} \quad \dots \dots \dots \quad (2.16)$$

Udara yang mengalir melewati sepanjang suatu kompresor memiliki kecepatan dimana distribusi kecepatan udara ini akan dipengaruhi oleh faktor kompresibilitas. Adalah Mach number yang akan mempengaruhi kompresibilitas udara tersebut dan dapat ditentukan dengan :

$$M = \frac{v}{a} = \frac{v}{\sqrt{g_0 \gamma RT_{d,k}}} \quad \dots \dots \dots (2.17)$$

dengan: v = kecepatan alir udara kompresor, ft/s

g_0 = percepatan gravitasi, 32.2 ft/s²

R = konstanta gas, 1545.32 ftlb/lb mol °F

Massa udara yang mengalir merupakan laju rata-rata udara yang melewati kompresor. Dari persamaan kontinuitas, laju alir massa udara dari kompresor adalah :

$$m = M \left(\frac{g_0 Y}{R} \right)^{0.25} \left(1 + \frac{\gamma - 1}{2} M^2 \right)^{\frac{\gamma+1}{2(\gamma-1)}} \frac{A_{ref} P_0}{\sqrt{T_0}} \dots \quad (2.18)$$

dengan : A_{ref} : luasan yang dilalui udara, ft^2

P_0 dan T_0 : Tekanan dan temperatur stagnansi didalam kompresor

Dengan persamaan kecepatan alir udara dari kompresor maka kerja kompresor yang dilakukan selama proses kompresi pada kondisi steady-state adalah :

$$Q \circ W = \left(c_2 + \frac{P_2}{\rho_2 j} + \frac{v_2^2}{2g_0 j} \right) - \left(c_1 + \frac{P_1}{\rho_1 j} + \frac{v_1^2}{2g_0 j} \right)$$

dimana, Q = energi yang diberikan, Btu/lb (adiabatic)

W = kerja yang dilakukan poros kompresor, Btu/lb

j = konstanta torsji-mekanis, 778,16 lb ft/Btu

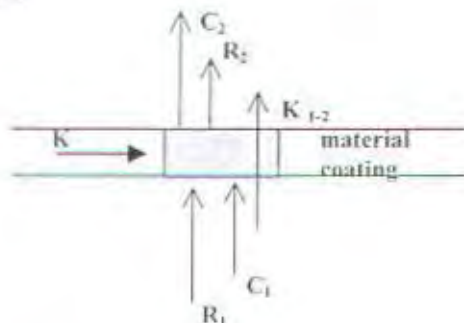
ρ_2, ρ_1 = densitas udara pada T_{a2}, T_{a1} , lb/ft^3

P_2, P_1 = Tekanan dari kedua titik acuan, psi

$(e_i), (e_j)$ = energi dalam dari dua titik acuan, Btu/lb

11.5.2 Keseimbangan Kalor didalam Ruang Bakar

Pada kondisi steady-state :



Gambar 4. Aliran gas panas keluar dinding ruang bakar

dimana : R_1 & R_2 : Perpindahan kalor radiasi didalam dan luar ruang bakar

C_1 & C_2 : Perpindahan kalor konduksi dari gas panas dan gas plate

K : Konduksi panas sepanjang dinding ruang bakar \equiv kecil

ΔA_{W2} : Luasan dinding ruang bakar sebelah luar $\equiv \Delta A_{W1}$

Temperatur yang terjadi pada pembakaran adalah sangat tinggi sehingga tidak menutup kemungkinan panas yang terbuang dari ruang bakar juga cukup tinggi, hal ini dikarenakan adanya aliran fluida gas panas yang mengalir pada dinding ruang bakar keluar. Adapun keseimbangan kalor disini adalah :

Perpindahan Kalor Konveksi Adiabatis

dimana : H_g = koefisien perpindahan kalor adiabatik

T_{AD} = temperatur dinding dalam ruang bakar

Perpindahan Kalor Radiasi ke Dinding Ruang Bakar

Dengan $\left(\frac{f}{a}\right)$ adalah perbandingan bahan bakar-udara, sehingga dengan T_g merupakan temperatur pembakaran di primary zone dan e_m adalah emisivitas bahan pelapis maka perpindahan kalor radiasi :

Perpindahan Kalor Konveksi ke Pendingin

dimana : H_C = koefisien perpindahan kalor konveksi ke pendingin

T_C = temperatur pendingin

Perpindahan Kalor Radiasi ke Pendingin

Asumsi : perbandingan luasan antara ruang bakar dan casing sangat kecil sehingga dapat diabaikan

$$R_{\text{c}} = \sigma \frac{e_m \times e_{\text{sw}}}{e_{\text{cas}} + e_m (1 - e_{\text{cas}})} \left(\frac{A_m}{A_{\text{cas}}} \right) \left(T_m^4 - T_c^4 \right) \dots \quad (2.22)$$

11.5.3. Proses Gas Panas Pada Turbin

Proses pada turbin tidak jauh dari proses yang terjadi di kompresor akan tetapi proses ini adalah ekspansi. Untuk menentukan besar kerja turbin adalah :

$$W_j = \frac{\text{Energy input}}{j \times \text{mass flow}} = \frac{\omega \times \text{torque}}{j \times \text{mass flow}} = \frac{\omega \times \left(\frac{dW}{12g_0} \right) \times (r_2 V_{u2} - r_1 V_{u1})}{j \times m_2} \quad \dots \dots (2.23)$$

bahwa ω = percepatan tangential sudut turbin

$$r_c = \beta R \quad (\beta < 0.5); \quad r_c \geq 700 \text{ in.}$$

II.6. Ruang Pembakaran (*Combustion Chamber*)

Untuk menghasilkan efisiensi, kekompakan peralatan, dan emisi yang rendah dari ruang pembakaran pada turbin gas khususnya untuk aplikasi industri dengan membuat kondisi operasional yang lebih lebar pada saat sistem dioperasikan, kondisi operasional tersebut meliputi sistem start, akselerasi dan deselerasi pada beban penuh.

Beberapa hal yang berkaitan dengan ruang bakar turbin gas adalah :

- Pelepasan energi kimia dari bahan bakar dalam ruang bakar
- Minimum pressure drop pada saat peralatan dioperasikan
- Keandalan harus lebih dari overhaul engine
- Distribusi temperatur mendekati uniform pada masukan stator turbin
- Efisiensi pembakaran tinggi (low emission)

Terdapat tiga daerah utama pada ruang pembakaran yaitu difuser, primary zone, dan secondary zone.

Difuser merupakan daerah transisi antara keluaran kompresor dan masukan ruang bakar. Faktor penting dalam menurunkan pressure lose adalah dengan menurunkan kecepatan udara kompresor. Kecepatan udara pada kompresor axial adalah berkisar 500-600 ft/s. *Primary zone* berfungsi sebagai manifold. Pada bagian ini merupakan tempat dimana bahan bakar diinjeksikan dan dibakar. Bahan bakar yang diinjeksikan merupakan percampuran kimiawi (stoikiometri) antara bahan bakar dengan udara dalam kondisi uniform. Sistem penginjeksi bahan bakar harus mampu beroperasi pada kondisi sampai pada beban penuh. Kecepatan udara pada kondisi operasi sangat menentukan kecepatan pembakaran yang terjadi pada ruang bakar. Ukuran butiran bahan bakar merupakan fungsi dari tekanan bahan

bakar yang masuk kedalam pembakaran, lain halnya dengan bahan bakar liquid yang harus dievaporasikan terlebih dahulu sebelum mengalami pembakaran. Pengevaporasian bahan bakar liquid rata-rata memiliki luas permukaan yang lebih besar bila diinjeksikan pada kecepatan tinggi. Penginjeksian bahan bakar pada kecepatan tinggi menyebabkan butiran yang lebih kecil karena mengalami pengkabutan (atomizing). Jika butiran bahan bakar kecil akan terjadi penetrasi yang baik pada aliran udara tetapi jika butiran bahan bakar lebih besar dan waktu pengevaporasian menurun sehingga menghasilkan pembakaran yang buruk. Pada umumnya sistem pembakaran pada turbin gas menggunakan nozzle dengan ukuran tetap. Ini berarti bahwa bahan bakar pada kondisi idle dan daya penuh yang diinjeksikan adalah sama untuk masing-masing nozzle.

Tipe-tipe Sistem Pembakaran

Pada prinsipnya tipe-tipe sistem pembakaran ada tiga macam yang digunakan untuk pemakaian turbin gas. Tiga macam tipe sistem pembakaran ini adalah can type, annular type dan can-annular type.

Ruang bakar *can type* merupakan perpaduan diameter antara liner dengan casing. Ruang bakar ini lebih banyak digunakan pada turbin gas dengan kompresor sentrifugal. Pada tipe ini udara yang meninggalkan difuser kompresor dikelompakkan dalam beberapa sambungan pada masing-masing ruang bakar. Tipe ruang bakar ini mempunyai kekuatan struktur yang baik tanpa dipengaruhi oleh beratnya. Masing-masing ruang bakar mudah diinspeksi, diputar, dan dipindahkan untuk menghasilkan sejumlah daya besar dibandingkan dengan sistem yang lebih besar. Untuk aliran udara yang sama dimana diameter dari

ruang bakar tipe ini kecil akan menghasilkan temperatur udara yang bervariasi pada saat gas panas bercampur dengan bahan bakar.

Ruang bakar tipe *annular* memiliki satu atau dua sambungan. Bahan bakar masuk melalui nozzle pada primary zone selain itu juga masuk kedalam secondary zone sebagai cooling dan sealing. Keuntungan pemakaian dari ruang bakar tipe annular ini adalah pengaturan ruangan yang sangat efektif dan mudah untuk menghindari campuran tidak uniform antara bahan bakar dan udara yang masuk kedalam ruang bakar serta memiliki pressure drop yang rendah. Kerugian pemakaian dari ruang bakar annular adalah sulitnya perbaikan liner tanpa memindahkan beberapa komponen peralatan engine serta lemahnya struktur dari bahan ruang bakar. Penggunaan ruang bakar tipe *cannular* hanya beberapa pada turbin gas. Desain dari cannular termasuk penempatan didalam ruang bakar silindrikal, masing-masing bisa menyalurkan udara dan bahan bakar melalui nozzle pada primary zone, sebagai pendinginan dan sealing pada secondary zone. Dari segi struktur tipe ini tidak diragukan lagi dibandingkan tipe annular, serta didesain sedemikian rupa sehingga distribusi temperatur dari nozzle masukan dapat merata.

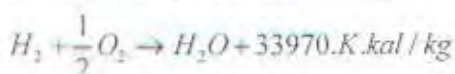
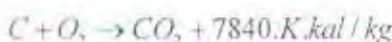
Pada ruang bakar ideal memiliki pressure drop kecil pada efisiensi pembakaran 100 % dengan temperatur keluaran uniform pada stabilitas operasi dengan kemampuan dibawah kondisi operasi. Tetapi sangat tidak mungkin untuk membuat suatu sistem dengan efisiensi 100 % tersebut, salah satu faktor penting yang harus dipahami adalah adanya pressure loss dalam aliran gas panas untuk menstabilkan pembakaran dan campuran bahan bakar udara. Kecepatan pembakaran harus lebih rendah dari udara secondary yang keluar dari nozzle.

II.7. Teori Pembakaran

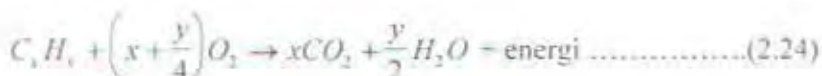
Pembakaran (combustion) adalah pencampuran secara kimia dari berbagai zat yang melibatkan oksigen sebagai oksidator dengan bahan bakar pada temperatur tinggi dan tekanan tertentu. Bahan bakar yang digunakan untuk pembakaran pada turbin gas adalah hidrokarbon baik itu berupa gas ataupun berbentuk liquid, secara umum hidrokarbon dapat dirumuskan dengan C_xH_y .

H.7.1. Pembakaran Sempurna

Pembakaran sempurna terjadi bila ada pembebasan sejumlah panas yang terkandung dalam bahan bakar dan menekan jumlah panas yang hilang karena tidak sempurnanya pembakaran serta adanya panas yang terserap oleh udara pembakar. Persamaan dasar pembakaran antara unsur karbon dan hidrogen dengan oksigen adalah :



untuk pembakaran sempurna antara hidrokarbon dengan oksigen reaksi yang terjadi secara umum adalah :



sehingga jumlah udara kering yang diinginkan dalam reaksi diatas adalah :

$$\frac{mol\text{ udara keriting}}{mol.C_3H_8} = \frac{x + y/4}{0,2095}$$

sedangkan prosentase excess air udara kering yang dibutuhkan didefinisikan sebagai perbandingan antara udara yang dibutuhkan dengan udara teoritis.

$$\% excess air = \left(\frac{S - R^*}{R^*} \right) \times 100 \quad \dots \dots \dots (2.25)$$

II.7.2. Energi yang Terbangkit selama Pembakaran

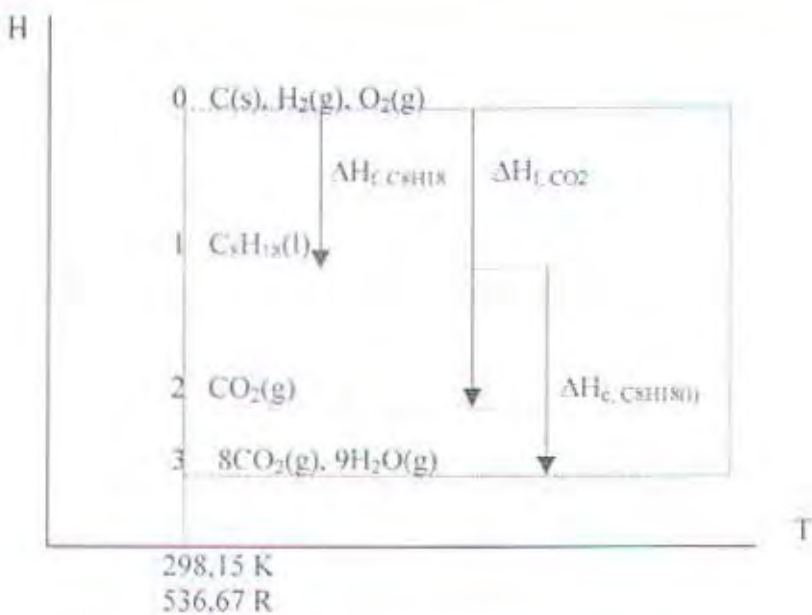
Setiap proses pembakaran yang melibatkan bahan bakar dan udara akan menghasilkan sejumlah energi. Pembakaran pada volume konstan berarti tidak ada kerja yang dapat dilakukan. Dari hukum pertama thermodinamika tentang laju perpindahan panas yang terjadi sama dengan energi dalam yang terbangkit.

dimana : Q = laju perpindahan selama pembakaran

$U =$ energi dalam

11.7.3. Enthalpi Pembentukan

Enthalpi adalah energi yang terkandung dalam suatu zat bila zat tersebut mengalami proses pembakaran. Enthalpi pembentukan (ΔH_f) menunjukkan perubahan enthalpi positif atau negatif bila 1 mol campuran terbentuk pada kondisi standar pada tekanan konstan. Pada temperatur tinggi campuran yang terkandung dalam bahan bakar akan menghasilkan enthalpi yang pada akhirnya merupakan hasil dari sejumlah energi dalam pada tekanan konstan. Berikut evaluasi diagram dari enthalpi-temperatur pada enthalpi pembakaran untuk C_8H_{18} (liquid) dan CO_2 adalah :



Grafik 2. Enthalpi pembentukan C₈H₁₈ (liquid) dan CO₂

Berdasarkan diagram diatas panas pembentukan dari C_8H_{18} (liquid) dan CO_2 dapat dihitung dari persamaan :

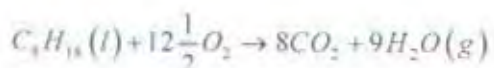
$$\Delta H_{f,CSH18} = H_1 - H_0 \quad \dots \dots \dots \quad (2.27)$$

dengan catatan bahwa untuk harga CO_2 diambilkan dari daftar properties zat pada temperatur 298,15 K (536,67 R).

II.7.4. Enthalpi Pembakaran

Enthalpi pembakaran atau panas pembakaran pada tekanan konstan (ΔH_c) didefinisikan sebagai perpindahan kalor bila 1 mol substansi (zat) dibakar secara sempurna pada tekanan konstan untuk kemudian mendingin pada temperatur initial bahan bakar. Berdasarkan diagram enthalpi-temperatur diatas, enthalpi pembakaran karbon (C) adalah :

Enthalpi pembakaran C_8H_{18} (liquid) dengan semua H_2O dalam produk berbentuk gas dapat dirumuskan sebagai berikut :



$$\Delta H_{\text{crossover}}(t) = H_2 - H_1$$

$$\Delta H_{\text{e,300K}}(I) = (H_3 - H_0) - (H_I - H_0)$$

$$\Delta H_{e, \text{excess}}(l) = \sum (n_i \Delta H_{f,i})_{\text{ex}} - \sum (n_i \Delta H_{f,i})_{\text{ref}}$$

II.8. Higher and Lower Heating Values

Nilai kalor bahan bakar didefinisikan sebagai harga kandungan panas dari bahan bakar dimana besarnya nilai kalor ini berdasarkan jenis bahan bakar yang dipakai. Perhitungan nilai kalor bahan bakar padat dan cair dapat ditaksir dengan menggunakan persamaan *Dulong-Petit*, bila analisa bahan bakar yang tersedia lengkap :

$$HHV = 14544C + 62028 \left(H - \frac{O}{8} \right) + 4050S \quad btu/lb$$

$$HHV = 8080C + 3446\left(H - \frac{O}{8}\right) + 2250S \quad \text{kkcal/kg}$$

$$HHV = 33950C + 144200\left(H - \frac{O}{8}\right) + 9400S \text{ kJ/kg}$$

Pada proses pembakaran besarnya perubahan energi yang dikandung dalam bahan bakar dengan energi panas adalah tidak sama. Selanjutnya energi panas yang dapat dibangkitkan dari proses pembakaran juga tidak seluruhnya dapat dimanfaatkan. Dengan menganggap tunak, hukum kekekalan energi diberikan oleh persamaan :

dimana : HHV = higher heating value

m_{H_2O} = total massa H_2O

q_u = panas yang berguna

q_{sl} = panas yang dibawa gas buang

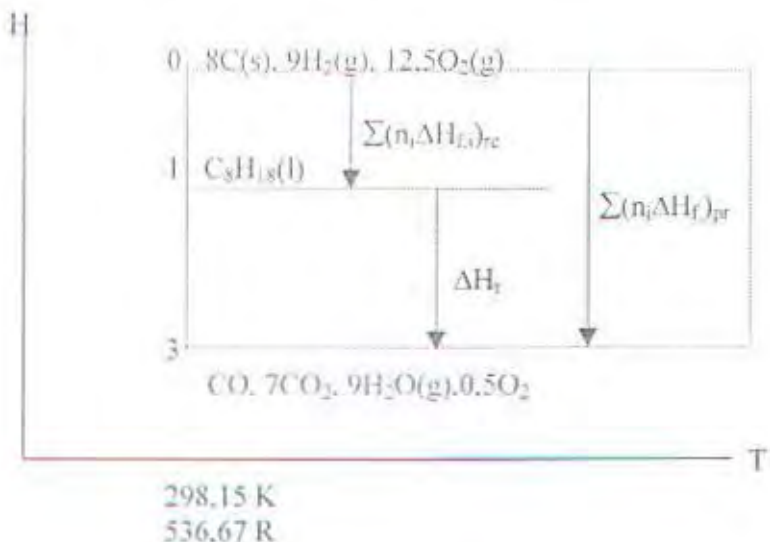
q_i = panas yang keluar

Sedangkan untuk lower heating value terjadi bila air yang terbentuk pada pembakaran berbentuk vapor adalah :

$$LHV = HHV - m_{H_2O} h_{fg}$$

11.9. Reaksi Enthalpi

Reaksi enthalpi (ΔH_r) didefinisikan sebagai perpindahan kalor yang terjadi pada reaksi kimia spesifik saat rektan dan produk memiliki temperatur dan tekanan konstan.



Grafik 3. Reaksi enthalpi bahan bakar C₈H₁₈

Sehingga ΔH_f menjadi :

II.10. Keramik sebagai Lapisan Ruang Bakar

Keramik adalah bahan anorganik bukan logam yang sukar leleh pada temperatur tinggi dan kebanyakan digunakan dalam industri terutama untuk bahan tungku. Dengan berjalannya perkembangan teknologi diperlukan bahan yang dapat tahan terhadap temperatur tinggi dan pengembangan bahan tahan temperatur tinggi mempercepat kemajuan lanjut teknologi temperatur tinggi, bahkan banyak bahan yang memiliki titik cair dan temperatur penguraian diatas 2000°C tetapi jumlah bahan tersebut yang dapat dipergunakan secara praktis adalah terbatas sekali. Mempergunakan keramik sebagai komponen pelapis memiliki banyak masalah. Kegetasannya akan menyebabkan retak bila terkena suatu gaya atau tekanan dan temperatur tinggi, tetapi kemajuan teknologi sekarang dalam teori dan teknologi keramik memberikan jalan untuk memecahkan permasalahan diatas.

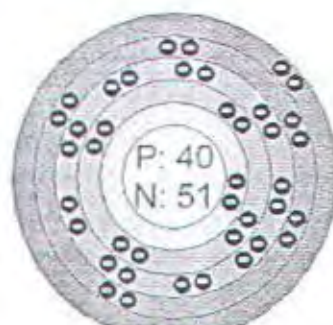
II.10.1. Keramik ZrO_2

Dari sistem periodik terlihat bahwa zirconium memiliki nomor atom 40 dan nomor massa 91,224 serta terletak pada golongan IV B. Dengan termasuk pada golongan IV B maka zirconium merupakan unsur yang tidak stabil karena memiliki electron valensi 2^{+} sehingga bila terkena temperatur tinggi maka unsur ini akan mudah mengalami transformasi. Tetapi apabila zirconium bercampur dengan unsur lain maka akan memiliki kestabilan dan ketahanan pada temperatur tinggi. hal ini tidaklah heran jika didunia industri terutama pada industri daya banyak juga pemakaian ZrO_2 sebagai bahan lapisan pada tungku temperatur tinggi.

| | | Periodic Table of Elements | | | | | | | | | | | | | | | | | | |
|--------|--|--|---------|--------------------------|----------|----------|----------|----------|-----------|-----------|-----------|-----------|-----------|-----------|-----------|-----------|-----------|-----------|-----------|--|
| | | s-block | | Non-Metals | | | | | | | | | | | | | | p-block | | |
| | | I New Designation IA Original Designation | | IIA IIIA IVA VA VIA VIIA | | | | | | | | | | | | | | VIII | | |
| | | H | He | B | C | N | O | F | Ne | Al | Si | P | S | Cl | Ar | Ar | He | Ne | VIIA | |
| | | 1 0094 | 2 40260 | 6 10.81 | 7 12.011 | 8 14.007 | 9 15.999 | 10 8.998 | 11 20.179 | 12 13.995 | 13 28.086 | 14 30.974 | 15 32.066 | 16 34.453 | 17 39.948 | 18 40.000 | 19 40.984 | 20 41.982 | 21 42.956 | |
| Period | | Transition Metals | | | | | | | | | | | | | | | | | | |
| | | 1 Li | 2 Be | 3 Na | 4 Mg | 5 Al | 6 Si | 7 P | 8 S | 9 Cl | 10 Ca | 11 Sc | 12 Ti | 13 V | 14 Cr | 15 Mn | 16 Fe | 17 Co | 18 Ni | |
| 1 | | 6.941 | 9.0123 | 22.990 | 24.305 | 24.998 | 26.982 | 27.987 | 28.999 | 29.990 | 30.996 | 31.996 | 32.991 | 33.996 | 34.998 | 35.999 | 36.999 | 37.999 | 38.999 | |
| | | 11.999 | 19.992 | 20.992 | 21.992 | 22.992 | 23.992 | 24.992 | 25.992 | 26.992 | 27.992 | 28.992 | 29.992 | 30.992 | 31.992 | 32.992 | 33.992 | 34.992 | 35.992 | |
| 2 | | 19.999 | 20.999 | 21.999 | 22.999 | 23.999 | 24.999 | 25.999 | 26.999 | 27.999 | 28.999 | 29.999 | 30.999 | 31.999 | 32.999 | 33.999 | 34.999 | 35.999 | 36.999 | |
| | | 40.988 | 40.998 | 40.998 | 40.998 | 40.998 | 40.998 | 40.998 | 40.998 | 40.998 | 40.998 | 40.998 | 40.998 | 40.998 | 40.998 | 40.998 | 40.998 | 40.998 | 40.998 | |
| 3 | | 39.990 | 39.990 | 39.990 | 39.990 | 39.990 | 39.990 | 39.990 | 39.990 | 39.990 | 39.990 | 39.990 | 39.990 | 39.990 | 39.990 | 39.990 | 39.990 | 39.990 | 39.990 | |
| | | 39.999 | 39.999 | 39.999 | 39.999 | 39.999 | 39.999 | 39.999 | 39.999 | 39.999 | 39.999 | 39.999 | 39.999 | 39.999 | 39.999 | 39.999 | 39.999 | 39.999 | 39.999 | |
| 4 | | 39.999 | 39.999 | 39.999 | 39.999 | 39.999 | 39.999 | 39.999 | 39.999 | 39.999 | 39.999 | 39.999 | 39.999 | 39.999 | 39.999 | 39.999 | 39.999 | 39.999 | 39.999 | |
| | | 39.999 | 39.999 | 39.999 | 39.999 | 39.999 | 39.999 | 39.999 | 39.999 | 39.999 | 39.999 | 39.999 | 39.999 | 39.999 | 39.999 | 39.999 | 39.999 | 39.999 | 39.999 | |
| 5 | | 39.999 | 39.999 | 39.999 | 39.999 | 39.999 | 39.999 | 39.999 | 39.999 | 39.999 | 39.999 | 39.999 | 39.999 | 39.999 | 39.999 | 39.999 | 39.999 | 39.999 | 39.999 | |
| | | 39.999 | 39.999 | 39.999 | 39.999 | 39.999 | 39.999 | 39.999 | 39.999 | 39.999 | 39.999 | 39.999 | 39.999 | 39.999 | 39.999 | 39.999 | 39.999 | 39.999 | 39.999 | |
| 6 | | 39.999 | 39.999 | 39.999 | 39.999 | 39.999 | 39.999 | 39.999 | 39.999 | 39.999 | 39.999 | 39.999 | 39.999 | 39.999 | 39.999 | 39.999 | 39.999 | 39.999 | 39.999 | |
| | | 39.999 | 39.999 | 39.999 | 39.999 | 39.999 | 39.999 | 39.999 | 39.999 | 39.999 | 39.999 | 39.999 | 39.999 | 39.999 | 39.999 | 39.999 | 39.999 | 39.999 | 39.999 | |
| 7 | | 39.999 | 39.999 | 39.999 | 39.999 | 39.999 | 39.999 | 39.999 | 39.999 | 39.999 | 39.999 | 39.999 | 39.999 | 39.999 | 39.999 | 39.999 | 39.999 | 39.999 | 39.999 | |
| | | 39.999 | 39.999 | 39.999 | 39.999 | 39.999 | 39.999 | 39.999 | 39.999 | 39.999 | 39.999 | 39.999 | 39.999 | 39.999 | 39.999 | 39.999 | 39.999 | 39.999 | 39.999 | |
| | | Metals | | | | | | | | | | | | | | | | | | |
| | | (Mass Numbers in Parentheses are from the most stable of common isotopes.) | | | | | | | | | | | | | | | | | | |
| | | Phases | | | | | | | | | | | | | | | | | | |
| | | Solid Liquid Gas | | | | | | | | | | | | | | | | | | |
| | | Rare Earth Elements | | | | | | | | | | | | | | | | | | |
| | | Lanthanide Series | | | | | | | | | | | | | | | | | | |
| | | Actinide Series | | | | | | | | | | | | | | | | | | |

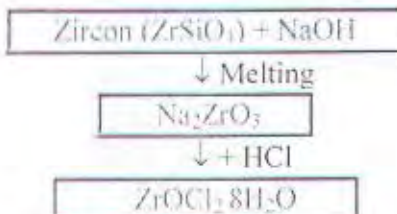
Gambar 5. Tabel unsur periodik

Apabila zirconium bercampur dengan oksidanya (O_2) maka akan terbentuk ZrO_2 dan dikenal dengan *zirconia*. Pada temperatur ruangan zirconia murni memiliki struktur molekul berbentuk monoklinik dan akan mengalami transformasi menjadi tetragonal pada temperatur $1000^{\circ}C$. Dengan mengalami transformasi ini maka struktur ini akan mengalami perubahan volume sehingga mudah mengalami keretakan karena ketidakstabilannya pada struktur atomnya.



Gambar 6. Struktur atom Zirconium

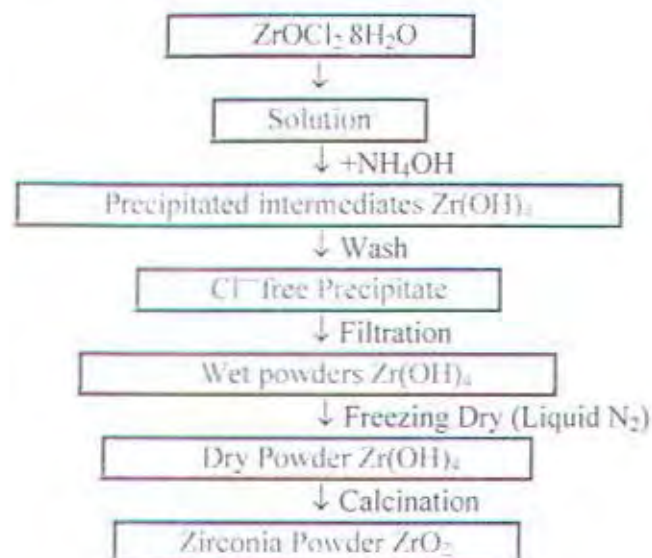
Keramik ZrO₂ banyak digunakan dalam industri pelapisan, pewarnaan untuk bahan pengecatan dan sebagai keramik elektronik. Beberapa keuntungan dari zirconia murni juga bisa digunakan sebagai zat tambahan untuk refraktori oksida lainnya terutama bila dicampurkan dengan magnesia dan alumina pada temperatur tinggi. Secara fisik keramik ZrO₂ terbentuk pada temperatur tinggi dan berupa serbuk putih yang dibuat dengan cara reaksi kalsinasi dengan proses sol-gel atau dengan rekristalisasi intermediate. Zirconia biasanya dibuat dari zircon (ZrSiO₄), untuk membuat zirconia dari zircon langkah pertama yang dilakukan adalah dengan :



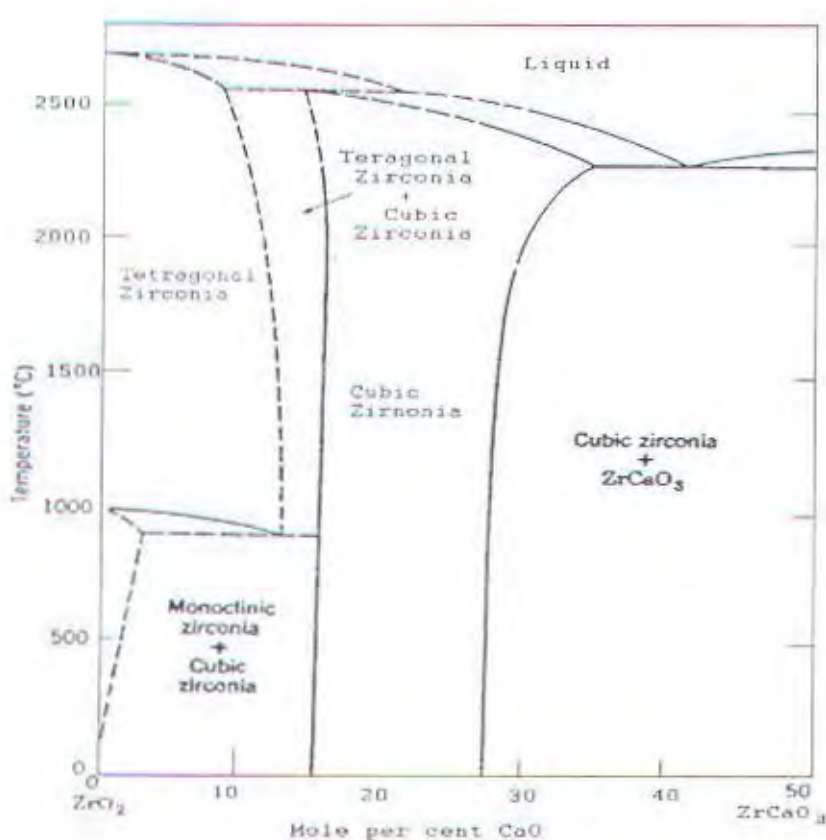
Bagan 1. Reaksi pembuatan zirconia dari zircon

Ada dua cara yang digunakan untuk membuat zirconia dari zirconil klorida yaitu dengan thermal decomposition dan precipitation.

- Thermal decomposition, zirconil klorida dipanaskan sampai 200 °C sehingga akan mengalami dehidrasi dan akan menjadi ZrOCl₂, kemudian pencampuran dengan gas klorine dan akan menjadi zirconia pada temperatur yang lebih tinggi.
- Precipitation; dalam hal ini menggunakan reaksi kimia untuk mendapatkan zirconia hidroksida lebih lanjut, berikut proses pencampuran untuk mendapatkan zirconia :



Bagan 2. Metode precipitasi zircon

Grafik 4. Temperatur pembentukan ZrO_2

II.10.2 Sifat-sifat Mekanik ZrO₂

Sifat-sifat Elastisitas

Beberapa material akan mengalami deformasi bila mendapat suatu gaya atau tekanan, bila tekanan ini cukup kecil dalam waktu singkat maka deformasi atau regangan mengecil jika tekanan dihilangkan. Kondisi dimana terdapat hubungan antara tegangan dan regangan disebut elastisitas bahan. Hubungan antara tegangan dan regangan akan ditunjukkan sebagai berikut :

dimana : E = elastisitas bahan

σ = regangan

E = tegangan

sedangkan besar modulus geser dapat dihitung dengan :

$$G = \frac{\tau}{\gamma} \quad \dots \dots \dots \quad (2.31)$$

dengan : G = modulus geser

τ = tegangan geser

γ = regangan geser

dengan memasukkan (2.26) kedalam persamaan (2.34) maka akan didapatkan :

dengan $\mu = -\frac{\Delta d}{d} \leq 0,5$

Deformasi Viscous

Benda akan mengalami deformasi bila terkena tegangan viscous hal ini akan menyebabkan keretakan pada bahan tersebut. Keretakan terjadi bila terdapat

konsentrasi tegangan pada lekukan dimana dimungkinkan adanya konsentrasi tegangan. Bila tekanan luar terjadi pada keramik maka akan terjadi pergeseran interatomik didalam keramik pada jarak tertentu. Besar aliran viscous yang terjadi pada keramik saat terjadi deformasi adalah :

$$\eta = \sigma_s \frac{dx}{dv}$$

Sifat-sifat dan Perlakuan terhadap Temperatur Tinggi

Pada saat keramik diberikan perlakuan terhadap panas maka energi dalam bahan akan mengalami perubahan. Sifat-sifat thermal keramik meliputi thermal expansion, heat capacities, dan thermal conductivities sedangkan perlakuan panas yang diberikan meliputi thermal stresses dan high-temperature deformation.

Thermal expansion adalah kemampuan bereaksinya interatomic suatu bahan karena adanya perubahan temperatur diantara ruangan struktur atom-atom keramik. Dalam struktur keramik ZrO_2 atom-atomnya tersebar sehingga ruang antar ionic makin lebar sehingga akan memperbesar kemungkinan terjadinya reaksi interatomik. Kapasitas panas dari keramik adalah kapasitas yang terkandung didalam material/bahan yang dapat digunakan untuk menganalisa besarnya diferensial thermal. Besarnya kapasitas panas suatu bahan tergantung dari jenis bahan keramiknya.

Konduktivitas thermal keramik sangat berbeda dengan konduktivitas bahan metal, hal ini disebabkan karena keramik memiliki sedikit elektron bebas dan adanya energi radiant yang terkandung dalam keramik. Pengaruh dari elektron bebas adalah mengurangi konduktivitas thermal pada temperatur tinggi, karena pada keramik ZrO_2 murni memiliki electron bebas kecil maka konduktivitas keramik ini juga rendah.

II.11. Keramik Hastelloy-X

Keramik Hastelloy-X adalah keramik campuran dari Nikel, Crom, Aluminium dan Yttrium. Penggunaan keramik ini dimaksudkan untuk meningkatkan efisiensi thermal turbin gas. Hastelloy-X direkomendasikan khusus untuk penggunaan aplikasi furnace dan ruang bakar turbin gas mengingat adanya oksidasi, reduksi dan atmosfer netral. Hastelloy-X yang biasa disebut alloy X digunakan untuk melapisi pada bagian komponen-komponen turbin gas seperti transition duct, combustor cans, spray bars dan cabin heater.

Ketahanan Terhadap Panas

Hastelloy-X adalah campuran Nikel yang banyak digunakan untuk komponen pada turbin gas terutama pada ruang bakar turbin dan beberapa aplikasi furnace yang lain. Campuran superalloy Nikel memiliki kekuatan terhadap temperatur tinggi dan ketahanan terhadap oksidasi. Semua produk dibuat dengan pembentukan dan pengelasan yang baik. Kekuatan dan ketahanan terhadap temperatur tinggi yang mampu sampai suhu 2200 °F dan dalam kondisi baik setelah pemakaian lebih dari 8700 jam sehingga ini merupakan keunggulan pemakaian keramik ini. Bentuk molekul Hastelloy-X ini berbentuk tetragonal yang tidak mudah mengalami transformasi pada saat proses pemanasan terjadi, sehingga dalam pemakaiannya akan lebih menguntungkan.

BAB III

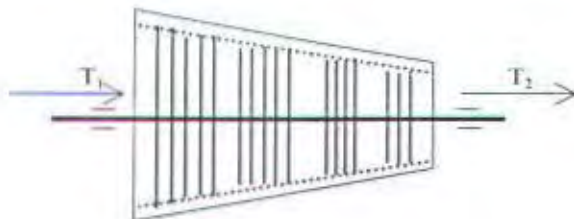
PERHITUNGAN PEMBAKARAN DAN EFISIENSI THERMAL DENGAN PEMODELAN MATEMATIS

Dalam perhitungan pembakaran dan efisiensi thermal akan didekati dengan menggunakan pemodelan matematis. Berikut persamaan yang dipakai dalam pemodelan matematis dan semua hasil perhitungan ditabelkan pada lampiran.

III.1. Proses Aerodinamika didalam Kompresor

III.1.1. Temperatur Selama Proses Kompresi

Proses kompresi terjadi pada tarikan udara masuk didalam kompresor 17 tingkat. Kondisi udara adalah pada tekanan dan temperatur udara ruang dengan terlebih dulu melalui filter air sebelum menuju kedalam kompresor.



$$T_{o,k} = \Delta T_o (1 - A_{un})$$

$$T_{o,k} = (T_2 - T_i) (1 - A_{un})$$

dengan $T_{o,k}$ adalah temperatur udara kompresi ($^{\circ}\text{F}$) dan A_{un} adalah faktor koreksi temperatur pada proses kompresi dengan pressure ratio 4.14 (lihat grafik 7. Sawyer's, 1982)

III.1.2. Kompresi Isentropik

Didalam kompresor proses yang terjadi adalah kompresi adiabatik isentropis

dengan $\Delta S = 0$ dan panas spesifik pada T_2 adalah $\gamma \equiv \frac{c_p}{c_v}$; $c_p - c_v = R/j$ sehingga

$$\text{dapat dicari perbandingan tekanan didalam kompresor } \frac{P_2}{P_1} = \left(\frac{\rho_2}{\rho_1} \right)^\gamma = \left(\frac{T_2}{T_1} \right)^{\frac{1}{\gamma-1}}$$

III.1.3. Efisiensi Isentropik

Untuk mencari besarnya efisiensi kompresor pada kondisi isentropic maka akan diidealisa terlebih dulu fluida sebagai gas sempurna, sehingga didapatkan :

$$\eta = \frac{\text{isentropic.work}}{\text{actual.work}} = \frac{\left[\left(\frac{P_2}{P_1} \right)^{\frac{\gamma-1}{\gamma}} - 1 \right]}{\left(\frac{T_2}{T_1} - 1 \right)}$$

Efisiensi Politropik

Efisiensi politropik merupakan faktor konversi untuk menentukan efisiensi isentropik kompresor.

$$\eta_p = \frac{\left[\left(1 + \frac{dT_n}{P_0} \right)^{\frac{\gamma-1}{\gamma}} - 1 \right]}{\frac{dT_n}{T_0}}$$

Efisiensi Isentropik Kompresor (aktual)

Dari persamaan politropik didapatkan efisiensi kompresor sebesar :

$$\eta_i = \frac{\left[\left(\frac{P_2}{P_1} \right)^{\frac{\gamma-1}{\gamma}} - 1 \right]}{\left[\left(\frac{P_2}{P_1} \right)^{\frac{\gamma-1}{\gamma_{pol}}} - 1 \right]}$$

III.1.4. Mach Number Pada Compressible Flow

Mach number akan mempengaruhi kompresibilitas udara didalam kompresor yang akan merubah distribusi kecepatan sepanjang suku impeller. Dengan v adalah kecepatan alir udara kompresor (ft/s); g_0 adalah percepatan gravitasi (32.2 ft/s^2); R adalah konstanta gas ($1545.32 \text{ ftlb/lb mol } {}^0\text{F}$) dan besarnya Mach number sama

dengan $M = \frac{v}{a} = \frac{v}{\sqrt{g_0 \gamma R T_{o,K}}}$. Sehingga temperatur dan tekanan statis (stagnant)

kompresor terjadi pada temperatur T_0 dan P_0 adalah $T_0 = T_{o,K} \left(1 + \frac{\gamma-1}{2} M^2 \right)$ dan

$$P_0 = P_1 \left(1 + \frac{\gamma-1}{2} M^2 \right)^{\frac{1}{\gamma-1}}$$

III.1.5. Laju Alir Massa Rata-rata

Dari persamaan kontinuitas, laju alir massa udara dari kompresor dengan A_{ref} merupakan luasan yang dilalui udara adalah

$$m = M \left(\frac{g_0 \gamma}{R} \right)^{0.25} \left(1 + \frac{\gamma-1}{2} M^2 \right)^{\frac{1+1}{2(\gamma-1)}} \frac{A_{ref} P_0}{\sqrt{T_0}}$$

III.1.6. Kerja Kompresor

Dengan persamaan kecepatan alir udara kompresor $v = \left(\frac{2P}{\rho}\right)^{0.5}$ maka kerja kompresor yang dilakukan selama proses kompresi pada kondisi steady-state adalah :

$$Q + W = \left(e_2 + \frac{P_2}{\rho_2 j} + \frac{v_2^2}{2g_0 j} \right) - \left(e_1 + \frac{P_1}{\rho_1 j} + \frac{v_1^2}{2g_0 j} \right) \text{ (Btu/lbm)}$$

dimana, Q = energi yang diberikan, Btu/lb (adiabatic)

W = kerja yang dilakukan poros kompresor, Btu/lb

j = konstanta torsi-mekanis, 778.16 lb ft/Btu

ρ_2, ρ_1 = densitas udara pada T_{a2}, T_{a1} , lb/ft³

$(e_2), (e_1)$ = energi dalam dari dua titik acuan, Btu/lb

III.2. Keseimbangan Kalor didalam Ruang Bakar

III.2.1. Perpindahan Kalor Konveksi Adiabatis

Pada perpindahan kalor konveksi ini banyak parameter yang mempengaruhi

antara lain ditentukan oleh $R_c = \frac{\rho v D}{\mu}$, dengan μ adalah viskositas kinematik dan

D merupakan diameter ruang bakar. Sedangkan massa udara pendingin ditentukan

dari $m = \frac{\rho_c v_c}{\rho_a v_a}$ dengan perbandingannya $\frac{z}{mA_\odot}$ sedangkan A_\odot adalah diameter

lubang pendingin (0.013 ft) dan z merupakan jarak downstream lubang pendingin diasumsikan 0.05 in (Sawyer's, 1982). Dan temperatur adiabatik dinding ruang bakar dihitung dengan $T_{m1} = T_s - \eta(T_s - T_i)$ dengan η adalah efisiensi pendinginan

(lihat grafik 41. Sawyer's, 1982). Ketebalan keramik memiliki pengaruh terhadap temperatur dinding ruang bakar (T_{brick}), hubungan ini ditunjukkan dengan $T_{mi} = T_{AD} - T_{brick}$. Koefisien perpindahan kalor konveksi dihitung dengan $H_g = 0.023 \frac{k_g}{D} R_{e,g}^{0.8} P_e^{0.3}$ dengan k_g adalah konduktivitas thermal gas panas sehingga besarnya perpindahan kalor konveksi adiabatik $q_{AD} = H_g (T_{AD} - T_{mi})$ dan temperatur dinding luar ruang bakar yang sebenarnya didapatkan dengan $T_{mi} = T_{AD} - \frac{q_{AD} \times t_b}{k_b \times A_m}$ dimana t_b adalah ketebalan lapisan keramik ruang bakar. Konduktivitas thermal bahan (keramik) merupakan konstanta konduktansi bahan yang memiliki pengaruh terhadap perpindahan kalor konveksi. Dalam persamaan (2.19) terlihat bahwa koefisiesn perpindahan kalor merupakan fungsi dari konduktivitas thermal. Konduktivitas thermal keramik Hastelloy-X dan ZrO₂ memiliki kisaran 0.6–0.8 $\frac{Btu}{hr ft F}$ (Kreith, F. 1987). Dengan trial & error akan digunakan konduktivitas thermal keramik 0.6 $\frac{Btu}{hr ft F}$. Kehilangan energi didalam ruang bakar adalah hal yang tidak diharapkan oleh seorang designer, karena akan mengurangi efisiensi thermis turbin gas. Untuk mengurangi hal tersebut serta menghindari adanya keretakan, konsentrasi temperatur yang besar maka ruang bakar harus dilapisi oleh suatu isolator panas keramik. Ketebalan keramik yang ideal yang digunakan antara 0.04–0.06 in (Schilke, 1982), ini didasarkan pada perhitungan dan analisa; bahwa ketebalan bahan pelapis akan mengurangi volume pembangkitan energi. Selain itu ketebalan juga akan mempengaruhi perpindahan kalor konveksi dan radiasi terhadap pendingin.

III.2.2 Perpindahan Kalor Radiasi ke Dinding Ruang Bakar

Emisivitas gas panas didalam ruang bakar dipengaruhi oleh perbandingan bahan

bakar – udara dan dihitung dengan $e_g = 250P_2 \left(\frac{f}{a} \right)^{0.5} T_g^{-1.5}$ sehingga dengan T_g

merupakan temperatur pembakaran di primary zone dan e_m adalah emisivitas

bahan pelapis maka perpindahan kalor radiasi $R_g = \sigma \left(\frac{e_m + 1}{2} \right) e_g T_g^{1.5} (T_g^{2.5} - T_m^{2.5})$.

Nilai emisivitas merupakan konstanta energi yang diterima oleh suatu bahan sebagai akibat dari penceran sumber yang berenergi lebih tinggi. Emisivitas keramik mempunyai pengaruh terhadap perpindahan kalor radiasi. Didalam ruang bakar turbin gas perpindahan kalor yang terjadi tidak hanya radiasi namun ada perpindahan kalor lain disamping juga ada loses pembakaran. Dalam hal ini keramik baik Hastelloy-X dan ZrO₂ memiliki nilai emisivitas antara 0.7-0.8

$\frac{Btu}{hr ft^2 F}$ (Perry's, 1987). Dengan trial & error didapatkan emisivitas keramik

ideal 0.7 $\frac{Btu}{hr ft^2 F}$.

III.2.3. Perpindahan Kalor Konveksi ke Pendingin

Pada perpindahan kalor konveksi ini banyak parameter yang mempengaruhi

antara lain ditentukan oleh $R_c = \frac{\rho v D}{\mu}$, dengan μ adalah viskositas kinematik dan

D merupakan diameter ruang bakar dan L adalah panjang ruang bakar.

Koefisien perpindahan kalor konveksi ke pendingin

$$H_c = 0.23 \frac{k_c}{D} R_v^{0.8} \text{Pr}^{0.4} \left\{ 1 + \left(\frac{D}{L} \right)^{0.7} \right\},$$

sehingga perpindahan kalor konveksi ke pendingin $q_c = H_c (T_m - T_e)$,

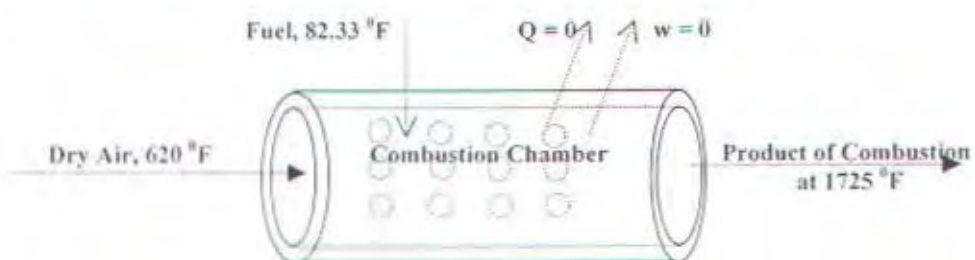
III.2.4. Perpindahan Kalor Radiasi ke Pendingin

Asumsi perbandingan luasan antara ruang bakar dan casing sangat kecil sehingga dapat diabaikan dan σ adalah konstanta Stefan-Boltzman. e_m dan e_{cas} adalah emisivitas dinding ruang bakar dan casing

$$R_r = \sigma \frac{e_m \times e_{cas}}{e_{cas} + e_m (1 - e_{cas}) \left(\frac{A_m}{A_{cas}} \right)} \left(T_m^4 - T_e^4 \right)$$

III.3. Proses Pembakaran di dalam Ruang Bakar

III.3.1. Excess Air



Asumsi : - Pada kondisi steady state : $Q = 0 = H_{pr} - H_{re}$

- Kecepatan gas masuk dan keluar diabaikan

Bahan bakar yang digunakan untuk pembakaran pada turbin gas adalah gas alam (natural gas) 100% yang memiliki kandungan berbagai macam unsur karbon berantai banyak. Dari data akan dicari excess air dari bahan bakar tersebut.

III.3.2. Excess Air dari Methana (CH_4)_g

Pada pembakaran methane : $CH_4 + 2O_2 \rightarrow CO_2 + 2H_2O$

mol udara.kering dari reaksi diatas dapat dijabarkan reaksi yang lebih kompleks
 mol.CH_4

dari pembakaran methana : $CH_4 + xDA \rightarrow CO_2 + 2H_2O + xDA - 2O$,

Dari table A.3, A.7, dan B.1, B2 (Bathie,1995) dan pada $T_{air} = 620^{\circ}\text{F}$;

$$\hat{h}_{air,620} = 131.1 \frac{Btu}{lb}$$

Dari persamaan (1) dan (2) didapatkan :

$$x = \frac{304024,313}{2353,15 - 131,1} = 136,82; \text{ sehingga \% excess air} = \left(\frac{x - 9,54}{9,54} \right) \times 100$$

III.3.3. Excess Air dari Ethana (C_2H_6)

Pada pembakaran ethana : $C_2H_6 + 3.5O_2 \rightarrow 2CO_2 + 3H_2O$

mol udara keriting dari reaksi diatas dapat dijabarkan reaksi yang lebih kompleks
 $\frac{mol C_2H_6}{mol C_2H_6}$

dari pembakaran ethana : $C_2H_6 + xDA \rightarrow 2CO_2 + 3H_2O + xDA - 3,5O_2$

Dari table A.3, A.7, dan B.1, B2 (Bathie, 1995) dan pada $T_{air} = 620^{\circ}\text{F}$;

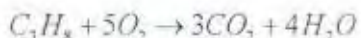
$$\bar{h}_{99.620} = 131.1 \frac{Btu}{lb}$$

Dari persamaan (1) dan (2) didapatkan :

$$x = \frac{524924,16}{2222,05} = 236,234; \text{ sehingga \% excess air} = \left(\frac{x - 16,706}{16,706} \right) \times 100$$

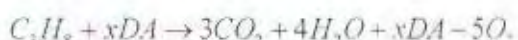
III.3.4. Excess Air dari Propana (C_3H_8)

Pada pembakaran propana :



mol udara ker ing dari reaksi diatas dapat dijabarkan reaksi yang lebih kompleks
 $\frac{\text{mol udara ker ing}}{\text{mol } C_2H_6}$

dari pembakaran ethana :



Dengan menggunakan table A.3, A.7, dan B.1, B.2 (Bathie, 1995) dan pada $T_{\text{eff}} =$

$$620^{\circ}\text{F}; \bar{h}_{air,620} = 131,1 \frac{Btu}{lb}$$

$$\text{Enthalpi produk } (H_{pt}) = \sum n_i \bar{h}_{i725} = -745864,68 + 2353,15x \quad \dots\dots\dots(1)$$

$$\text{Enthalpi reaktan (H}_{\text{re}}\text{)} = \Delta H_f C_2H_6 + x \bar{h}_{\text{air,620}} \\ = -44,647 + x[31,1] \quad \dots \dots \dots (2)$$

Dari persamaan (1) dan (2) didapatkan :

$$x = \frac{747927}{2222.05} = 336.59; \text{ sehingga \% excess air} = \left(\frac{x - 23.866}{23.866} \right) \times 100$$

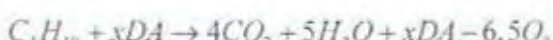
III.3.5. Excess Air dari Butana (C_4H_{10})_g

Pada pembakaran butana :



$\frac{mol\ udara}{mol\ C_2H_6}$ dari reaksi diatas dapat dijabarkan reaksi yang lebih kompleks

dari pembakaran ethana :



Dengan menggunakan table A.3, A.7, dan B.1, B.2 (Bathie,1995) dan pada $T_{ab} =$

$$620^{\circ}\text{F}; \bar{h}_{oir,620} = 131.1 \frac{Btu}{lb}$$

$$\text{Enthalpi produk (H}_{pr}\text{)} = \sum n_i \bar{h}_{i,25} = -966768,78 + 2353,15x \dots\dots\dots(1)$$

$$\text{Enthalpi reaktan (H}_r\text{)} = \Delta H_f C_4H_{10} + x \bar{h}_{oitr,620}$$

Dari persamaan (1) dan (2) didapatkan :

$$x = \frac{966705,3}{2222,05} = 435,05 ; \text{ sehingga \% excess air} = \left(\frac{x - 31,026}{31,026} \right) \times 100$$

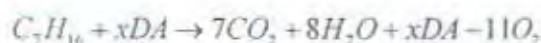
III.3.6. Excess Air dari Heptana (C_7H_{16})

Pada pembakaran heptana :



mol udara, kering dari reaksi diatas dapat dijabarkan reaksi yang lebih kompleks

dari pembakaran ethana :



Dengan menggunakan table A.3, A.7, dan B.1, B.2 (Bathie, 1995) dan pada $T_{\text{opt}} =$

$$620^{\circ}\text{F}; \bar{h}_{av,620} = 131,1 \frac{Btu}{lb}$$

$$\text{Enthalpi produk (H}_{pr}\text{)} = \sum_{\text{pr}} \left(n_i \bar{h}_{1725} \right) = -1629481,09 + 2353,15x \quad \dots\dots\dots(1)$$

Dari persamaan (1) dan (2) didapatkan :

$$x = \frac{1629384,619}{2222,05} = 733,28; \text{ sehingga \% excess air} = \left(\frac{x - 31,026}{31,026} \right) \times 100$$

Jadi besar Excess Air bahan bakar = $\sum \text{Excess Air}$

Tabel 1. Persentase excess air bahan bakar natural gas

| | | | | |
|---|---------------------|---------------|-----------|-------------|
| Mol udara kering/mol CH ₄ | H product | H reaktan | x | %excess air |
| 9.546539379 | 2353.15x-304056.475 | 131.1x-32.162 | 136.82154 | 13.33205579 |
| Mol udara kering/mol C ₂ H ₆ | H product | H reaktan | x | %excess air |
| 16.70644391 | 2353.15x-524960.57 | 131.1x-36.408 | 236.25057 | 13.14128387 |
| Mol udara kering/mol C ₃ H ₈ | H product | H reaktan | x | %excess air |
| 23.88634845 | 2353.15x-745864.68 | 131.1x-44.647 | 335.66512 | 13.06436853 |
| Mol udara kering/mol C ₄ H ₁₀ | H product | H reaktan | x | %excess air |
| 31.02625298 | 2353.15x-965768.78 | 131.1x-63.48 | 435.07967 | 13.02295243 |
| Mol udara kering/mol C ₇ H ₁₆ | H product | H reaktan | x | %excess air |
| 52.50596659 | 2353.15x-1629481.09 | 131.1x-96.471 | 733.32332 | 12.90647602 |
| T | | | | 65.52713764 |

Tabel 2. Komposisi gas yang meninggalkan ruang bakar

| | n_i | | | | | $\sum n_i$ | \bar{M}_r | $\sum n_i \bar{M}_r$ |
|----------------------|---------------|------------------------|------------------------|---------------------------|---------------------------|------------|-------------|----------------------|
| | CH_4 | C_2H_6 | C_3H_8 | C_4H_{10} | C_7H_{16} | | | |
| CO_2 | 1 | 2 | 3 | 4 | 7 | 17 | 44 | 745 |
| H_2O | 2 | 3 | 4 | 5 | 8 | 22 | 18 | 396 |
| D.A. | 136.82 | 236 | 336.59 | 435.105 | 733.28 | 1,878.029 | 28.97 | 54,406.5 |
| O_2 | -2 | -3.5 | -5 | -6.5 | -11 | -28 | 32 | 896 |
| | 137.82 | 237.73 | 338.59 | 437.605 | 737.28 | 1,889.025 | | 56,445.5 |

Sehingga berat molekul hasil pembakaran meninggalkan ruang bakar sebesar :

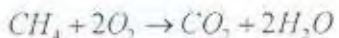
$\bar{M} = \frac{\sum n_i M_i}{\sum n_i}$ dan perbandingan bahan bakar-udara $f' = \frac{f}{a}$. Hal ini berarti bahwa

setiap 1,0345 lb udara kering dan 0,024 lb H_2O masuk kedalam ruang bakar untuk setiap lb udara yang masuk kedalam kompresor.

III.3.7. Temperatur Pembakaran

Temperatur pembakaran ditentukan oleh energi yang didapatkan dari enthalpi pembakaran bahan bakar. Bahan bakar yang digunakan adalah natural gas, berikut salah satu komponen penyusun natural gas akan dihitung.

Pada pembakaran methana :



mol udara ker ing dari reaksi diatas dapat dijabarkan reaksi yang lebih kompleks
 $\frac{mol.CH_4}{mol}$

dari pembakaran methana :



Dari table A.3, A.7, dan B.1, B2 (Bathie,1995) dan pada $T_{air} = 620^{\circ}\text{F}$;

$$\bar{h}_{air,620} = 131,1 \frac{Btu}{lb}$$

$$\text{Enthalpi produk (H}_{ps}\text{)} = \sum \left(n_i \hat{h}_{i725} \right)_{\text{mm}} = -304056,475 + 2353,15x \quad \dots\dots\dots(1)$$

Dari persamaan (1) dan (2) didapatkan :

$x = \frac{304024,313}{2353,15 - 131,1} = 136,82$ maka dengan trial and error akan dicoba nilai

temperatur untuk memenuhi syarat diatas, dan dicoba diasumsi pada $T_{final} =$

2500 °F dan besarnya energi bahan bakar adalah $Q = H_p - H_n$ tanda negatif menandakan asumsi temperatur diatas masih jauh dari temperatur sebenarnya. Maka digunakan cara trial and error didapatkan nilai temperatur sebesar 3000 °F.

III.3.8. Efisiensi Pembakaran

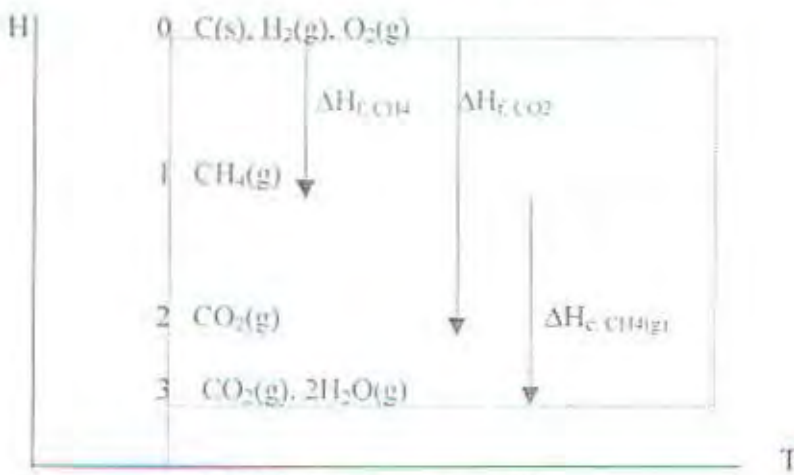
Efisiensi pembakaran diartikan sebagai perbandingan jumlah bahan bakar yang berhasil ikut dalam pembakaran dengan jumlah bahan bakar total. Dalam hal ini kondisi adalah pada ruang bakar dengan temperatur pada temperatur gas panas (T_3). Dengan demikian berarti ada sejumlah bahan bakar yang tidak terbakar (incomplete combustion) dan jumlah bahan bakar yang tidak terbakar ini adalah kerugian (loses) yang mengakibatkan menurunnya efisiensi thermal turbin gas.

Besarnya efisiensi pembakaran dihitung dengan persamaan $\eta_{rb} = \frac{h_{T_3} - h_{T_1}}{\frac{f}{a} \times LHV}$.

III.4. Produk Pembakaran dan Kalor Pembakaran

III.4.1. Pembakaran CH₄

Dengan menggunakan table 4-3 Bathie, 1995 $\Delta H_{CH_4} = \Delta H_{CO} + 2\Delta H_{H_2O} - \Delta H_{CH_4}$

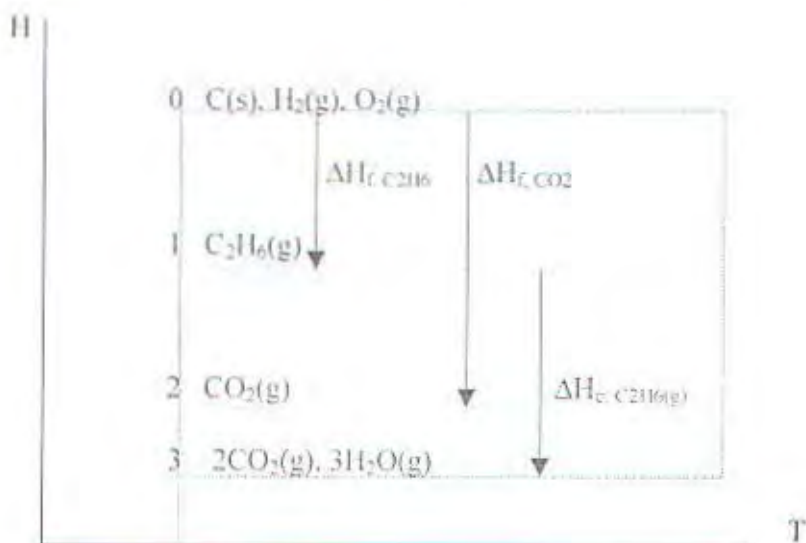


Grafik 5. Produk pembakaran CH₄

III.4.2. Pembakaran C₂H₆

Dengan menggunakan table 4-3 Bathie, 1995 maka

$$\Delta H_c C_2H_{6(g)} = 2\Delta Hf CO_2 + 3\Delta Hf H_2O - \Delta Hf C_2H_6$$

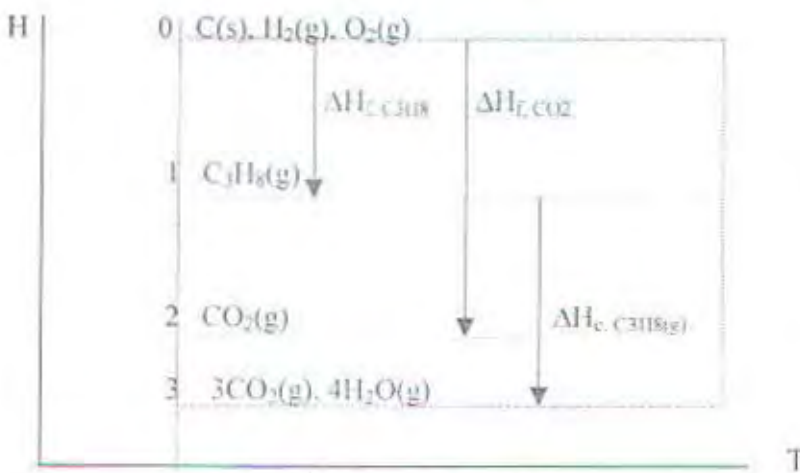


Grafik 6. Produk pembakaran C₂H₆

III.4.3. Pembakaran C₃H₈

Dengan menggunakan table 4-3 Bathie, 1995 maka enthalpi pembakaran C₃H₈

$$\text{adalah : } \Delta H_c C_3H_{8(g)} = 3\Delta Hf CO_2 + 4\Delta Hf H_2O - \Delta Hf C_3H_8$$

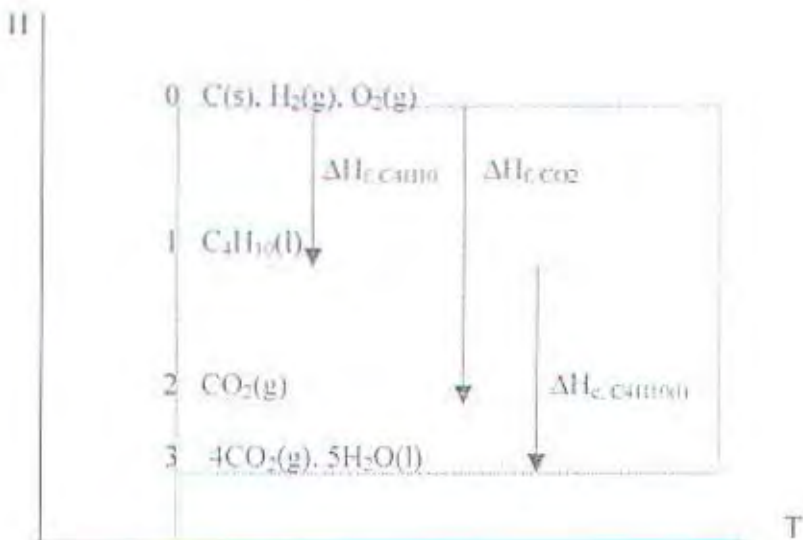


Grafik 7. Produk pembakaran C₃H₈

III.4.4. Pembakaran C₄H₁₀

Dengan menggunakan table 4-3 Bathie, 1995 maka

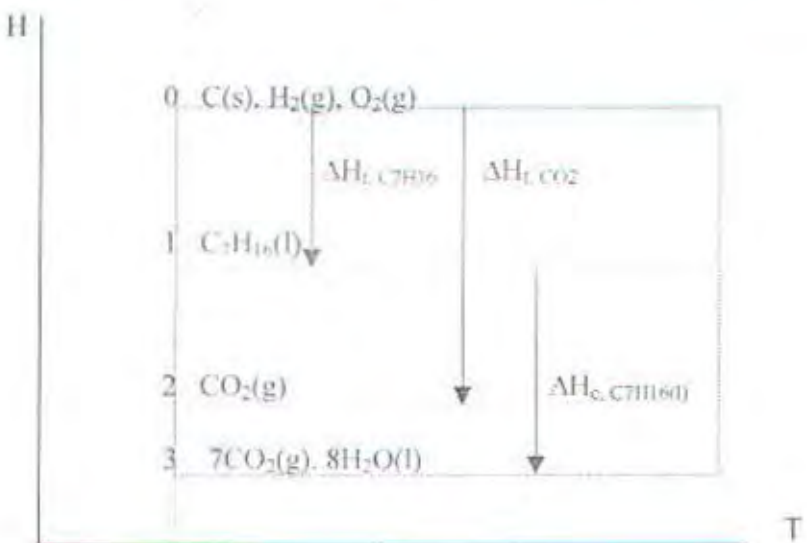
$$\Delta H_f C_4H_{10(g)} = 4\Delta H_f CO_2 + 5\Delta H_f H_2O - \Delta H_f C_4H_{10}$$



Grafik 8. Produk pembakaran C₄H₁₀

III.4.5. Pembakaran C₇H₁₆

Dengan menggunakan table 4-3 Bathie, 1995 $\Delta H_f C_7H_{16(g)} = 7\Delta H_f CO_2 + 8\Delta H_f H_2O - \Delta H_f C_7H_{16}$



Grafik 9. Produk pembakaran C₇H₁₆

sehingga enthalpi pembakaran bahan bakar tersebut adalah :

$$\Delta H_{c,Td} = \Delta H_c CH_4 + \Delta H_c C_2H_6 + \Delta H_c C_3H_8 + \Delta H_c C_4H_{10} + \Delta H_c C_7H_{16}$$

III.5. Kebutuhan Udara Pembakaran

Massa unsur per 100 kmol bahan bakar :

$$CH_4 : 80,02 \times 16 = 1280,32$$

$$C_2H_6 : 6,01 \times 30 = 180,3$$

$$N_2 : 2,53 \times 28 = 70,84$$

$$C_3H_8 : 3,60 \times 44 = 158,4$$

$$C_4H_{10} : 0,71 \times 58 = 41,18$$

$$CO_2 : 6,28 \times 44 = 276,32$$

$$nC_5H_{12} : 0,15 \times 72 = 10,8$$

$$C_6H_{14} : 0,03 \times 86 = 2,58$$

$$C_7H_{16} : 0,01 \times 100 = 1$$

$$= 2121,74 \text{ lbm/lbm bahan bakar}$$

Massa unsur per lbm fuel :

$$CH_4 : 1280,32/2121,74 = 0,633 \text{ lbm/lbm bahan bakar}$$

$$C_2H_6 : 180,3/2121,74 = 0,089 \text{ lbm/lbm bahan bakar}$$

$$N_2 : 70,84/2121,74 = 0,035 \text{ lbm/lbm bahan bakar}$$

$$C_3H_8 : 158,4/2121,74 = 0,078 \text{ lbm/lbm bahan bakar}$$

$$C_4H_{10} : 41,18/2121,74 = 0,020 \text{ lbm/lbm bahan bakar}$$

$$CO_2 : 276,32/2121,74 = 0,136 \text{ lbm/lbm bahan bakar}$$

$$nC_5H_{12} : 10,8/2121,74 = 0,005 \text{ lbm/lbm bahan bakar}$$

$$C_6H_{14} : 2,58/2121,74 = 0,0012 \text{ lbm/lbm bahan bakar}$$

$$\text{C}_7\text{H}_{16} : 1/2121,74 = 0,00049 \text{ lbm/lbm bahan bakar}$$

Kebutuhan $\text{O}_{2\min}$ sebesar :

$$= \left(\frac{64}{16} \times 0,633 + \frac{112}{30} \times 0,089 + \frac{160}{44} \times 0,078 + \frac{208}{58} \times 0,02 + \frac{256}{72} \times 0,005 + \frac{304}{86} \times 0,0012 + \frac{352}{100} \times 0,00049 \right)$$

Kebutuhan udara pembakaran dihitung dari $M_{ud \text{ kering (min)}} = 4,32 \times \text{O}_{2\min}$

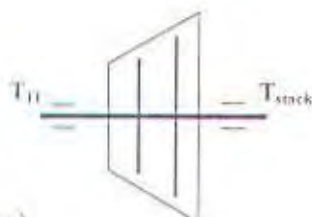
Dengan asumsi faktor udara lebih 5 % (Harmad & Utomo, 1997) maka $M_{ud \text{ kering}}$

$$(act) = (100+5)\% \text{ jadi } M_{ud \text{ pembakaran (act)}} = (1+M_{H_2O}) \times M_{ud \text{ kering (act)}}$$

III.6. Proses Gas Panas Pada Turbin

III.6.1. Temperatur Selama Proses Ekspansi

Proses ekspansi terjadi pada keluaran *gas generator* menuju turbin.



$$T_{g,exp} = \Delta T_g (1 - B_{in} - B_g)$$

$$T_{g,exp} = (T_2 - T_1)(1 - B_{in} - B_g)$$

dengan $T_{g,exp}$ adalah temperatur gas ekspansi ($^{\circ}\text{F}$) dan pada pressure ratio akan didapatkan B_{in}, B_g berturut-turut adalah faktor koreksi temperatur proses ekspansi pada *air-fuel ratio* dan kelembaban (lihat grafik 8 & 10. Sawyer's, 1982)

III.6.2. Ekspansi Isentropik

Pada proses ekspansi adiabatic isentropis ΔS adalah 0 dan panas spesifik pada

temperatur inlet turbin (T_{IT}) adalah $\gamma = \frac{c_p}{c_v}$; $c_p - c_v = R/j$ pada $T_{IT} = 1725^{\circ}\text{F}$,

sedang perbandingan tekanan dari P_1 dan P_2 adalah $\frac{P_1}{P_2} = \left(\frac{\rho_1}{\rho_2}\right)^r = \left(\frac{T_1}{T_2}\right)^{\frac{r}{r-1}}$.

III.6.3. Efisiensi Isentropik Gas Sempurna

Untuk mengukur besarnya efisiensi turbin maka gas panas diidealisa sebagai gas sempurna sebagai fluida kerja pada proses ekspansi.

$$\eta = \frac{\text{actual work}}{\text{isentropik work}} = \frac{1 - \left(\frac{T_2}{T_1}\right)}{\left[1 - \left(\frac{P_2}{P_1}\right)^{\frac{r-1}{r}}\right]}$$

Efisiensi Politropik

Sebagai faktor konversi untuk menentukan efisiensi turbin, efisiensi politropik dapat dihitung

$$\eta_p = \frac{\frac{dT_e}{T_1}}{\left[1 - \left(1 + \frac{dp_e}{P_1}\right)^{\frac{1}{r}}\right]}$$

Efisiensi Isentropic Turbin (aktual)

Dari kedua hasil diatas didapatkan efisiensi turbin pada kondisi isentropik :

$$\eta_i = \frac{\left[1 - \left(\frac{P_2}{P_1}\right)^{\frac{r-1}{r}}\right]}{\left[1 - \left(\frac{P_2}{P_1}\right)^{\frac{r-1}{r}\eta_p}\right]}$$

III.6.4. Mach Number Pada Compressible Flow

Mach number akan mempengaruhi kompresibilitas udara pada suku turbin yang

besarnya $M = \frac{V}{a} = \frac{V}{\sqrt{g_0 \gamma R T_{g,exp}}}$ sedangkan temperatur dan tekanan statis turbin

terjadi pada $T_{0T} = T_{g,exp} \left(1 + \frac{\gamma - 1}{2} M^2 \right)$ dan $P_{0T} = P_2 \left(1 + \frac{\gamma - 1}{2} M^2 \right)^{\frac{\gamma}{\gamma - 1}}$,

III.6.5. Laju Alir Massa Rata-rata

Dari persamaan kontinuitas, laju alir massa gas pada turbin adalah

$$m = M \left(\frac{g_0 \gamma}{R} \right)^{0.5} \left(1 + \frac{\gamma - 1}{2} M^2 \right)^{\frac{\gamma+1}{2(\gamma-1)}} \frac{A_{ref} P_{0T}}{\sqrt{T_{0T}}}$$

III.6.6. Kerja Turbin

Kerja turbin dihasilkan dari putaran poros turbin pada laju alir massa gas panas yang melalui suku turbin. Besarnya kerja ini dipengaruhi oleh beberapa parameter, dengan asumsi bahwa ω = percepatan tangential suku turbin = 0.1048 N (Sawyer's, 1982) dan $r_2 = \beta R$ ($\beta = 0.5$); $r_1 \approx 700$ in (r adalah radius suku turbin)

$$\text{maka } \dot{W}_t = \frac{\text{Energi input}}{j \times \text{mass. flow}} = \frac{\omega \times \text{torque}}{j \times \text{mass. flow}} = \frac{\omega \times \left(\frac{dV}{12g_b} \right) \times (r_2 V_{a2} - r_1 V_{a1})}{j \times m_f}$$

III.7. Rugi-rugi Kalor

III.7.1. Rugi Kalor Keluar Dinding Ruang Bakar

Kalor yang keluar dinding adalah kalor akibat radiasi dan konveksi adiabatik dari gas panas yang dibangkitkan oleh proses pembakaran; $Q_{RB} = Q_{AD} + R_G$.

III.7.2. Rugi Kalor Karena Gas Buang

Dengan menggunakan table A-4 Incropera, 1995 pada $T_{gb} = 1725^{\circ}\text{F}$ maka

$$q_{gb} = m_{gb}cp(T_{gb} - T_{stack}).$$

III.7.3. Rugi Kalor Karena Penguapan H_2O

Rugi kalor ini dapat terjadi bila pembakaran yang terjadi adalah tidak sempurna sehingga ada sebagian kecil bahan bakar yang mengalami penguapan menjadi H_2O ; dengan nilai kalor dapat ditentukan $q_{H_2O} = M_{H_2O} \times (HHV - LHV)$.

III.8. Kalor yang Bermanfaat

Besar kalor yang dimasukkan kedalam ruang bakar turbin gas melalui pembakaran bahan bakar dengan pembangkitan panas adalah merupakan kalor masukan. Besar kalor ini adalah $q_{in} = BBLS \times LHV - q_{gb} - Q_{loss} - q_{H_2O}$.

III.9. Kerja Bersih

Kerja bersih adalah kerja total yang dihasilkan oleh putaran poros turbin dan kompresor. Kerja bersih ini didapatkan dari kerja yang dilakukan oleh karena putaran sudut turbin dengan putaran impeller kompresor; $W_{net} = W_T - W_C$.

III.10. Efisiensi Thermal

Efisiensi thermal merupakan unjuk kerja yang dilakukan selama proses bersamaan dengan pembangkitan kalor didalamnya, $\eta_{th} = \frac{\text{kerja bersih}}{\text{kalor bermanfaat}}$

III.11. Nilai Kebenaran Perhitungan Efisiensi Thermal Matematis

Dari perhitungan matematis yang dilakukan maka akan ditentukan kebenaran hasil perhitungan yang diperoleh dengan data aktual yang ada dengan penyelesaian menggunakan analisis varian. Didapatkan efisiensi thermal aktual dan model matematis pada ketebalan keramik 0.06 in.

Tabel 3. Perbandingan efisiensi thermal aktual dan model matematis

| Jumlah n | Efisiensi Aktual (%) | Efisiensi Matematis (%) | D | D^2 |
|----------|----------------------|-------------------------|-------------|-----------|
| 1 | 0.3089 | 0.311249247 | 0.002349247 | 5.519E-06 |
| 2 | 0.3337 | 0.334183402 | 0.000483402 | 2.337E-07 |
| 3 | 0.3447 | 0.344012325 | 0.000687675 | 4.729E-07 |
| 4 | 0.3493 | 0.347288833 | 0.002011367 | 4.046E-06 |
| 5 | 0.3526 | 0.350564941 | 0.002035059 | 4.141E-06 |
| Σ | 1.6892 | 1.637298548 | 0.007566749 | 1.441E-05 |
| STDEV | 0,017684117 | 0.015882492 | 0.015847494 | |

$$X_1 = 0.33784, X_2 = 0.33745971$$

$$t = \frac{X_1 - X_2}{\sqrt{\frac{\sum D^2 - (\sum D)^2}{n(n-1)}}} = \frac{0.33784 - 0.33745971}{\sqrt{\frac{1.441 \times 10^{-5} - (0.007566749)^2}{5(5-1)}}} = 0.408078977$$

Dengan menggunakan derajat kebebasan pada $df = n - 1 = 4$ dan taraf signifikansi 0.05 terbaca taraf signifikasi t sebesar 2.132. Dengan demikian karena $t < t_{0.05}$ dan $df = 4$ maka perhitungan matematis masih bisa diterima.

BAB IV

ANALISA DAN PEMBAHASAN

Untuk mengetahui unjuk kerja sistem turbin gas, maka akan dibahas tentang efisiensi yang dihasilkan karena pengaruh penggunaan lapisan keramik dalam ruang bakar. Sebagai langkah awal, maka dilakukan analisa terhadap efisiensi thermal turbin pada kondisi aktual dengan model matematis yang merupakan parameter kebenaran dari hasil perhitungan yang dilakukan, untuk kemudian analisa terhadap pengaruh ketebalan dan energi lose pada kondisi standard terhadap efisiensi thermal. Analisa pengaruh ketebalan terhadap efisiensi thermal pada lapisan Hastelloy-X dan ZrO₂ merupakan faktor penentu dalam alternatif pemilihan lapisan keramik pada ruang bakar turbin gas. Selain itu dengan cara yang sama untuk pengaruh energi lose terhadap efisiensi thermal turbin gas.

IV.1. Kalibrasi

Untuk mengetahui karakteristik hasil pemodelan matematis maka perlu membandingkan grafik aktual dengan model matematis. Grafik aktual digunakan sebagai kalibrasi dari pemodelan sehingga dihasilkan sebuah model yang mendekati kebenaran (aktual). Grafik 10 merupakan perbandingan antara kondisi aktual dengan pemodelan, dengan daya antara 19-22 Kw diperoleh efisiensi antara 0.3-0.4. Pada kondisi ini akan ditentukan perbedaan (deviasi) antara aktual dan pemodelan dengan meletakkan beberapa point, penentuan ini didasarkan pada kerenggangan atau jarak deviasi dari garis kondisi aktual sampai batas perpotongan dengan garis pemodelan sehingga didapatkan beberapa kondisi

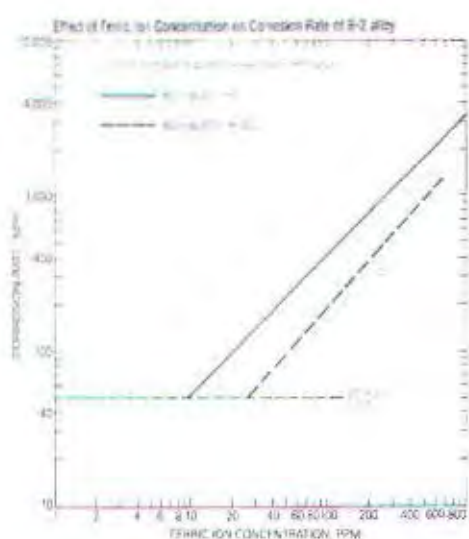
sebagai berikut : Kondisi titik 1-2, pada kondisi ini didapatkan efisiensi thermal aktual (data) sebesar 0.3089-0.3337 dan hasil pemodelan didapatkan efisiensi sebesar 0.311249247-0.334183402 untuk beban (daya) berkisar 19-19.7 Kw. Terlihat bahwa hasil perhitungan dengan menggunakan pemodelan matematis mendapatkan efisiensi thermal lebih besar dari kondisi aktual. Hal ini dikarenakan pada perhitungan matematis tidak menggunakan faktor waktu pengoperasian turbin gas tetapi perhitungan didasarkan pada laju fluida sampai pada pembangkitan energi dan daya ($q_w = BBLS \times LHV - q_{gb} - Q_{RH} - q_{H_2O}$). Apabila diperhatikan bahwa perbedaan jarak atau deviasi kedua garis ini memiliki deviasi sebesar 0.013814409 yang berarti kesalahan kurang dari 0.5 sehingga hasil pemodelan pada kondisi titik 1-2 dapat diterima. Kondisi titik 2-3, pada kondisi ini didapatkan efisiensi thermal aktual (data) sebesar 0.3337-0.3447 dan hasil pemodelan didapatkan efisiensi sebesar 0.334183402-0.344012325 untuk beban (daya) berkisar 19.7-20.1 Kw. Pada kondisi ini terlihat bahwa hampir tidak ada perbedaan jarak (deviasinya kecil) dari hasil perhitungan dengan menggunakan pemodelan matematis dengan efisiensi thermal kondisi aktual. Pada jarak yang sempit akan dibuat besar deviasi kedua kondisi, dengan menghitung besar deviasi df maka didapatkan deviasi sebesar 0.002229912 (Nasir, 1999). Pada kondisi ini pula terlihat ada perpotongan garis kedua grafik kondisi masing-masing, garis grafik pemodelan memiliki nilai efisiensi lebih besar dari aktual untuk kemudian berangsur-angsur lebih rendah sehingga ada titik perpotongan antara kedua kondisi pada efisiensi thermal $\approx 0.334-0.344$ dan daya $\approx 0.1975-1990$ Kw. Kondisi titik 3-4, pada kondisi ini didapatkan efisiensi thermal aktual (data) sebesar 0.3447-0.3526 dan hasil pemodelan didapatkan efisiensi sebesar

0.344012325-0.350564941 untuk beban (daya) berkisar 20.1-22 Kw. Pada kondisi ini adalah merupakan kebalikan dari kondisi awal, terlihat bahwa hasil perhitungan dengan menggunakan pemodelan matematis mendapatkan efisiensi thermal lebih kecil dari kondisi aktual. Dengan perhitungan statistik didapatkan perbedaan jarak atau deviasi kedua garis ini memiliki deviasi sebesar 0.060225771. Apabila didapatkan data yang lebih banyak lagi untuk kemudian diplot pada grafik 10 maka akan didapatkan efisiensi thermal yang besar pada kondisi aktual untuk berbagai macam varian daya. Dari keseluruhan titik-titik yang didapatkan maka didapatkan deviasi rata-rata sebesar 0.015882492.

IV.2. Analisa Grafik Hastelloy-X dan ZrO₂ Pada Ketebalan 0.06 in (standar)

Untuk mengetahui kondisi sebenarnya dari kedua lapisan keramik maka ditentukan seberapa besar pengaruh ketebalan keramik terhadap efisiensi thermal lapisan. Grafik 11 terlihat bahwa pada kondisi aktual (data) untuk lapisan Hastelloy-X memiliki efisiensi thermal lebih besar dari lapisan ZrO₂. Penentuan besar ketebalan merupakan bagian dari data yang didapatkan dilapangan. Pada garis grafik efisiensi thermal untuk lapisan Hastelloy-X ketebalan 0.06 in masih tinggi dibandingkan dengan lapisan ZrO₂ hal ini dikarenakan untuk ketebalan tersebut pada temperatur yang tinggi lapisan keramik Hastelloy-X sedikit mengalami korosi sehingga ketebalan keramik masih dapat dipertahankan (lapisan keramik masih utuh dalam beberapa jam pengoperasian (gambar 7). Lapisan ZrO₂ pada temperatur tinggi akan mengalami korosi lebih besar sehingga ketebalan tidak dapat dipertahankan sampai beberapa jam pengoperasian (gambar 8), hal ini menyebabkan energi (enthalpi) yang seharusnya untuk pembangkitan energi akan

berkurang karena tidak ada isolator yang dapat menghambat kehilangan energi melewati ruang bakar. Korosi juga disebabkan karena pengaruh material ruang bakar yang mengandung ion ferrum (besi) sehingga ada oksidasi gas panas terhadap lapisan keramik dengan ion besi (Khavkin, 1995).



Gambar 9. Pengaruh ion besi terhadap kecepatan korosi ZrO_2 (<http://www.isocorrosion.com>)

IV.3. Analisa Pengaruh Energi Loss Pada Hastelloy-X dan ZrO_2

Di dalam *internal combustion chamber* kehilangan energi pembakaran tidak dapat dihindarkan akan tetapi dapat dikurangi dengan jalan pengontrolan penginjeksian bahan bakar sesuai dengan karakteristik engine. Turbin gas akan kehilangan energi yang sangat besar di dalam ruang bakarnya. Kehilangan energi ini dipengaruhi karena penginjeksian bahan bakar yang besar akibat kegagalan injektor bahan bakar (*failure component*) dan banyaknya load faktor serta performance turbin dalam beberapa jam operasi. Pengaruh kehilangan energi terhadap efisiensi thermal diperlihatkan pada grafik 12. Besarnya energi loss

mempengaruhi efisiensi turbin, semakin lama turbin dioperasikan maka tren grafik efisiensi thermal tidak mengalami kenaikan dengan besarnya energi loss.

IV.4. Analisa Pengaruh Ketebalan Terhadap Efisiensi Thermal

Sebagai *advance technology* lapisan keramik dalam ruang bakar tidak mungkin untuk disebutkan didalam engine specification namun pada buku panduan hanya disebutkan lapisan yang dipakai pada ruang bakar dan ketebalan yang dipakai, dalam hal ini ketebalan lapisan keramik yang diijinkan berkisar 0.04-0.06 in (*Schilke, 1982*). Analisa pengaruh ketebalan lapisan Hastelloy-X dan ZrO_2 didasarkan pada pertimbangan ketebalan lapisan keramik yang digunakan sebagai isolator gas panas. Pada berbagai ketebalan lapisan keramik ternyata memiliki pengaruh terhadap karakteristik efisiensi thermal turbin gas. Dengan memakai range ketebalan keramik 0.04-0.06 in maka didapatkan hasil pada tabel 6 dan 7. Pada tabel tersebut hasil perhitungan menunjukkan bahwa dengan bertambahnya ketebalan lapisan akan mempengaruhi temperatur dinding ruang bakar hal ini dapat dibuktikan dengan persamaan $T_m = T_{AD} - \frac{q_{AD} \times t_b}{k_b \times A_m}$ dengan t_b

adalah ketebalan lapisan keramik atau dengan perhitungan $T_{AD} = T_g - \eta(T_g - T_e)$

sehingga akan menurunkan temperatur dinding ruang bakar $T_{m1} = T_{AD} - T_{brick}$. Dengan menurunnya temperatur dinding ruang bakar berarti semakin besar gas panas yang diradiasikan kedinding ruang bakar sehingga temperatur pembakaran yang idealnya digunakan untuk pembangkitan energi hilang (loses) melewati dinding ruang bakar besar sehingga akan menaikkan efisiensi thermal. Pada grafik 13 dan 14 merupakan perbedaan karakteristik grafik efisiensi thermal pada

berbagai ketebalan. Pada grafik tersebut karakteristik efisiensi thermal memiliki deviasi (rentangan) garis efisiensi yang lebih besar untuk lapisan Hastelloy-X pada masing-masing ketebalan dan memiliki varian efisiensi thermal lebih besar dibandingkan dengan ZrO_2 . Hal ini dikarenakan adanya perbedaan sifat-sifat thermal dari kedua keramik berbeda (emisivitas, konduktivitas, thermal ekspansivity). Dengan bertambahnya ketebalan lapisan keramik akan meningkatkan efisiensi thermal dari turbin gas yang memakai kedua lapisan tersebut. Dari grafik tersebut diatas bisa dilihat bahwa selisih antara efisiensi thermal pada ketebalan 0.055 in untuk lapisan Hastelloy-X hampir setara dengan besarnya efisiensi thermal dengan ketebalan 0.06 in untuk lapisan ZrO_2 pada beberapa kisaran daya. Berikut dari tabel 4 dapat dilihat harga selisih kesetaraan efisiensi thermal dari pemakaian kedua keramik tersebut untuk ketebalan tertentu.

Tabel 4. Harga selisih kesetaraan efisiensi thermal lapisan Hastelloy-X dan ZrO_2

| Daya (Kw) | Hastelloy-X ketebalan 0.055 in | ZrO_2 ketebalan 0.06 in |
|-----------|--------------------------------|---------------------------|
| 19.2 | 0.316182579 | 0.316046177 |
| 19.7 | 0.339480243 | 0.339333791 |
| 20.07 | 0.349464956 | 0.349314196 |
| 20.5 | 0.352793194 | 0.352640998 |
| 21.7 | 0.356121431 | 0.3559578 |

IV.5. Analisa Pengaruh Energi Loss Terhadap Efisiensi Thermal

Kehilangan energi akan berdampak terhadap unjuk kerja turbin gas, apakah itu akan menurunkan atau menaikkan terhadap unjuk kerjanya. Selain itu pengaruh energi loses akan berdampak langsung terhadap efisiensi thermal. Dalam pembakaran turbin gas energi yang terbangkit akan terbuang melalui proses perpindahan kalor antara lain radiasi dan konveksi melewati dinding ruang bakar turbin. Pada grafik 15 atau tabel 8 dan 9, terlihat bahwa besarnya kehilangan energi akan mempengaruhi besarnya efisiensi turbin gas. Dalam hal ini

dengan semakin besarnya energi loses maka efisiensi thermal semakin kecil hal ini disebabkan karena masukan energi dari bahan bakar dikurangkan dengan energi loss.

Tabel 10. Perbandingan energi loss dan efisiensi thermal lapisan Hastelloy-X dan ZrO₂

| Lapisan | Energi Loss (Btu/d) | Efisiensi Thermal (%) |
|------------------|---------------------|-----------------------|
| Hastelloy-X | 423.994.8707 | 0.329925571 |
| | 430.515.5965 | 0.351446717 |
| | 439.181.3669 | 0.354474962 |
| ZrO ₂ | 446.430.6652 | 0.329666171 |
| | 458.361.2751 | 0.339335786 |
| | 459.051.0419 | 0.340962705 |

Kondisi diatas terjadi secara berturut-turut pada turbin gas unit 1, 3 dan 5 untuk lapisan Hastelloy-X dan unit 3, 4 dan 6 untuk turbin gas lapisan ZrO₂.

BAB V KESIMPULAN

Dari analisa pengaruh lapisan Hastelloy-X ZrO₂ terhadap efisiensi thermal turbin gas maka dapat ditarik beberapa kesimpulan sebagai berikut :

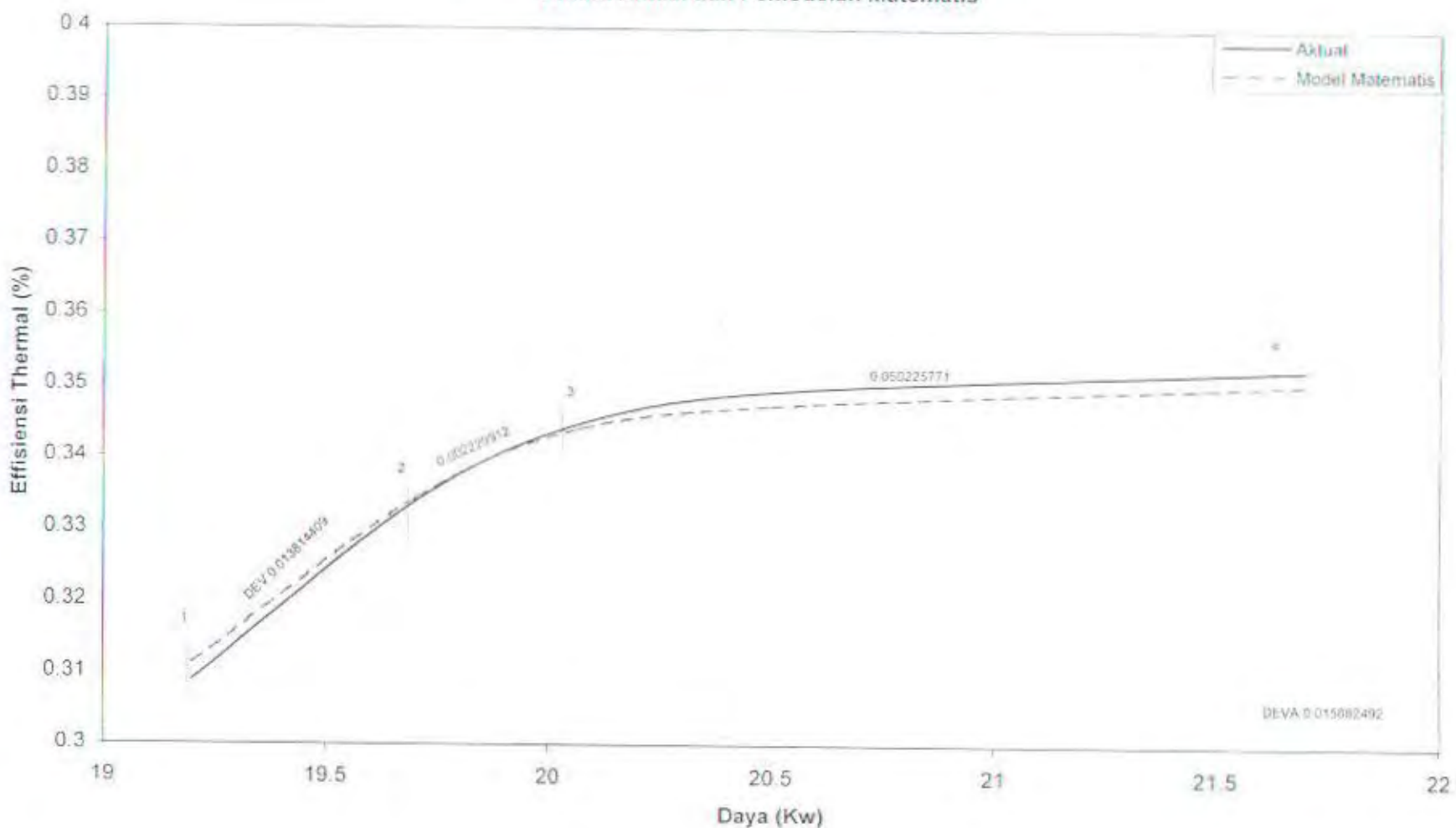
1. Efisiensi thermal dipengaruhi oleh ketebalan lapisan keramik dan energi loses.
2. Ketebalan lapisan Hastelloy-X 0.055 in mempunyai efisiensi yang setara dengan ketebalan lapisan ZrO₂ 0.06 in.
3. Hastelloy-X lebih menguntungkan dibandingkan dengan ZrO₂.

DAFTAR PUSTAKA

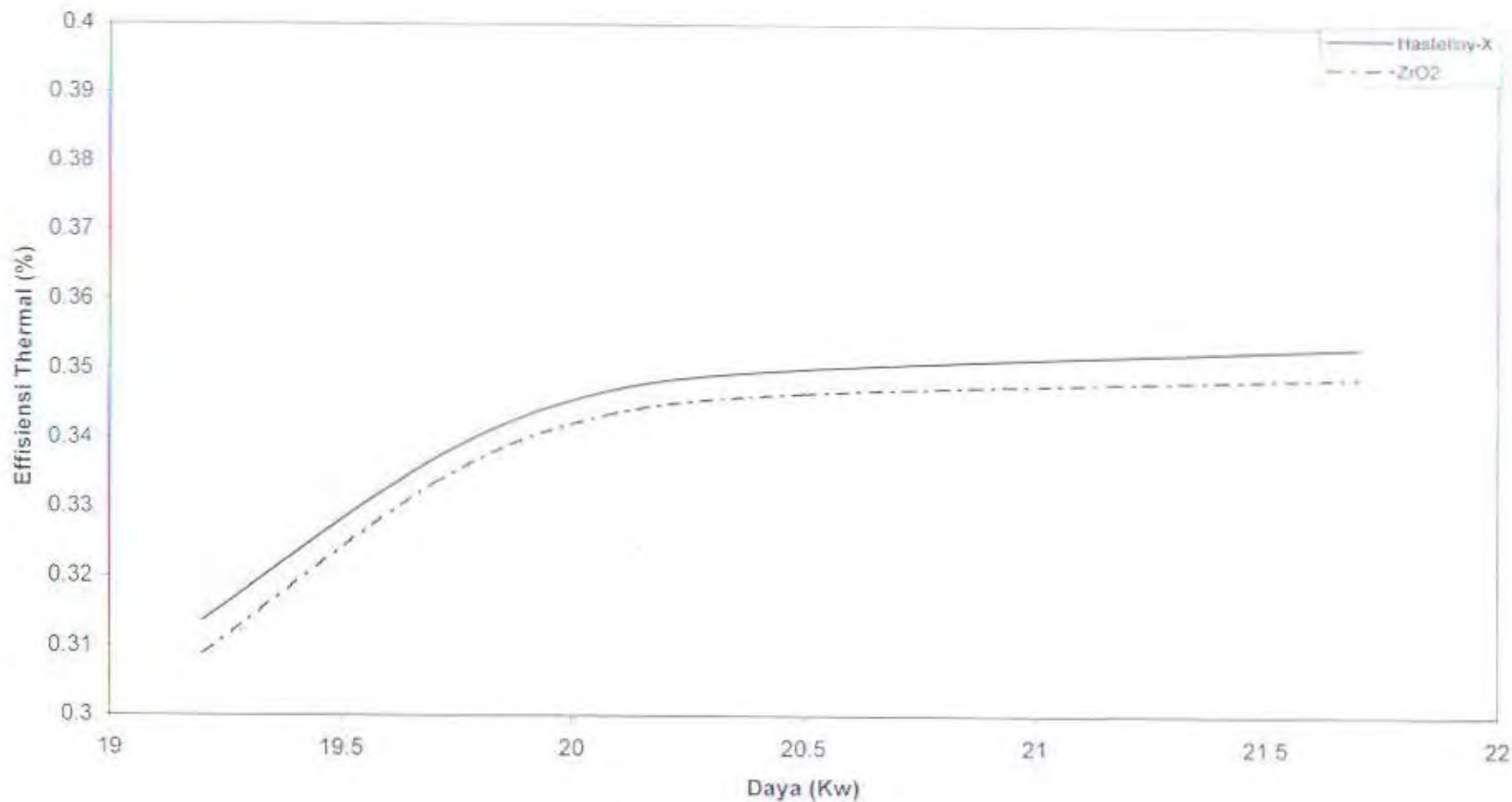
1. Khavkin Yuriy I [1995], "Combustion System design," Penwell Books Press, Penwell publishing company Tulsa, Oklahoma.
2. Cohen H, Rogers GFC and Saravanamutto HH [1996], "Gas turbine Theory," Fourth edition revised, T.J. Press, Padstow, Cornwall, USA.
3. Bathie W. William [1995], "Fundamental of Gas Turbine," Second edition, John Wiley & Sons, inc, New York USA.
4. John Sawyer W [1982], "Sawyer's Gas Turbine Engineering Handbook," Volume I, Gas Turbine Publications INC, Norwalk.
5. Kreith, F [1987], "Principle of Heat Transfer," International Textbook Company, Pennsylvania.
6. P. Schilke W [1982], "Advanced Gas Turbine Material and Coatings," Schenady, New York.
7. G.de With, R.A. Terpstra, R. Metselaar [1989], "Euro-Ceramics Processing of Ceramics," Volume I, Elsevier Applied Scince London and New York.
8. Donald L. Katz and Lee L. Robert [1990], "Natural Gas Engineering Production and Storage," Series III, McGraw-Hill Publishing Company, Singapore.
9. B. Lewis, N. Pease, R, H.S. Taylor [1956], "Combustion Process High Speed Aerodynamics And Jet Propulsion," Volume II, Princeton University Press, New Jersey.
10. E. Harmadi, B. Utomo [1990], "Teknik Pembakaran Dasar dan Bahan Bakar," Diktat Teknik Mesin-ITS.
11. K. Perry [1987], "Perry's Chemical Engineering," International Handbook, McGraw-Hill Publishing Company, New York.
12. M. Nasir [199], "Metode Penelitian," Cetakan 3, Ghalia Indonesia, Jakarta.
13. [http://www.ZrO₂.com](http://www.ZrO2.com)
14. <http://www.chemicalelements.com/elements/zr.html>
15. <http://www.haynesintl.com/AS1034/1034A.htm>/HAYNES® 25alloy

16. <http://www.hightempmetals.com>
17. <http://www.api.ufl.edu/ices/GasTurbines/simple/Default.htm>
18. <http://www.ms.ornl.gov/sections/ms/SCC/programs/OBES.html#anchor10>
19. <http://www.iso-corrosion.com>

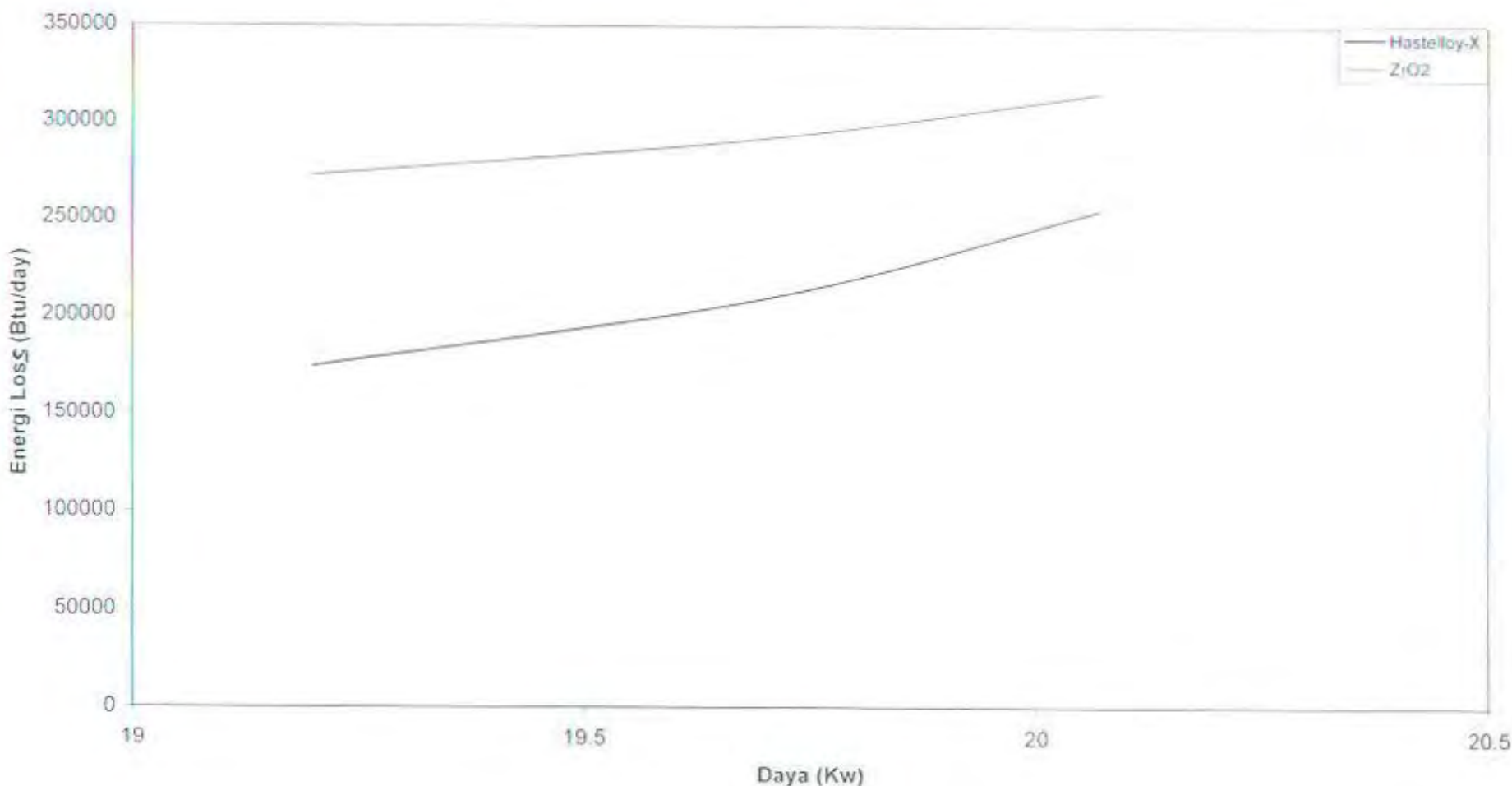
Grafik 10. Perbandingan Grafik Efisiensi Thermal Vs Daya
Antara Aktual dan Pemodelan Matematis



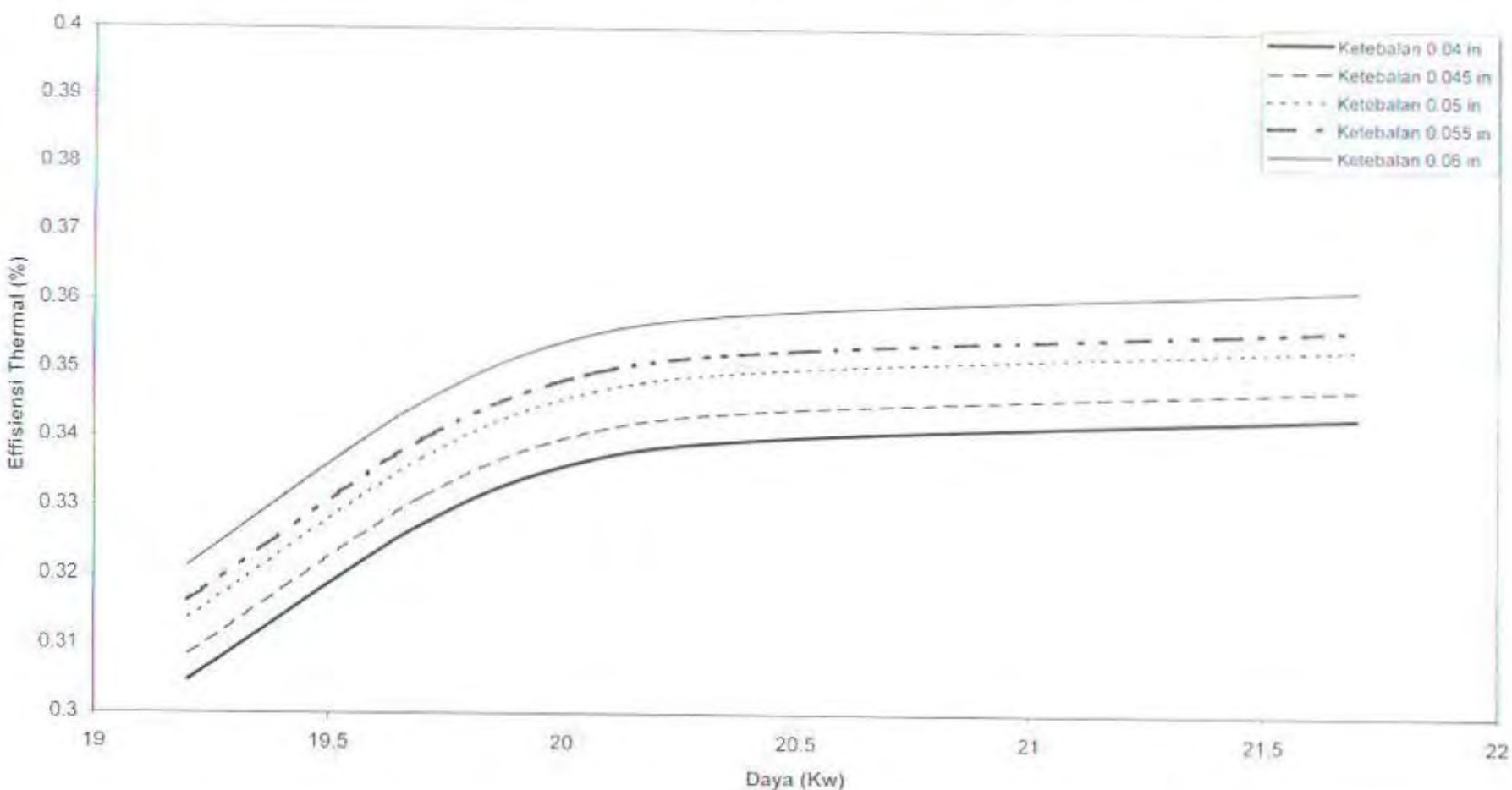
Grafik 11. Perbandingan Efisiensi Thermal Lapisan Hastelloy-X dan ZrO₂
Pada Ketebalan 0.06 in (standard)



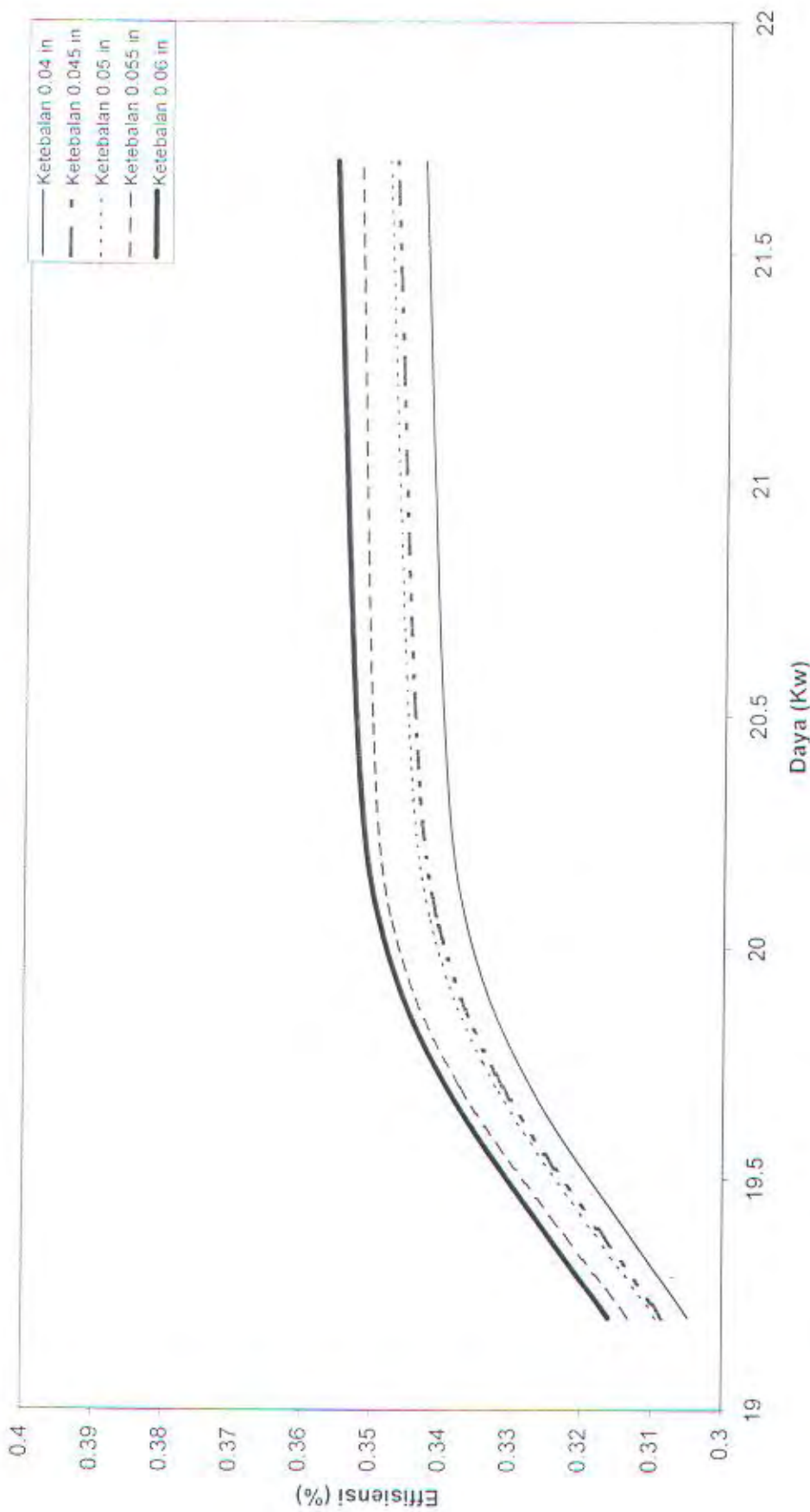
Grafik 12. Pengaruh Energi Lose Terhadap Efisiensi Thermal Turbin Gas
Lapisan Hastelloy-X dan ZrO₂ (aktual)



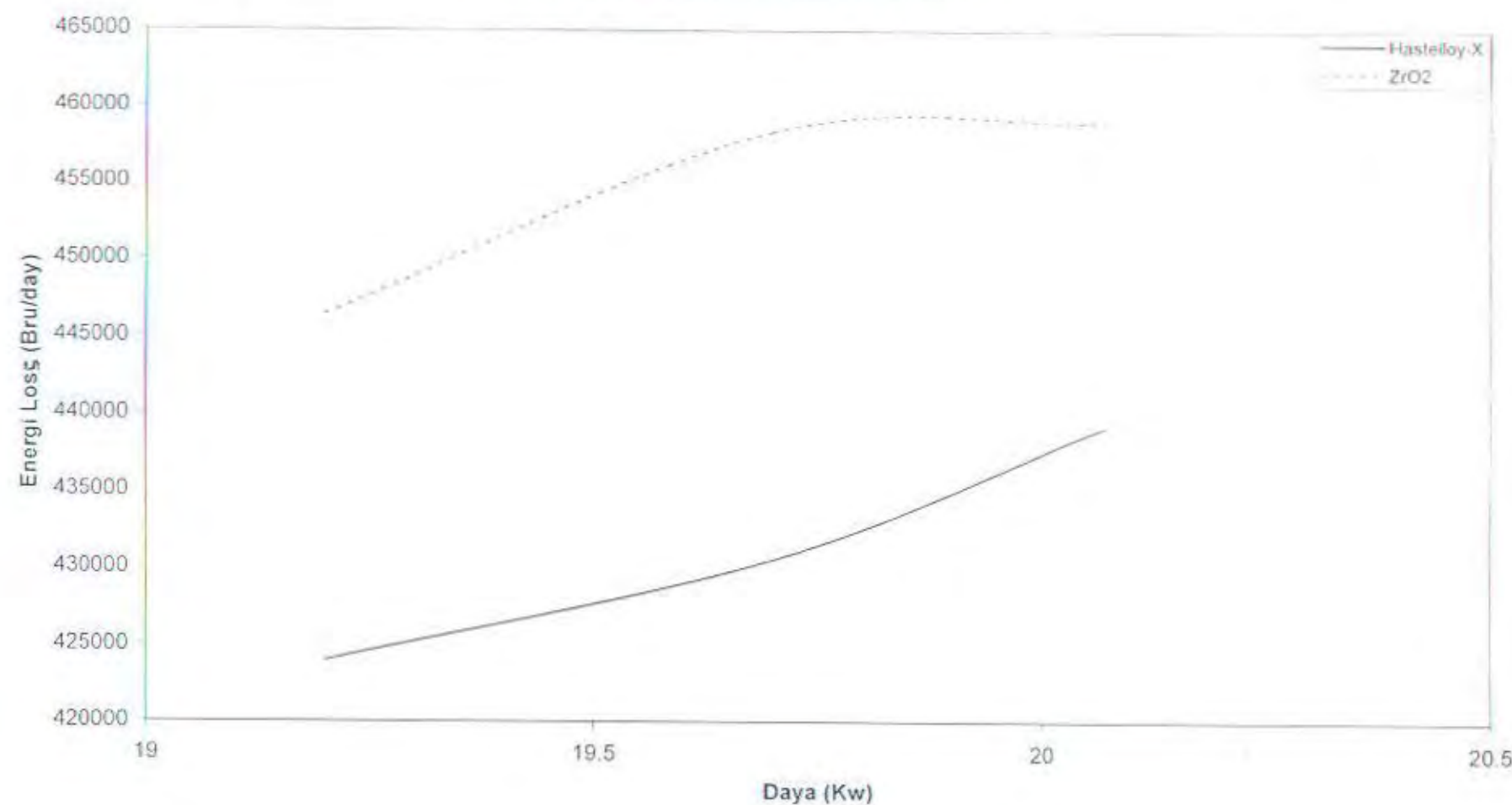
Grafik 13. Pengaruh Ketebalan Keramik Terhadap Efisiensi Thermal Pada Turbin Gas Dengan Lapisan Hastelloy-X



Grafik 14. Pengaruh Ketebalan Keramik Terhadap Efisiensi Thermal Pada Turbin Gas Dengan Lapisan ZrO₂



Grafik 15. Perbandingan Pengaruh Energi Loses Terhadap Efisiensi Thermal Turbin Gas Lapisan Hastelloy-X dan ZrO₂



Lampiran Tabel

Tabel 6. Efisiensi Thermal Dari Turbin Gas Dengan Lapisan Hastelloy-X

| Parameter | GAS TURBINE | | | | | | | | |
|--|-------------------|----------------|----------------|--------------------|----------------|----------------|-------------------|----------------|----------------|
| | Ketebalan 0.04 in | | | Ketebalan 0.045 in | | | Ketebalan 0.05 in | | |
| | Unit 1 | Unit 2 | Unit 5 | Unit 1 | Unit 2 | Unit 5 | Unit 1 | Unit 2 | Unit 5 |
| inlet temperature | 77.5484 | 78.0333 | 79.4286 | 77.5484 | 78.0333 | 79.4286 | 77.5484 | 78.0333 | 79.4286 |
| at compressor exit | 618.0000 | 692.0000 | 630.0000 | 618.0000 | 692.0000 | 630.0000 | 618.0000 | 692.0000 | 630.0000 |
| compressor exit | 260.0000 | 263.0000 | 261.0000 | 260.0000 | 263.0000 | 261.0000 | 260.0000 | 263.0000 | 261.0000 |
| pressure ratio | 4.1487 | 4.5410 | 4.1723 | 4.1487 | 4.5410 | 4.1723 | 4.1487 | 4.5410 | 4.1723 |
| Efficiency | 0.8651 | 0.8724 | 0.8742 | 0.8651 | 0.8724 | 0.8742 | 0.8651 | 0.8724 | 0.8742 |
| temperature at compressor | 489.4852 | 556.0206 | 498.6465 | 489.4852 | 556.0206 | 498.6465 | 489.4852 | 556.0206 | 498.6465 |
| pressure at compressor | 261.5814 | 264.4239 | 262.5642 | 261.5814 | 264.4239 | 262.5642 | 261.5814 | 264.4239 | 262.5642 |
| mass flow rate | 52.6047 | 47.0810 | 51.9317 | 52.6047 | 47.0810 | 51.9317 | 52.6047 | 47.0810 | 51.9317 |
| work | 5,145.3847 | 5,145.3319 | 5,145.3671 | 5,145.3847 | 5,145.3319 | 5,145.3671 | 5,145.3847 | 5,145.3319 | 5,145.3671 |
| pound into compressor | 152.3676 | 174.4670 | 151.6784 | 152.3676 | 174.4670 | 151.6784 | 152.3676 | 174.4670 | 151.6784 |
| op in primary burner | 0.0000 | 0.0000 | 0.0000 | 0.0000 | 0.0000 | 0.0000 | 0.0000 | 0.0000 | 0.0000 |
| op in exhaust system | 0.0000 | 0.0000 | 0.0000 | 0.0000 | 0.0000 | 0.0000 | 0.0000 | 0.0000 | 0.0000 |
| temperature of combustor wall | 2,285.4070 | 2,297.7000 | 2,290.1550 | 2,285.4070 | 2,297.7000 | 2,290.1550 | 2,285.4070 | 2,297.7000 | 2,290.1550 |
| er of adiabatic convection | 565.4864 | 565.2103 | 565.4393 | 636.2021 | 636.0115 | 636.1193 | 706.7992 | 706.5241 | 706.7725 |
| er of outer of combustor wall | 2,282.6809 | 2,294.9829 | 2,287.4289 | 2,282.3401 | 2,294.6421 | 2,287.0861 | 2,281.9994 | 2,293.9606 | 2,285.6115 |
| er of radiation | 453,371.6837 | 441,398.5700 | 453,958.2579 | 453,548.3838 | 441,574.5888 | 454,132.0762 | 453,720.9586 | 441,926.5086 | 454,305.8557 |
| er of convection to coolant | 1,368,250.4991 | 1,323,604.6810 | 1,364,389.0201 | 1,367,976.1672 | 1,323,323.3073 | 1,364,108.5043 | 1,067,696.0818 | 1,322,760.5599 | 1,363,827.9885 |
| er of radiation to coolant | 3,392,645.3623 | 3,456,331.9461 | 3,419,690.3010 | 3,390,650.8406 | 3,454,262.4803 | 3,417,641.2047 | 3,388,615.3905 | 3,450,126.3139 | 3,415,593.0241 |
| al gas supplied as a liquid at 82.33 F | | | | | | | | | |
| alpy of CO2 at T3 | -148,741.8000 | -149,524.0000 | -149,056.9000 | -148,741.8000 | -149,624.0000 | -149,056.9000 | -148,741.8000 | -149,624.0000 | -149,056.9000 |
| alpy of H2O at T3 | -88,778.9000 | -88,769.8000 | -88,774.5000 | -88,778.9000 | -88,769.8000 | -88,774.5000 | -88,778.9000 | -88,769.8000 | -88,774.5000 |
| alpy of O2 at T3 | 13.105.1000 | 13.140.2000 | 13.125.4000 | 13.105.1000 | 13.140.2000 | 13.125.4000 | 13.105.1000 | 13.140.2000 | 13.125.4000 |
| 0 | 0.0345 | 0.0325 | 0.0359 | 0.0345 | 0.0325 | 0.0359 | 0.0345 | 0.0325 | 0.0359 |
| otor turbine efficiency | 0.8180 | 0.8394 | 0.8883 | 0.8180 | 0.8394 | 0.8883 | 0.8180 | 0.8394 | 0.8883 |
| ime temperature | 3,000.0100 | 2,985.8700 | 3,001.6500 | 3,000.0100 | 2,985.8700 | 3,001.6500 | 3,000.0100 | 2,985.8700 | 3,001.6500 |
| ess air supplied | 65.5271 | 70.6988 | 61.4895 | 65.5271 | 70.6988 | 61.4895 | 65.5271 | 70.6988 | 61.4895 |
| n combustion chamber | 369.3415 | 372.3725 | 385.2277 | 368.2595 | 371.2959 | 384.1360 | 367.1778 | 345.2194 | 383.0445 |
| gas generator exit | 8,436.7341 | 8,505.9705 | 8,799.6181 | 8,412.0196 | 8,481.3778 | 8,774.6812 | 8,387.3090 | 7,885.7230 | 8,749.7482 |
| t temperature | 261.7935 | 261.8387 | 261.6548 | 261.7935 | 261.8387 | 261.6548 | 261.7935 | 261.8387 | 261.6548 |
| power turbine exit | 1,725.5850 | 1,735.9874 | 1,728.5875 | 1,725.5850 | 1,735.9874 | 1,728.5875 | 1,725.5850 | 1,735.9874 | 1,728.5875 |
| at power turbine exit | 14.6500 | 14.6500 | 14.6500 | 14.6500 | 14.6500 | 14.6500 | 14.6500 | 14.6500 | 14.6500 |
| ssure ratio | 952.0000 | 955.0000 | 932.0000 | 952.0000 | 955.0000 | 932.0000 | 952.0000 | 955.0000 | 932.0000 |
| ne efficiency | 1.6801 | 1.6839 | 1.6775 | 1.6801 | 1.6839 | 1.6775 | 1.6801 | 1.6839 | 1.6775 |
| temperature at power turbine | 730.2595 | 737.2096 | 751.8565 | 730.2595 | 737.2096 | 751.8565 | 730.2595 | 737.2096 | 751.8565 |
| pressure at power turbine | 276.6478 | 276.5512 | 276.0621 | 276.6478 | 276.5512 | 276.0621 | 276.6478 | 276.5512 | 276.0621 |
| ne mass flow rate | 45.0537 | 44.6125 | 43.6643 | 45.0537 | 44.6125 | 43.6643 | 45.0537 | 44.6125 | 43.6643 |
| ne work | 5,265.8123 | 5,265.8771 | 5,265.8449 | 5,265.8123 | 5,265.8771 | 5,265.8449 | 5,265.8123 | 5,265.8771 | 5,265.8449 |
| of combustor wall | 426,188.3366 | 419,634.6787 | 434,732.7371 | 426,424.3793 | 419,871.7833 | 434,970.2982 | 426,660.3852 | 420,108.8049 | 430,799.5181 |
| loses | 3,381.9964 | 3,410.6823 | 3,497.2929 | 3,381.9964 | 3,410.6823 | 3,497.2929 | 3,381.9964 | 3,410.6823 | 3,497.2929 |
| ciency | 0.3261 | 0.3237 | 0.3127 | 0.3270 | 0.3247 | 0.3136 | 0.3280 | 0.3492 | 0.3145 |
| l consumption | 89,589.2000 | 252,639.2000 | 2,409,641.0000 | 89,589.2000 | 252,639.2000 | 2,409,641.0000 | 89,589.2000 | 252,639.2000 | 2,409,641.0000 |

Tabel 6. Efisiensi Thermal Dari Turbin Gas Dengan Lapisan Hastelley-X (Lanjutan)

| No | Parameter | GAS TURBINE | | | | | |
|----|---|--------------------|----------------|----------------|-------------------|----------------|----------------|
| | | Ketebalan 0.055 in | | | Ketebalan 0.06 in | | |
| | | Unit 1 | Unit 2 | Unit 5 | Unit 1 | Unit 2 | Unit 5 |
| 1 | Compressor inlet temperature | 77.5484 | 78.0333 | 79.4286 | 77.5484 | 78.0333 | 79.4286 |
| 2 | Temperature at compressor exit | 618.0000 | 692.0000 | 630.0000 | 618.0000 | 692.0000 | 630.0000 |
| 3 | Pressure at compressor exit | 260.0000 | 263.0000 | 261.0000 | 260.0000 | 263.0000 | 261.0000 |
| 4 | Compressor pressure ratio | 4.1487 | 4.5410 | 4.1723 | 4.1487 | 4.5410 | 4.1723 |
| 5 | Low compressor Efficiency | 0.8651 | 0.8724 | 0.8742 | 0.8651 | 0.8724 | 0.8742 |
| 6 | Stagnation temperature at compressor | 489.4852 | 556.0208 | 498.6465 | 489.4852 | 556.0206 | 498.6465 |
| 7 | Stagnation pressure at compressor | 261.5814 | 264.4239 | 262.5642 | 261.5814 | 264.4239 | 262.5642 |
| 8 | Compressor mass flow rate | 52.6047 | 47.0810 | 51.9317 | 52.6047 | 47.0810 | 51.9317 |
| 9 | Compressor work | 5,145.3847 | 5,145.3319 | 5,145.3671 | 5,145.3847 | 5,145.3319 | 5,145.3671 |
| 10 | Net work per pound into compressor | 152.3676 | 174.4670 | 151.6784 | 152.3676 | 174.4670 | 151.6784 |
| 11 | Pressure drop in primary burner | 0.0000 | 0.0000 | 0.0000 | 0.0000 | 0.0000 | 0.0000 |
| 12 | Pressure drop in exhaust system | 0.0000 | 0.0000 | 0.0000 | 0.0000 | 0.0000 | 0.0000 |
| 13 | Adiabatic temperature of combustor wall | 2,285.4070 | 2,297.7090 | 2,290.1550 | 2,285.4070 | 2,297.7090 | 2,290.1550 |
| 14 | Heat transfer of adiabatic convection | 777.4892 | 777.3422 | 777.4751 | 848.1591 | 848.1463 | 848.1575 |
| 15 | Temperature outer of combustor wall | 2,281.6586 | 2,293.9606 | 2,286.4066 | 2,281.3178 | 2,293.6198 | 2,286.0658 |
| 16 | Heat transfer of radiation | 453,993.4949 | 441,926.5086 | 454,479.5964 | 454,065.9924 | 442,102.4097 | 454,653.2983 |
| 17 | Heat transfer of convection to coolant | 1,367,415.9963 | 1,322,760.5599 | 1,363,547.4726 | 1,367,135.9109 | 1,322,479.1862 | 1,363,268.9568 |
| 18 | Heat transfer of radiation to coolant | 3,386,580.8521 | 3,450,126.3139 | 3,413,545.7589 | 3,384,547.2251 | 3,448,059.6127 | 3,411,799.4089 |
| 19 | Fuel is Natural gas supplied as a liquid at 82.33 F | | | | | | |
| | Enthalpy of CO ₂ at T3 | -148,741.8000 | -149,624.0000 | -149,058.9000 | -148,741.8000 | -149,624.0000 | -149,058.9000 |
| | Enthalpy of H ₂ O at T3 | -88,778.9000 | -88,769.8000 | -88,774.5000 | -88,778.9000 | -88,769.8000 | -88,774.5000 |
| | Enthalpy of O ₂ at T3 | 13,105.1000 | 13,140.2000 | 13,125.4000 | 13,105.1000 | 13,140.2000 | 13,125.4000 |
| 20 | Fuel-air ratio | 0.0345 | 0.0325 | 0.0359 | 0.0345 | 0.0325 | 0.0359 |
| 21 | Gas generator turbine efficiency | 0.8180 | 0.8394 | 0.8883 | 0.8180 | 0.8394 | 0.8883 |
| 22 | Adiabatic flame temperature | 3,000.0100 | 2,985.8700 | 3,001.8500 | 3,000.0100 | 2,985.8700 | 3,001.6500 |
| 23 | Percent excess air supplied | 65.5271 | 70.6988 | 61.4895 | 65.5271 | 70.6988 | 61.4895 |
| 24 | Heat added in combustion chamber | 365.1983 | 342.9972 | 376.0961 | 365.0147 | 340.0671 | 362.8520 |
| 25 | Heat rate | 8,342.0928 | 7,834.9624 | 8,591.0288 | 8,337.8996 | 7,768.0291 | 8,288.7267 |
| 26 | Pressure at gas generator exit | 261.7935 | 261.8387 | 261.6546 | 261.7935 | 261.8387 | 261.6548 |
| 27 | Turbine inlet temperature | 1,725.5850 | 1,735.9874 | 1,728.5875 | 1,725.5850 | 1,735.9874 | 1,728.5875 |
| 28 | Pressure at power turbine exit | 14.6500 | 14.6500 | 14.6500 | 14.6500 | 14.6500 | 14.6500 |
| 29 | Temperature at power turbine exit | 952.0000 | 955.0000 | 932.0000 | 952.0000 | 955.0000 | 932.0000 |
| 30 | Turbine pressure ratio | 1.6801 | 1.6839 | 1.6775 | 1.6801 | 1.6839 | 1.6775 |
| 31 | Power turbine efficiency | 0.7882 | 0.8007 | 0.8959 | 0.7882 | 0.8007 | 0.8959 |
| 32 | Stagnation temperature at power turbine | 730.2595 | 737.2096 | 751.8565 | 730.2595 | 737.2096 | 751.8565 |
| 33 | Stagnation pressure at power turbine | 276.6478 | 276.5512 | 276.0621 | 276.6478 | 276.5512 | 276.0621 |
| 34 | Power turbine mass flow rate | 45.0537 | 44.6125 | 43.6643 | 45.0537 | 44.6125 | 43.6643 |
| 35 | Power turbine work | 5,265.8123 | 5,265.8771 | 5,265.8449 | 5,265.8123 | 5,265.8771 | 5,265.8449 |
| 36 | Heat losses of combustor wall | 426,896.3545 | 420,345.8872 | 461,661.2741 | 427,132.4871 | 420,582.8754 | 435,082.7610 |
| 37 | Stack losses | 3,381.9964 | 3,410.6823 | 3,497.2929 | 3,381.9964 | 3,410.6823 | 3,497.2929 |
| 38 | Evaporation losses | 1.3130 | 1.3130 | 1.3130 | 1.3130 | 1.3130 | 1.3130 |
| 39 | Thermal efficiency | 0.3298 | 0.3514 | 0.3467 | 0.3298 | 0.3545 | 0.3320 |
| 40 | Specific fuel consumption | 89,589.2000 | 252,639.2000 | 2,409,641.0000 | 89,589.2000 | 252,639.2000 | 2,409,641.0000 |

Tabel 7. Efisiensi Thermal Dari Turbin Gas Dengan Lapisan ZrO₂

| Parameter | GAS TURBINE | | | | | | | | | |
|---|-------------------|----------------|----------------|--------------------|----------------|----------------|-------------------|----------------|---------------|--|
| | Ketebalan 0.04 in | | | Ketebalan 0.045 in | | | Ketebalan 0.05 in | | | |
| | Unit 3 | Unit 4 | Unit 6 | Unit 3 | Unit 4 | Unit 6 | Unit 3 | Unit 4 | Unit 6 | |
| inlet temperature | 78.7143 | 79.3929 | 77.5712 | 78.7143 | 79.3929 | 77.5712 | 78.7143 | 79.3929 | 77.5712 | |
| at compressor exit | 665.0000 | 693.0000 | 642.0000 | 665.0000 | 693.0000 | 642.0000 | 685.0000 | 693.0000 | 642.0000 | |
| compressor exit | 260.0000 | 262.0000 | 264.0000 | 260.0000 | 262.0000 | 264.0000 | 260.0000 | 262.0000 | 264.0000 | |
| pressure ratio | 4.2680 | 4.1960 | 4.1487 | 4.2680 | 4.1960 | 4.1487 | 4.2680 | 4.1960 | 4.1487 | |
| isentropic Efficiency | 0.8112 | 0.8848 | 0.8350 | 0.8112 | 0.8848 | 0.8350 | 0.8112 | 0.8848 | 0.8350 | |
| temperature at compressor | 530.9650 | 555.6938 | 511.1903 | 530.9650 | 555.6938 | 511.1903 | 530.9650 | 555.6938 | 511.1903 | |
| pressure at compressor | 261.4574 | 263.4139 | 265.5610 | 261.4574 | 263.4139 | 265.5610 | 261.4574 | 263.4139 | 265.5610 | |
| mass flow rate | 48.4711 | 46.8394 | 51.5289 | 48.4711 | 46.8394 | 51.5289 | 48.4711 | 46.8394 | 51.5289 | |
| work | 5,145.3847 | 5,145.3495 | 5,145.3143 | 5,145.3847 | 5,145.3495 | 5,145.3143 | 5,145.3847 | 5,145.3495 | 5,145.3143 | |
| power input into compressor | 164.2184 | 171.5085 | 151.6784 | 164.2184 | 171.5085 | 151.6784 | 164.2184 | 171.5085 | 151.6784 | |
| power in primary burner | 0.0000 | 0.0000 | 0.0000 | 0.0000 | 0.0000 | 0.0000 | 0.0000 | 0.0000 | 0.0000 | |
| power in exhaust system | 0.0000 | 0.0000 | 0.0000 | 0.0000 | 0.0000 | 0.0000 | 0.0000 | 0.0000 | 0.0000 | |
| temperature of combustor wall | 2,307.1860 | 2,303.1980 | 2,297.7940 | 2,307.1860 | 2,303.1980 | 2,297.7940 | 2,307.1860 | 2,303.1980 | 2,297.7940 | |
| of adiabatic convection | 565.4394 | 565.4173 | 565.4371 | 636.1193 | 636.1028 | 636.1170 | 706.7992 | 706.7422 | 706.7992 | |
| outer of combustor wall | 2,304.4599 | 2,302.4719 | 2,295.0679 | 2,304.1191 | 2,302.1311 | 2,294.7271 | 2,303.7784 | 2,301.7904 | 2,286.4599 | |
| of radiation | 425,822.8972 | 419,069.2614 | 434,167.2999 | 425,788.2600 | 419,235.6805 | 434,334.1812 | 425,953.4800 | 419,402.0627 | 430,092.72 | |
| of convection to coolant | 1,347,526.2790 | 1,326,939.1898 | 1,367,034.1663 | 1,347,246.1935 | 1,326,658.2446 | 1,366,752.3651 | 1,346,906.1081 | 1,326,377.2993 | 1,359,940.82 | |
| of radiation to coolant | 3,110,423.0861 | 3,095,733.3563 | 3,062,525.7489 | 3,108,570.8765 | 3,093,885.9365 | 3,060,696.0952 | 3,106,719.4885 | 3,092,039.3369 | 3,016,718.02 | |
| total gas supplied as a liquid at 82.33 F | | | | | | | | | | |
| moles of CO ₂ at T3 | -146,587.1000 | -147,321.6000 | -149,056.9000 | -146,587.1000 | -147,321.6000 | -149,056.9000 | -146,587.1000 | -147,321.6000 | -149,056.9000 | |
| moles of H ₂ O at T3 | -88,805.3000 | -88,796.7000 | -88,774.5000 | -88,805.3000 | -88,796.7000 | -88,774.5000 | -88,805.3000 | -88,796.7000 | -88,774.5000 | |
| moles of O ₂ at T3 | 12,795.5000 | 128,512.7000 | 13,125.4000 | 12,795.5000 | 128,512.7000 | 13,125.4000 | 12,795.5000 | 128,512.7000 | 13,125.4000 | |
| turbine efficiency | 0.0338 | 0.0347 | 0.0327 | 0.0338 | 0.0347 | 0.0327 | 0.0338 | 0.0347 | 0.0327 | |
| air temperature | 0.8485 | 0.8340 | 0.8672 | 0.8485 | 0.8340 | 0.8672 | 0.8485 | 0.8340 | 0.8672 | |
| mass air supplied | 3,010.9800 | 2,996.1400 | 3,007.4200 | 3,010.9800 | 2,996.1400 | 3,007.4200 | 3,010.9800 | 2,996.1400 | 3,007.4200 | |
| in combustion chamber | 58.8712 | 60.8745 | 59.7220 | 58.8712 | 60.8745 | 59.7220 | 58.8712 | 60.8745 | 59.7220 | |
| as generator exit | 388.1958 | 361.8688 | 366.0147 | 383.2909 | 361.0147 | 365.2767 | 372.3417 | 360.8688 | 363.37 | |
| temperature | 8,867.4170 | 8,266.0394 | 8,360.7423 | 8,755.3754 | 8,246.5291 | 8,343.8851 | 8,505.2948 | 8,243.1968 | 8,300.48 | |
| at power turbine exit | 261.2903 | 261.3226 | 262.8242 | 261.2903 | 261.3226 | 262.8242 | 261.2903 | 261.3226 | 262.8242 | |
| at power turbine exit | 1,714.2587 | 1,720.6987 | 1,730.1428 | 1,714.2587 | 1,720.6987 | 1,730.1428 | 1,714.2587 | 1,720.6987 | 1,730.1428 | |
| ure ratio | 1.6764 | 1.6782 | 1.6736 | 1.6764 | 1.6782 | 1.6736 | 1.6764 | 1.6782 | 1.6736 | |
| efficiency | 0.7472 | 0.7627 | 0.8332 | 0.7472 | 0.7627 | 0.8332 | 0.7472 | 0.7627 | 0.8332 | |
| temperature at power turbine | 716.8085 | 722.8550 | 741.1111 | 716.8085 | 722.8550 | 741.1111 | 716.8085 | 722.8550 | 741.1111 | |
| pressure at power turbine | 276.4029 | 278.3067 | 277.5120 | 276.4029 | 278.3067 | 277.5120 | 276.4029 | 278.3067 | 277.5120 | |
| mass flow rate | 45.8603 | 45.4601 | 44.5314 | 45.8603 | 45.4601 | 44.5314 | 45.8603 | 45.4601 | 44.5314 | |
| work | 5,265.8254 | 5,265.8379 | 5,265.8449 | 5,265.8254 | 5,265.8379 | 5,265.8449 | 5,265.8254 | 5,265.8379 | 5,265.8449 | |
| combustor wall | 453,941.2097 | 441,964.0094 | 454,523.6972 | 454,184.5031 | 442,210.7081 | 454,768.1955 | 454,427.7579 | 442,457.3675 | 455,012.65 | |
| oses | 3,445.8106 | 3,478.7834 | 3,548.2716 | 3,445.8106 | 3,478.7834 | 3,548.2716 | 3,445.8106 | 3,478.7834 | 3,548.2716 | |
| ency | 0.3103 | 0.3330 | 0.3293 | 0.3142 | 0.3337 | 0.3300 | 0.3235 | 0.3339 | 0.3300 | |
| consumption | 294,932.0000 | 112,396.5000 | 166,544.0000 | 294,932.0000 | 112,396.5000 | 166,544.0000 | 294,932.0000 | 112,396.5000 | 166,544.0000 | |

Tabel 7. Efisiensi Thermal Dari Turbin Gas Dengan Lapisan ZrO₂ (Lanjutan)

| No. | Parameter | GAS TURBINE | | | | | |
|-----|---|--------------------|----------------|----------------|-------------------|----------------|----------------|
| | | Ketebalan 0.055 in | | | Ketebalan 0.06 in | | |
| | | Unit 3 | Unit 4 | Unit 6 | Unit 3 | Unit 4 | Unit 6 |
| 1 | Compressor inlet temperature | 78.7143 | 79.3929 | 77.5712 | 78.7143 | 79.3929 | 77.5712 |
| 2 | Temperature at compressor exit | 665.0000 | 693.0000 | 642.0000 | 665.0000 | 693.0000 | 642.0000 |
| 3 | Pressure at compressor exit | 260.0000 | 262.0000 | 264.0000 | 260.0000 | 262.0000 | 264.0000 |
| 4 | Compressor pressure ratio | 4.2680 | 4.1960 | 4.1487 | 4.2680 | 4.1960 | 4.1487 |
| 5 | Low compressor Efficiency | 0.8112 | 0.8848 | 0.8350 | 0.8112 | 0.8848 | 0.8350 |
| 6 | Stagnation temperature at compressor | 530.9650 | 555.6938 | 511.1903 | 530.9650 | 555.6938 | 511.1903 |
| 7 | Stagnation pressure at compressor | 261.4574 | 263.4139 | 265.5610 | 261.4574 | 263.4139 | 265.5610 |
| 8 | Compressor mass flow rate | 48.4711 | 46.8394 | 51.5289 | 48.4711 | 46.8394 | 51.5289 |
| 9 | Compressor work | 5,145.3847 | 5,145.3495 | 5,145.3143 | 5,145.3847 | 5,145.3495 | 5,145.3143 |
| 10 | Net work per pound into compressor | 164.2184 | 171.5085 | 151.6784 | 164.2184 | 171.5085 | 151.6784 |
| 11 | Pressure drop in primary burner | 0.0000 | 0.0000 | 0.0000 | 0.0000 | 0.0000 | 0.0000 |
| 12 | Pressure drop in exhaust system | 0.0000 | 0.0000 | 0.0000 | 0.0000 | 0.0000 | 0.0000 |
| 13 | Adiabatic temperature of combustor wall | 2,307.1860 | 2,305.1980 | 2,297.7940 | 2,307.1860 | 2,305.1980 | 2,297.7940 |
| 14 | Heat transfer of adiabatic convection | 777.4792 | 777.4792 | 777.4792 | 848.1591 | 848.1591 | 848.1591 |
| 15 | Temperature outer of combustor wall | 2,303.4376 | 2,301.4495 | 2,286.1496 | 2,303.0968 | 2,301.1088 | 2,293.7048 |
| 16 | Heat transfer of radiation | 426,118.8754 | 419,568.4080 | 460,883.7949 | 426,284.1280 | 419,734.7163 | 434,834.6020 |
| 17 | Heat transfer of convection to coolant | 1,346,686.0226 | 1,326,096.3540 | 1,365,155.4919 | 1,346,405.9372 | 1,325,815.4068 | 1,365,906.9616 |
| 18 | Heat transfer of radiation to coolant | 3,104,868.9218 | 3,090,193.5572 | 3,450,534.2744 | 3,103,019.1763 | 3,088,348.5972 | 3,055,212.0228 |
| 19 | Fuel is Natural gas supplied as a liquid at 62.33 F | | | | | | |
| | Enthalpy of CO ₂ at T3 | -146,587.1000 | -147,321.6000 | -149,056.9000 | -146,587.1000 | -147,321.6000 | -149,056.9000 |
| | Enthalpy of H ₂ O at T3 | -88,805.3000 | -88,796.7000 | -88,774.5000 | -88,805.3000 | -88,796.7000 | -88,774.5000 |
| | Enthalpy of O ₂ at T3 | 12,795.5000 | 128,512.7000 | 13,125.4000 | 12,795.5000 | 128,512.7000 | 13,125.4000 |
| 20 | Fuel-air ratio | 0.0338 | 0.0347 | 0.0327 | 0.0338 | 0.0347 | 0.0327 |
| 21 | Gas generator turbine efficiency | 0.8485 | 0.8340 | 0.8672 | 0.8485 | 0.8340 | 0.8672 |
| 22 | Adiabatic flame temperature | 3,010.9800 | 2,996.1400 | 3,007.4200 | 3,010.9800 | 2,996.1400 | 3,007.4200 |
| 23 | Percent excess air supplied | 56.8712 | 60.8745 | 59.7220 | 56.8712 | 60.8745 | 59.7220 |
| 24 | Heat added in combustion chamber | 369,3417 | 358,8688 | 360,1958 | 365,3417 | 353,3772 | 355,1958 |
| 25 | Heat rate | 8,436,7389 | 8,197,5115 | 8,227,8231 | 8,345,3684 | 8,072,0690 | 8,113,6099 |
| 26 | Pressure at gas generator exit | 261.2903 | 261.3226 | 262.8242 | 261.2903 | 261.3226 | 262.8242 |
| 27 | Turbine inlet temperature | 1,714.2587 | 1,720.6987 | 1,730.1428 | 1,714.2587 | 1,720.6987 | 1,730.1428 |
| 28 | Pressure at power turbine exit | 14.6500 | 14.6500 | 14.6500 | 14.6500 | 14.6500 | 14.6500 |
| 29 | Temperature at power turbine exit | 955.0000 | 955.0000 | 945.0000 | 955.0000 | 955.0000 | 945.0000 |
| 30 | Turbine pressure ratio | 1.6764 | 1.6782 | 1.6736 | 1.6764 | 1.6782 | 1.6736 |
| 31 | Power turbine efficiency | 0.7472 | 0.7627 | 0.8332 | 0.7472 | 0.7627 | 0.8332 |
| 32 | Stagnation temperature at power turbine | 716.8085 | 722.8550 | 741.1111 | 716.8085 | 722.8550 | 741.1111 |
| 33 | Stagnation pressure at power turbine | 276.4029 | 276.3067 | 277.5120 | 276.4029 | 276.3067 | 277.5120 |
| 34 | Power turbine mass flow rate | 45.8603 | 45.4601 | 44.5314 | 45.8603 | 45.4601 | 44.5314 |
| 35 | Power turbine work | 5,265.8254 | 5,265.8379 | 5,265.8449 | 5,265.8254 | 5,265.8379 | 5,265.8449 |
| 36 | Heat losses of combustor wall | 454,770.9840 | 454,670.9740 | 455,257.0756 | 454,914.1515 | 442,950.5688 | 455,501.4574 |
| 37 | Stack losses | 3,445.8106 | 3,478.7834 | 3,548.2716 | 3,445.8106 | 3,478.7834 | 3,548.2716 |
| 38 | Evaporation losses | 1.3130 | 1.3130 | 1.3130 | 1.3130 | 1.3130 | 1.3130 |
| 39 | Thermal efficiency | 0.3261 | 0.3357 | 0.3346 | 0.3297 | 0.3410 | 0.3393 |
| 40 | Specific fuel consumption | 294,932.0000 | 112,396.5000 | 166,544.0000 | 294,932.0000 | 112,396.5000 | 166,544.0000 |

Tabel 8. Pengaruh Energi loses Pada Turbin Gas Lapisan Hastelloy-X

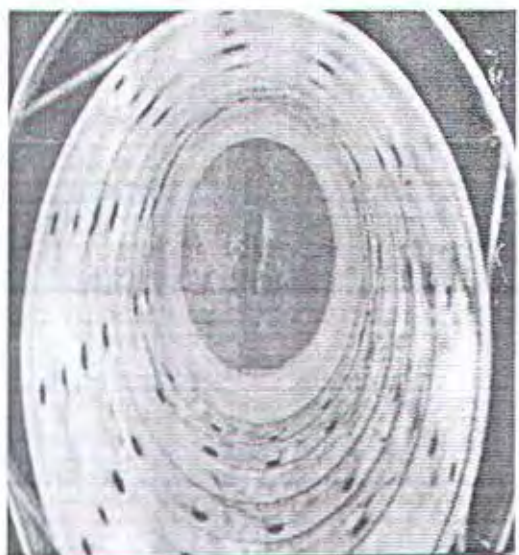
| No. | Parameter | Gas Turbine | | |
|-----|--|----------------|----------------|----------------|
| | | Unit 1 | Unit 2 | Unit 5 |
| 1 | Compressor inlet temperature | 77.5484 | 78.0333 | 79.4286 |
| 2 | Temperature at compressor exit | 618.0000 | 692.0000 | 630.0000 |
| 3 | Pressure at compressor exit | 280.0000 | 263.0000 | 261.0000 |
| 4 | Compressor pressure ratio | 4.1487 | 4.5410 | 4.1723 |
| 5 | Low compressor Efficiency | 0.8651 | 0.8724 | 0.8742 |
| 6 | Stagnation temperature at compressor | 459.4852 | 556.0206 | 498.6465 |
| 7 | Stagnation pressure at compressor | 261.5814 | 264.4239 | 262.5642 |
| 8 | Compressor mass flow rate | 52.6047 | 47.0810 | 51.9317 |
| 9 | Compressor work | 5,145.3847 | 5,145.3319 | 5,145.3671 |
| 10 | Net work per pound into compressor | 152.3676 | 174.4670 | 151.6784 |
| 11 | Pressure drop in primary burner | 0.0000 | 0.0000 | 0.0000 |
| 12 | Pressure drop in exhaust system | 0.0000 | 0.0000 | 0.0000 |
| 13 | Adiabatic temperature of combustor wall | 2,285.4070 | 2,297.7090 | 2,290.1550 |
| 14 | Heat transfer of adiabatic convection | 848.1591 | 848.1463 | 848.1575 |
| 15 | Temperature outer of combustor wall | 2,281.3178 | 2,293.6198 | 2,286.0658 |
| 16 | Heat transfer of radiation | 454,065.9924 | 442,102.4097 | 454,653.2983 |
| 17 | Heat transfer of convection to coolant | 1,367,135.9109 | 1,322,479.1862 | 1,363,266.9568 |
| 18 | Heat transfer of radiation to coolant | 3,384,547.2251 | 3,448,059.6127 | 3,411,499.4089 |
| 19 | Fuel is Natural gas supplied as a liquid at 80 F | | | |
| | Enthalpy of CO ₂ at T3 | -148,741.8000 | -149,624.0000 | -149,056.9000 |
| | Enthalpy of H ₂ O at T3 | -88,778.9000 | -88,769.8000 | -88,774.3000 |
| | Enthalpy of O ₂ at T3 | 13,105.1000 | 13,140.2000 | 13,125.4000 |
| 20 | Fuel-air ratio | 0.0345 | 0.0325 | 0.0359 |
| 21 | Gas generator turbine efficiency | 0.8180 | 0.8394 | 0.8883 |
| 22 | Adiabatic flame temperature | 3,000.0100 | 2,985.8700 | 3,001.6500 |
| 23 | Percent excess air supplied | 65.5271 | 70.6988 | 61.4895 |
| 24 | Heat added in combustion chamber | 365.0147 | 340.0671 | 362.8620 |
| 25 | Heat rate | 8,337.8996 | 7,768.0291 | 8,288.7267 |
| 26 | Pressure at gas generator exit | 261.7935 | 261.8387 | 261.6548 |
| 27 | Turbine inlet temperature | 1,725.3850 | 1,735.9874 | 1,728.5875 |
| 28 | Pressure at power turbine exit | 14.6500 | 14.6500 | 14.6500 |
| 29 | Temperature at power turbine exit | 952.0000 | 955.0000 | 932.0000 |
| 30 | Turbine pressure ratio | 1.6801 | 1.5839 | 1.6775 |
| 31 | Power turbine efficiency | 0.7882 | 0.8007 | 0.8959 |
| 32 | Stagnation temperature at power turbine | 730.2595 | 737.2096 | 751.8565 |
| 33 | Stagnation pressure at power turbine | 276.6478 | 276.5512 | 276.0621 |
| 34 | Power turbine mass flow rate | 45.0537 | 44.6125 | 43.6643 |
| 35 | Power turbine work | 5,265.8123 | 5,265.8771 | 5,265.8449 |
| 36 | Heat loses of combustor wall | 427,132.2871 | 420,582.6754 | 435,682.7610 |
| 37 | Stack loses | 3,381.9954 | 3,410.6823 | 3,497.2929 |
| 38 | Evaporation loses | 1.3130 | 1.3130 | 1.3130 |
| 39 | Energi loses | 430,515.5965 | 423,994.8707 | 439,161.3869 |
| 40 | Thermal efficiency | 0.3299 | 0.3545 | 0.3320 |
| 41 | Specific fuel consumption | 89,589.2000 | 252,639.2000 | 2,409,641.0000 |

Tabel 9. Pengaruh Energi loses Pada Turbin Gas Lapisan ZrO₂

| No. | Parameter | Gas Turbine | | |
|-----|--|----------------|----------------|----------------|
| | | Unit 3 | Unit 4 | Unit 6 |
| 1 | Compressor inlet temperature | 78.7143 | 79.3929 | 77.5712 |
| 2 | Temperature at compressor exit | 665.0000 | 693.0000 | 642.0000 |
| 3 | Pressure at compressor exit | 260.0000 | 262.0000 | 264.0000 |
| 4 | Compressor pressure ratio | 4.2680 | 4.1960 | 4.1487 |
| 5 | Low compressor Efficiency | 0.8112 | 0.8848 | 0.8350 |
| 6 | Stagnation temperature at compressor | 530.9650 | 555.6938 | 511.1903 |
| 7 | Stagnation pressure at compressor | 261.4574 | 263.4139 | 265.5610 |
| 8 | Compressor mass flow rate | 48.4711 | 46.8394 | 51.5289 |
| 9 | Compressor work | 5,145.3847 | 5,145.3495 | 5,145.3143 |
| 10 | Net work per pound into compressor | 164.2184 | 171.5085 | 151.6784 |
| 11 | Pressure drop in primary burner | 0.0000 | 0.0000 | 0.0000 |
| 12 | Pressure drop in exhaust system | 0.0000 | 0.0000 | 0.0000 |
| 13 | Adiabatic temperature of combustor wall | 2,307.1860 | 2,305.1980 | 2,297.7940 |
| 14 | Heat transfer of adiabatic convection | 848.1591 | 848.1591 | 848.1591 |
| 15 | Temperature outer of combustor wall | 2,303.0968 | 2,301.1088 | 2,293.7048 |
| 16 | Heat transfer of radiation | 426,284.1280 | 419,734.7163 | 434,834.6020 |
| 17 | Heat transfer of convection to coolant | 1,346,405.9372 | 1,325,815.4088 | 1,365,906.9616 |
| 18 | Heat transfer of radiation to coolant | 3,103,019.1763 | 3,088,348.5972 | 3,055,212.0228 |
| 19 | Fuel is Natural gas supplied as a liquid at 80 F | | | |
| | Enthalpy of CO ₂ at T3 | -146,587.1000 | -147,321.6000 | -149,056.9000 |
| | Enthalpy of H ₂ O at T3 | -88,805.3000 | -88,796.7000 | -88,774.5000 |
| | Enthalpy of O ₂ at T3 | 12,795.5000 | 128,512.7000 | 13,125.4000 |
| 20 | Fuel-air ratio | 0.0338 | 0.0347 | 0.0327 |
| 21 | Gas generator turbine efficiency | 0.8485 | 0.8340 | 0.8672 |
| 22 | Adiabatic flame temperature | 3,010.9800 | 2,995.1400 | 3,007.4200 |
| 23 | Percent excess air supplied | 56.8712 | 60.8745 | 59.7220 |
| 24 | Heat added in combustion chamber | 365.3417 | 353.3772 | 355.1958 |
| 25 | Heat rate | 8,345.3684 | 8,072.0690 | 8,113.6099 |
| 26 | Pressure at gas generator exit | 261.2903 | 261.3226 | 262.8242 |
| 27 | Turbine inlet temperature | 1,714.2587 | 1,720.6987 | 1,730.1428 |
| 28 | Pressure at power turbine exit | 14.6500 | 14.6500 | 14.6500 |
| 29 | Temperature at power turbine exit | 955.0000 | 955.0000 | 945.0000 |
| 30 | Turbine pressure ratio | 1.6764 | 1.6782 | 1.6736 |
| 31 | Power turbine efficiency | 0.7472 | 0.7627 | 0.8332 |
| 32 | Stagnation temperature at power turbine | 716.8085 | 722.8550 | 741.1111 |
| 33 | Stagnation pressure at power turbine | 276.4029 | 276.3067 | 277.5120 |
| 34 | Power turbine mass flow rate | 45.8603 | 45.4601 | 44.5314 |
| 35 | Power turbine work | 5,265.8254 | 5,265.8379 | 5,265.8449 |
| 36 | Heat loses of combustor wall | 454,914.1515 | 442,950.5688 | 455,501.4574 |
| 37 | Stack loses | 3,445.8106 | 3,478.7834 | 3,548.2716 |
| 38 | Evaporation loses | 1.3130 | 1.3130 | 1.3130 |
| 39 | Energi loses | 458,361.2751 | 446,430.6652 | 459,051.0419 |
| 40 | Thermal efficiency | 0.3297 | 0.3410 | 0.3393 |
| 41 | Specific fuel consumption | 294,932.0000 | 112,396.5000 | 166,544.0000 |



Gambar 7. Ruang bakar lapisan Hastelloy-X



Gambar 8. Ruang bakar lapisan ZrO₂

Central Duri Gas Turbine

| Unit | Turbine Data | Generator Data | | Commissioning Date |
|--------|------------------------|--------------------------------|----------------------|--------------------|
| CGT #1 | GENERAL ELECTRIC | GENERAL ELECTRIC | | 13-Jul-84 |
| | GAS TURBINE DIVISION | GENERATOR | | |
| | NO : 282064 | AIR COOLED GENERATOR | | |
| | AIR IN : 90 F | NO : 335X631 | | |
| | ALT : 118 FT | 2 POLES, 3 PHASE | | |
| | BASE : 21,720 KW | WYE CONN, 60 Hz | | |
| | PEAK : 23,570 KW | TOTAL TEMP. AT RATING | | |
| | FUEL : NATURAL GAS | GUARANTEED NOT TO EXCEED | | |
| | EXH. BASE : 938 F | 100 C ON ARMATURE BY DETECTOR | | |
| | EXH. PEAK : 985 F | 145 C ON FIELD BY RESISTANCE | | |
| | PRESSURE : 14.65 PSIA | MAX. COLD AIR TEMP : 15 C | | |
| | COMP. STAGES : 17 | RATING | PEAK | |
| | RPM : 5105 | KVA | : 29,600 32,000 | |
| | TURB. STAGES : 2 | ARMATURE AMPS | : 1,238 1,339 | |
| | INTR. BOOK : GEK-72071 | ARMATURE VOLTS | : 13,800 13,800 | |
| | SCHEECTADY N.Y. | FIELD AMPS | : 237 251 | |
| | GREENVILLE S.C. | EXCIT. AMPS | : 250 250 | |
| | N.P. 169377 | POWER FACTOR | : 0,85 0,85 | |
| | | RPM | : 3,600 3,600 | |
| | | COUTION : BEFORE INSTALLING OR | | |
| | | DI SMANTLING READ INSTRUCTION | | |
| | | GEK-72097, | | |
| | | LYNN, MASSACHUSETTS | | |
| | | MADE IN USA | | |

| | | | | |
|--------|-----------------------|--------------------------------|----------------------|-----------|
| CGT #2 | GENERAL ELECTRIC | GENERAL ELECTRIC | | 10-Dec-84 |
| | GAS TURBINE DIVISION | GENERATOR | | |
| | NO : 282499 | AIR COOLED GENERATOR | | |
| | AIR IN : 90 F | NO : 335X642 | | |
| | ALT : 118 FT | 2 POLES, 3 PHASE | | |
| | BASE : 21,900 KW | WYE CONN, 60 Hz | | |
| | PEAK : 24,090 KW | TOTAL TEMP. AT RATING | | |
| | FUEL : GAS | GUARANTEED NOT TO EXCEED | | |
| | EXH. BASE : 925 F | 100 C ON ARMATURE BY DETECTOR | | |
| | EXH. PEAK : 982 F | 145 C ON FIELD BY RESISTANCE | | |
| | PRESSURE : 14.65 PSIA | MAX. COLD AIR TEMP : 15 C | | |
| | COMP. STAGES : 17 | RATING | PEAK | |
| | RPM : 5100 | KVA | : 29,741 32,000 | |
| | TURB. STAGES : 2 | ARMATURE AMPS | : 1,244 1,339 | |
| | SCHEECTADY N.Y. | ARMATURE VOLTS | : 13,800 13,800 | |
| | GREENVILLE S.C. | FIELD AMPS | : 238 251 | |
| | N.P. 169487 | EXCIT. AMPS | : 250 250 | |
| | | POWER FACTOR | : 0,85 0,85 | |
| | | RPM | : 3,600 3,600 | |
| | | COUTION : BEFORE INSTALLING OR | | |
| | | DI SMANTLING READ INSTRUCTION | | |
| | | GEK-86466 | | |
| | | LYNN, MASSACHUSETTS | | |
| | | MADE IN USA | | |
| | | N.P. 169377 | | |

| | | | | |
|--------|------------------------|------------------------------|----------------|-----------|
| CGT #3 | HITACHI-GE GAS TURBINE | TYPE | EFZBILA | 11-Jun-88 |
| | TYPE & FORM : PG5361 | FORM | : K | |
| | UNIT RATING : N.G. | CODE | : JEC-114-1979 | |
| | BASE : 21,680 KW | OUT PUT | : 29,741 KVA | |
| | COMP. : 17 STAGES | CLASS OF RATING | : CONT | |
| | TURBINE : 2 STAGES | AMB. TEMP | : 15 C | |
| | SPEED : 5,100 RPM | NO. OF PHASES | : 3 POLES : 2 | |
| | AIR IN : 90 F | RPM : 3600, | FREQ : 60 Hz | |
| | EXH TEMP : 938 F | POWER FACTOR | : 0.85 | |
| | PRESSURE : 14.65 PSIA | VOLTAGE | : 13,800 V | |
| | DATE : 1986 | CONN | : Y | |
| | MFG NO : 986681 | ARMATURE AMPS | : 1244 A | |
| | GT NO : 356 | EXCITATION VOLTS | : 300 V DC | |
| | INSTR. BOOK : 1155590 | FIELD AMPS | : 288 A | |
| | HITACHI, ltd. TOKYO | TOTAL TEMP, NOT TO EXCEED | | |
| | JAPAN | ON ARMATURE BY DETECTOR | | |
| | HNR NO : 991550-1001 | ON FIELD BY RESISTANCE | | |
| | | MFG NO : 165401-1 | | |
| | | DATE : 1986 | | |
| | | INSTRUCTION : TS. 1153066-2E | | |
| | | HITACHI, ltd. TOKYO JAPAN | | |
| | | HNR - 991550-1001 | | |

| | | | | |
|--------|------------------------|------------------------------|----------------|-----------|
| CGT #4 | HITACHI-GE GAS TURBINE | TYPE | EFZBILA | 11-Jun-88 |
| | TYPE & FORM : PG5361 | FORM | : K | |
| | UNIT RATING : N.G. | CODE | : JEC-114-1979 | |
| | BASE : 21,680 KW | OUT PUT | : 29,741 KVA | |
| | COMP. : 17 STAGES | CLASS OF RATING | : CONT | |
| | TURBINE : 2 STAGES | AMB. TEMP | : 15 C | |
| | SPEED : 5,100 RPM | NO. OF PHASES | : 3 POLES : 2 | |
| | FUEL : GAS | RPM : 3600, | FREQ : 60 Hz | |
| | AIR IN : 90 F | POWER FACTOR | : 0.85 | |
| | EXH TEMP : 938 F | VOLTAGE | : 13,800 V | |
| | PRESSURE : 14.65 PSIA | CONN | : Y | |
| | DATE : 1988 | ARMATURE AMPS | : 1244 A | |
| | MFG NO : 966101 | EXCITATION VOLTS | : 300 V DC | |
| | GT NO : 330 | FIELD AMPS | : 288 A | |
| | INSTR. BOOK : 1157353 | TOTAL TEMP, NOT TO EXCEED | | |
| | HITACHI, ltd. TOKYO | ON ARMATURE BY DETECTOR | | |
| | JAPAN | ON FIELD BY RESISTANCE | | |
| | HNR NO : 991550-1002 | MFG NO : 165095-1 | | |
| | | DATE : 1988 | | |
| | | INSTR. BOOK : TS. 1153710-2E | | |
| | | HITACHI, ltd. TOKYO JAPAN | | |
| | | HNR - 991550-1002 | | |

| | | | |
|--------|----------------------|----------------|--------------|
| CGT #5 | ALSTHOM | ALSTHOM | 20-Mar-91 |
| | TURCO : 259 (T259) | TYPE | : T 180-180 |
| | MODEL : PG 5371 PA | Y CYL-ROTOR | |
| | COMP. : 17 STAGES | S/N | : 412815 |
| | TURBINE : 2 STAGES | YEAR OF MFG | : 1990 |
| | RPM : 5120 | APPARENT POWER | : 26,588 KVA |

| | | |
|-----------------------|-----------------------------|-------------------|
| DESIGN OUTPUT | RATED VOLTAGE | : 13,800 V |
| ISO CONDITIONS | RATED CURRENT | : 1,112 A |
| BASE | POWER FACTOR | : 0,85 |
| NATAL GAS : 26,300 KW | SPEED | : 3,600 RPM |
| DIST. OIL : 25,800 KW | FREQ | : 60 Hz |
| TURBINE EXH : 483 C | CLASS OF INSULATION | : F |
| PEAK | DUTY | : CONTINUOUS |
| NATAL GAS : 28,150 KW | EXCITATION | : 177 V 435 A |
| DIST. OIL : 27,650 KW | STANDARD | : ANSI C50 |
| TURBINE EXH : 508 C | PROTECTION | : IP 44 |
| FG DATE : APRIL 1990 | | |
| | ALSTHOM | |
| | ROTATING DIODE EXCITER | |
| | TYPE : MULTIPHASE TKJ 63-10 | |
| | S/N : 412823 | |
| | YEAR OF MFG : 1990 | |
| | OUTPUT : 77 KW | |
| | RATED VOLTAGE | : 177 V |
| | RATED CURRENT | : 435 A |
| | SPEED | : 3,600 RPM |
| | EXCITATION BY | : SEPARATED, 1 Hz |
| | EXCITATION VOLTAGE | : 33 V |
| | EXCITATION CURRENT | : 30 A |
| | CLASS OF INSULATION | : F |
| | DUTY | : CONTINUOUS |
| | STANDARD | : ANSI C50 |
| | PROTECTION | : IP 44 |

P.T. CALTEX PACIFIC INDONESIA
ENVIRONMENTAL & TECHNOLOGY SUPPORT LABORATORY DURI

GAS ANALYSIS

from CGT Date of Report : 28-07-2000
ing date 26-07-2000 Date Analyzed : 27-07-2000
ng by E&TS Laboratory-Duri Rec'd at Lab. : 27-07-2000
ng point Incoming (after filter) Lab. Analysis No : 00153GAS

ature(°F) 80
z (Psi) 25

| <u>Composition:</u> | <u>Mol %, Normalized</u> | |
|---|--------------------------|-------|
| n. | -N2 | 2.53 |
| g. | -Cl | 80.02 |
| Dioxide. | -CO2 | 6.28 |
| | -C2 | 6.01 |
| | -C3 | 3.60 |
| tane, | -iC4 | 0.49 |
| ne, | -nC4 | 0.71 |
| itane, | -iC5 | 0.17 |
| me, | -nC5 | 0.15 |
| s | -C6 | 0.03 |
| es plus, | -C7+ | 0.01 |
| nt Mol. Weight (dry, Calc.) | 20.67 | |
| Gravity (dry, Calc.) | 0.7134 | |
| eating Value, Btu/scf (dry, real gas); HHV | 1062 | |
| eating Value, Btu/scf (dry, real gas); LHV | 961 | |
| eating Value, Btu/scf (dry, ideal gas); HHV | 1059 | |
| eating Value, Btu/scf (dry, ideal gas); LHV | 958 | |
| Index | 49.0 | |
| ssibility factor at STP, Z | 0.9971 | |

Hydrogen sulfide content = 6 ppm

YS/EY/PSB

- L. Simanjuntak, Muslim T. -HCT North Area
- C Michael Walker, RHH Aritonang - TS Rbi
- Yushar Yusi M, Libo FMT
- Robert Sebesta J - Bekasap AMT
- Dionisius A. Kumboro - MGT

Approved by : Hadi Riyanto
Telp. 24341

tion & Operation - CGT Plant
Report
August 2000

| MW GENERATED | | | | FUEL CONSUMPTION | | | | | | FUEL MWH RATIO | | | GT. TRIP (TIMES) | | | | PEAK ON GAS | EMG S/D | N | | | | | | |
|---------------|--------------|-----------|-----------|------------------------|-------------|--------------|-------|---------------|-------|-----------------|-------------|----------------|------------------|-------------------|------------|------------|-------------|----------|--------------|--------|--------|-------|-------|-------|-------|
| | | | | DIST. (BBLs) | | CRUDE (BBLs) | | DIST. & CRUDE | | GAS | LIQ | GAS | | INSTR | HU | MAN | ER- | ROR | TOTAL | TEST | OTHERS | FINES | HOURS | TIMEs | TIMEs |
| | TOTAL LIQUID | GAS | TOTAL | GROSS | SIL SO. FNL | GROSS | GROSS | NETTO | MMacf | BBLs | MMacf | MWh | MMacf | INSTR | HU | MAN | ER- | ROR | TOTAL | TEST | OTHERS | FINES | HOURS | TIMEs | TIMEs |
| | 30.0 | 14,380.0 | 14,410.0 | 8.25 | | | 8.25 | 8.25 | 42.7 | 0.28 | 0.002966862 | 337.0428526 | 2 | | 2 | | | 3 | 4.58 | 1 | | | | | |
| | 30.0 | 14,552.0 | 14,582.0 | 8.00 | | | 8.00 | 8.00 | 43.7 | 0.27 | 0.002662216 | 349.3793600 | 1 | | 1 | | | 1 | 9.22 | 2 | | | | | |
| | 30.0 | 15,789.0 | 15,819.0 | 8.53 | | | 8.53 | 8.53 | 44.6 | 0.28 | 0.002628461 | 363.7962685 | 2 | | 2 | | | 6 | 27.63 | 1 | | | | | |
| | 25.0 | 15,134.5 | 15,159.5 | 6.86 | | | 6.86 | 6.86 | 44.9 | 0.27 | 0.002963824 | 337.4019083 | 1 | | 1 | | | 10 | 72.01 | 1 | | | | | |
| | 15.0 | 15,766.5 | 15,781.5 | 3.16 | | | 3.16 | 3.16 | 49.1 | 0.21 | 0.003116862 | 320.0355379 | 3 | | 3 | | | 7 | 23.72 | 3 | | | | | |
| | | 30,926.0 | 30,826.0 | | | | | | 91.0 | | 0.002941061 | 339.9208617 | 1 | | 1 | | | 9 | 5.93 | 2 | | | | | |
| | 130.0 | 106,554.0 | 106,684.0 | 34.80 | | | 34.80 | 34.80 | 313.9 | 0.27 | 0.017678209 | 2638.379799 | 10 | | 10 | | | 38 | 143.09 | 10 | | | | | |
| RUNNING HOURS | | | UNIT | UNIT UNAVAILABLE HOURS | | | | | | PERFORMANCE (%) | | | | GT. START (TIMES) | | | | SIU | F | | | | | | |
| | TOTAL LIQ | GAS | TOTAL | S / B HOURS | REPAIR | | F O | C I | H G P | M O | TOTAL | R | A | L | AT-TEMPT | FAILURE | | SUC-SESS | REAL-ITY (%) | F | | | | | |
| | | | | | UN SCHEDULE | SCHEDULE | | | | | | | | | BFR. FLAME | AFT. FLAME | | | | | | | | | |
| 0.18 | 743.88 | 744.06 | 54.78 | 54.78 | | | | | | | 54.78 | 93.56 | 93.58 | 87.17 | 1 | | | | 1 | 100.00 | 2 | | | | |
| 0.18 | 743.83 | 744.01 | 8.98 | 15.50 | | | | | | | 15.50 | 97.96 | 97.98 | 95.81 | 2 | | | | 2 | 100.00 | 3 | | | | |
| 0.18 | 720.13 | 720.31 | 14.37 | 9.00 | | | | | | | 9.00 | 98.79 | 98.79 | 95.86 | 1 | | | | 1 | 100.00 | 2 | | | | |
| 0.17 | 744.00 | 744.17 | 51.60 | 30.18 | | | | | | | 30.18 | 96.35 | 96.35 | 90.10 | 1 | | | | 1 | 100.00 | 7 | | | | |
| 0.08 | 744.00 | 744.08 | 62.60 | 51.60 | | | | | | | 51.60 | 93.99 | 93.99 | 86.69 | 5 | | | | 5 | 100.00 | 1 | | | | |
| | 742.43 | 742.43 | 160.48 | 41.79 | | | | | | | 41.79 | 95.56 | 95.56 | 78.53 | 1 | | | | 1 | 100.00 | 7 | | | | |
| 0.79 | 4,438.27 | 4,439.06 | 352.81 | 202.85 | | | | | | | 202.85 | 95.94 | 95.94 | 88.89 | 11 | | | | 11 | 100.00 | 41 | | | | |
| HOURS | | | | DISTILLATE TANK LEVEL | | | | | | FT | INCH | VOLUME | | REMARKS: | | | | | | | | F | | | |
| | | | | BEGINNING OF THE MONTH | | | | | | 19 | 10.75 | 1,371,592 LTRS | | | | | | | | | | | | | |
| | | | | END OF THE MONTH | | | | | | 19 | 9.75 | 1,405,944 LTRS | | | | | | | | | | | | | |
| | | | | DIFFERENCE | | | | | | 1 | | 34,352 LTRS | | | | | | | | | | | | | |
| | | | | ADDITIONAL | | | | | | 250.85 | BBLs | 39,885 LTRS | | | | | | | | | | | | | |
| | | | | DIST CONSUMPTION | | | | | | 34.80 | BBLs | 5,533 LTRS | | | | | | | | | | | | | |
| | | | | CRUDE CONSUMPTION | | | | | | | | | | | | | | | | | | | | | |
| | | | | CRUDE ADDITIONAL | | | | | | | | | | | | | | | | | | | | | |
| | | | | 5750 LITRES | | | | | | | | | | | | | | | | | | | | | |

$$R(\text{REALIBILITY}) = (PH)(URH + EOH)/PH$$

$$H(\text{HOURS}) = AVAILABILITY \times (PH)H/PH$$

$$P(\text{PAIR HOURS}) = USE \text{ FACTOR} \times PH/PH$$

Production & Operation - CGT Plant Current Month Report

| MW GENERATED | | | | FUEL CONSUMPTION | | | | | | FUEL MWH RATIO | | | GT, TRIP (TIMES) | | | | PEAK ON GAS | | EMG S/D | | | |
|--------------|-----------------------|-----------|--------|------------------|----------------|---------------|--------|--------|--------|----------------|-------------|-------------|--------------------------------|---------------------------|-------|------|-------------|------|---------|--------|------|--|
| | | | | DIST. (BBL/S) | CRUDE (BBL/S) | DIST. & CRUDE | GAS | LIQ | | | | | | | | | | | | | | |
| E | TOTAL ON LIQUID | GAS | TOTAL | GROSS | S/U, S/D, FSNL | GROSS | GROSS | NETTO | MMscf | BBL/S | MMscf | MWH | INSTR. & EQUIPT FAIL. | HU- MAN ERR- ROR | TOTAL | TEST | OTHERS | TIME | HOURS | TIME | TIME | |
| | | | | | | | | | /MWH | /MWH | /MWH | MMscf | | | | | | | | | | |
| 60.0 | 112,119.0 | 112,179.0 | 90.06 | | | | 90.86 | 90.86 | 72.2 | 1.51 | 0.003269352 | 3644.252299 | 3 | | | 3 | | | 16 | 29.06 | 2 | |
| 58.5 | 115,172.5 | 116,231.0 | 92.00 | | | | 92.00 | 92.00 | 71.4 | 1.57 | 0.003158061 | 3729.558621 | 3 | | | 3 | | | 9 | 18.44 | 4 | |
| 44.0 | 124,767.0 | 124,851.0 | 48.14 | | | | 48.14 | 48.14 | 71.0 | 1.09 | 0.003105295 | 3940.168119 | 5 | | | 5 | | | 32 | 85.75 | 3 | |
| 48.5 | 118,503.0 | 118,551.5 | 72.48 | | | | 72.48 | 72.48 | 74.8 | 1.49 | 0.003253098 | 3704.334267 | 3 | | | 3 | | | 20 | 122.01 | 2 | |
| 31.0 | 119,171.5 | 119,202.5 | 48.00 | | | | 48.00 | 48.00 | 81.7 | 1.58 | 0.003431329 | 3404.763928 | 4 | | | 4 | | | 29 | 45.20 | 6 | |
| | 248,275.0 | 248,375.0 | | | | | | | 151.5 | | 0.003220495 | 3628.806246 | 13 | | | 13 | | | 104 | 36.93 | 12 | |
| 242.0 | 838,028.0 | 838,270.0 | 352.38 | | | | 352.38 | 352.38 | 526.69 | 1.46 | 0.02 | 22,531.88 | 21 | | | 21 | | | 210 | 385.35 | 29 | |

YEAR TO CURRENT MONTH

| MW GENERATED | | | | FUEL CONSUMPTION | | | | | | FUEL MWH RATIO | | | GT. TRIP (TIMES) | | | | PEAK ON GAS | | END SID | | | | | | |
|--------------|-----------------------|---------|--------|------------------|-----|---------------|------|---------------|--------|----------------|-------|-------------|------------------|-------------|------------------------------|-------------------------|-------------|------|---------|------|-------|------|----|---|--|
| | | | | DIST. (BBLIS) | | CRUDE (BBLIS) | | DIST. & CRUDE | | | | | | | | | | | | | | | | | |
| E | TOTAL ON LIQUID | GAS | TOTAL | GROSS | ISU | SID | FSNL | GROSS | GROSS | NETTO | MWH/F | BBLIS | MMsd | MWH | INSTR. & EQUIP FAIL | HU- MAN ER ROR | TOTAL | TEST | OTHERS | IMES | HOURS | IMES | Y | | |
| 30 | 97,733 | 97,703 | 83 | | | | | 82.61 | 82.61 | 29,5015 | 2.75 | 0.00030237 | 3307.204841 | 1 | | | 1 | | | 13 | 24 | 1 | | | |
| 26.5 | 105,621 | 100,649 | 84 | | | | | 84.00 | 84.00 | 29,7678 | 2.95 | 0.000205542 | 3380.170254 | 2 | | | 2 | | | 9 | 5 | 2 | | | |
| 14 | 109,099 | 109,012 | 40 | | | | | 39.61 | 39.61 | 30,3823 | 2.83 | 0.000278834 | 3586.368916 | 3 | | | 3 | | | 24 | 56 | 2 | | | |
| 23.5 | 103,369 | 103,392 | 66 | | | | | 85.62 | 85.62 | 29,9010 | 2.79 | 0.000260274 | 3456.932359 | 2 | | | 2 | | | 10 | 56 | 1 | | | |
| 16 | 103,409 | 103,421 | 66 | | | | | 45.74 | 45.74 | 32,5705 | 2.86 | 0.000315067 | 3173.926391 | 1 | | | 1 | | | 22 | 61 | 3 | | | |
| | 217,349 | 217,349 | | | | | | | | | | 60,5617 | | 0.000278638 | 3588.805385 | 3 | | | 3 | | | 18 | 31 | 1 | |
| 112.0 | 731,474 | 731,586 | 317.58 | | | | | 317.58 | 317.58 | 212,7546 | 2.84 | 0.001760024 | 20493.50325 | 12 | | | 12 | | | 95 | 242 | 10 | | | |

G & T \ PG & O - CGT PLANT

DAILY GT OPERATION RECORD

Month of August 2000

| TIME | CGT # 1 | | | | CGT # 2 | | | | CGT # 3 | | | | CGT # 4 | | | |
|---------|---------|-------|------|----------|---------|------|------|----------|---------|-------|------|----------|---------|------|-------|----------|
| | MW | MVAR | KV | EXH TEMP | MW | MVAR | KV | EXH TEMP | MW | MVAR | KV | EXH TEMP | MW | MVAR | KV | EXH TEMP |
| 1 | 20.8 | 10.0 | 13.9 | 950 | 21.2 | 7.0 | 13.9 | 948 | 22.6 | 8.0 | 13.9 | 945 | 22.0 | 10.2 | 13.8 | 950 |
| 2 | 20.7 | 9.8 | 13.9 | 950 | 21.0 | 7.2 | 13.9 | 945 | 22.6 | 8.0 | 13.9 | 945 | 22.0 | 10.4 | 13.8 | 950 |
| 3 | 21.0 | 9.8 | 13.9 | 950 | 21.0 | 7.0 | 13.9 | 945 | 22.8 | 8.0 | 13.9 | 940 | 21.9 | 10.4 | 13.8 | 948 |
| 4 | 21.0 | 9.8 | 13.9 | 950 | 21.0 | 7.0 | 13.9 | 950 | 22.8 | 7.8 | 13.9 | 940 | 21.9 | 10.0 | 13.8 | 945 |
| 5 | 21.0 | 9.8 | 13.9 | 950 | 21.0 | 7.0 | 13.9 | 950 | 22.8 | 7.8 | 13.9 | 940 | 21.9 | 10.0 | 13.8 | 945 |
| 6 | 21.0 | 9.8 | 13.9 | 950 | 21.0 | 7.0 | 13.9 | 950 | 22.8 | 7.8 | 13.9 | 940 | 21.8 | 9.8 | 13.8 | 945 |
| 7 | 20.7 | 9.8 | 13.8 | 955 | 21.0 | 7.0 | 13.9 | 952 | 22.9 | 7.9 | 13.9 | 940 | 21.8 | 9.8 | 13.9 | 948 |
| 8 | 20.6 | 9.8 | 13.8 | 950 | 21.0 | 7.4 | 13.9 | 950 | 22.6 | 7.5 | 13.9 | 940 | 21.5 | 9.8 | 13.9 | 948 |
| 9 | 20.6 | 9.6 | 13.8 | 950 | 20.8 | 7.2 | 13.9 | 952 | 22.4 | 6.5 | 13.9 | 940 | 21.4 | 9.4 | 13.9 | 950 |
| 10 | 20.1 | 9.6 | 13.8 | 950 | 20.4 | 7.0 | 13.9 | 952 | 22.0 | 7.1 | 13.9 | 940 | 21.1 | 9.5 | 13.9 | 950 |
| 11 | 20.0 | 9.6 | 13.8 | 952 | 20.2 | 7.0 | 13.9 | 952 | 21.8 | 7.6 | 13.9 | 945 | 21.0 | 9.5 | 13.9 | 950 |
| 12 | 19.6 | 9.4 | 13.8 | 952 | 20.0 | 7.0 | 13.9 | 955 | 21.5 | 7.6 | 13.9 | 948 | 20.5 | 9.6 | 13.9 | 952 |
| 13 | 19.4 | 9.4 | 13.8 | 952 | 19.9 | 7.0 | 13.9 | 955 | 21.4 | 7.8 | 13.9 | 948 | 20.5 | 10.0 | 13.9 | 950 |
| 14 | 19.4 | 9.4 | 13.8 | 950 | 19.8 | 6.6 | 13.9 | 952 | 21.3 | 7.8 | 13.9 | 945 | 20.5 | 9.8 | 13.9 | 950 |
| 15 | 19.2 | 9.4 | 13.8 | 952 | 19.6 | 8.0 | 13.9 | 955 | 21.0 | 8.2 | 13.9 | 950 | 20.2 | 9.5 | 13.9 | 952 |
| 16 | 19.6 | 9.8 | 13.8 | 952 | 19.4 | 8.2 | 13.9 | 955 | 21.0 | 8.8 | 13.9 | 945 | 20.0 | 10.0 | 13.9 | 940 |
| 17 | 19.4 | 10.0 | 13.8 | 952 | 19.8 | 8.8 | 13.9 | 955 | 21.3 | 9.2 | 13.9 | 950 | 20.2 | 9.8 | 13.9 | 955 |
| 18 | 19.6 | 9.9 | 13.8 | 950 | 19.8 | 9.2 | 13.9 | 955 | 21.4 | 9.4 | 13.9 | 950 | 20.2 | 10.2 | 13.9 | 955 |
| 19 | 19.8 | 10.0 | 13.8 | 950 | 20.0 | 9.0 | 13.9 | 955 | 21.6 | 9.7 | 13.9 | 950 | 20.5 | 10.3 | 13.9 | 952 |
| 20 | 20.0 | 10.1 | 13.8 | 950 | 20.2 | 8.8 | 13.9 | 955 | 21.8 | 10.0 | 13.9 | 950 | 20.7 | 10.5 | 13.9 | 950 |
| 21 | 20.0 | 10.1 | 13.8 | 950 | 20.2 | 8.8 | 13.9 | 955 | 21.8 | 9.8 | 13.9 | 945 | 20.7 | 10.4 | 13.9 | 950 |
| 22 | 20.0 | 10.1 | 13.8 | 950 | 20.2 | 8.8 | 13.9 | 955 | 21.8 | 9.4 | 13.9 | 940 | 20.6 | 10.4 | 13.9 | 945 |
| 23 | 19.8 | 10.0 | 13.8 | 945 | 20.2 | 8.7 | 13.9 | 945 | 21.4 | 9.8 | 13.9 | 930 | 20.2 | 10.2 | 13.9 | 930 |
| 24 | 19.8 | 10.0 | 13.8 | 930 | 20.2 | 8.2 | 13.9 | 935 | 21.4 | 9.8 | 13.9 | 920 | 20.2 | 10.2 | 13.9 | 920 |
| TOTAL | | 235.0 | | | 184.9 | | | | | 201.3 | | | | | 239.7 | |
| AVERAGE | 20.1 | 9.8 | 13.8 | 950 | 20.4 | 7.7 | 13.9 | 951 | 22.0 | 8.4 | 13.9 | 943 | 21.0 | 10.0 | 13.9 | 947 |
| MAX | | | 13.9 | 955 | | | 13.9 | 955 | | | 13.9 | 950 | | | 13.9 | 955 |

| CGT # 5 | | | | CGT # 6 | | | | FREQ | GAS PRESSURE | | | | |
|---------|-------|------|----------|---------|------|------|----------|-------|--------------|-------------|------|-------|-----|
| MW | MVAR | KV | EXH TEMP | MW | MVAR | KV | EXH TEMP | (HZ) | INCOM | PLANT INLET | LIBO | PAGAR | PGN |
| 22.3 | 8.2 | 13.8 | 920 | 46.4 | 14.5 | 13.8 | 951 | 60.00 | 266 | 253 | | | |
| 22.3 | 8.2 | 13.8 | 920 | 46.1 | 14.5 | 13.8 | 950 | 60.00 | 266 | 253 | | | |
| 22.3 | 8.2 | 13.8 | 920 | 46.2 | 14.5 | 13.8 | 950 | 60.00 | 265 | 253 | | | |
| 22.3 | 8.3 | 13.8 | 920 | 46.0 | 14.6 | 13.8 | 940 | 60.01 | 267 | 253 | | | |
| 22.3 | 8.3 | 13.8 | 920 | 45.3 | 14.6 | 13.8 | 938 | 60.01 | 267 | 253 | | | |
| 22.3 | 8.3 | 13.8 | 920 | 45.3 | 14.6 | 13.8 | 938 | 60.01 | 267 | 253 | 275 | 272 | 277 |
| 22.2 | 8.3 | 13.9 | 920 | 45.1 | 14.5 | 13.8 | 916 | 60.02 | 267 | 251 | | | |
| 22.2 | 8.6 | 13.9 | 920 | 43.6 | 14.5 | 13.8 | 914 | 60.01 | 267 | 252 | | | |
| 22.2 | 8.4 | 13.9 | 920 | 43.3 | 14.8 | 13.8 | 919 | 60.01 | 267 | 252 | | | |
| 21.6 | 8.2 | 13.9 | 920 | 42.9 | 14.5 | 13.8 | 928 | 59.98 | 265 | 250 | 272 | 270 | 275 |
| 21.7 | 8.4 | 13.9 | 920 | 43.0 | 14.8 | 13.8 | 926 | 60.01 | 264 | 248 | | | |
| 21.7 | 8.4 | 13.9 | 925 | 42.1 | 14.0 | 13.8 | 922 | 60.01 | 264 | 246 | | | |
| 21.4 | 8.6 | 13.9 | 922 | 42.5 | 15.0 | 13.8 | 925 | 60.02 | 263 | 247 | | | |
| 21.0 | 8.4 | 13.9 | 920 | 43.5 | 14.9 | 13.8 | 936 | 60.01 | 267 | 251 | 272 | 268 | 273 |
| 21.3 | 8.4 | 13.9 | 922 | 43.3 | 14.7 | 13.8 | 939 | 60.00 | 264 | 250 | | | |
| 21.2 | 8.5 | 13.9 | 922 | 42.5 | 14.8 | 13.8 | 931 | 60.02 | 264 | 251 | | | |
| 21.2 | 8.6 | 13.9 | 922 | 43.3 | 14.8 | 13.8 | 941 | 60.01 | 264 | 251 | | | |
| 21.8 | 8.6 | 13.9 | 922 | 42.6 | 14.9 | 13.8 | 926 | 60.01 | 265 | 252 | 271 | 269 | 274 |
| 22.0 | 8.7 | 13.9 | 922 | 46.1 | 14.9 | 13.8 | 950 | 60.01 | 267 | 253 | | | |
| 22.2 | 8.9 | 13.9 | 920 | 46.8 | 14.9 | 13.8 | 951 | 60.02 | 268 | 254 | | | |
| 22.0 | 8.8 | 13.9 | 910 | 45.0 | 14.9 | 13.8 | 930 | 60.02 | 269 | 255 | | | |
| 21.8 | 8.8 | 13.9 | 900 | 44.1 | 14.9 | 13.8 | 925 | 60.02 | 269 | 256 | | | |
| 21.8 | 8.8 | 13.9 | 900 | 44.4 | 14.7 | 13.8 | 931 | 60.01 | 269 | 257 | | | |
| 21.8 | 8.6 | 13.9 | 900 | 45.5 | 14.5 | 13.8 | 934 | 60.02 | 268 | 257 | | | |
| | 203.5 | | | 352.3 | | | | | | | | | |
| 21.9 | 8.5 | 13.9 | 918 | 44.4 | 14.7 | 13.8 | 934 | 60.01 | 263 | 246 | 271 | 268 | 273 |
| | | 13.9 | 925 | | | 13.8 | 951 | 60.02 | 269 | 257 | 275 | 272 | 277 |

0:00

| | | | | | | | | | |
|-----------|--------|--|--------|--|--------|--|--------|--|--------|
| DOWN | | | | | | | | | |
| EAT | | | | | | | | | |
| WN AT | | | | | | | | | |
| AL | TIMES | | TIMES | | TIMES | | TIMES | | TIMES |
| CE | TIMES | | TIMES | | TIMES | | TIMES | | TIMES |
| RT UP | | | | | | | | | |
| P AT | | | | | | | | | |
| EAT | | | | | | | | | |
| IPT | TIMES | | TIMES | | TIMES | | TIMES | | TIMES |
| FLAME MAN | TIMES | | TIMES | | TIMES | | TIMES | | TIMES |
| LAME AUTO | TIMES | | TIMES | | TIMES | | TIMES | | TIMES |
| LAME MAN | TIMES | | TIMES | | TIMES | | TIMES | | TIMES |
| AME AUTO | TIMES | | TIMES | | TIMES | | TIMES | | TIMES |
| ELL | | | | | | | | | |
| | 17 | | 17 | | 17 | | 17 | | 17 |
| R | 9.3 | | 9 | | 9 | | 9.8 | | 8 |
| TSHELL | 25 LBS | | 25 LBS | | 25 LBS | | 25 LBS | | LBS |
| EMP | 75 °F | | 74 °F | | 76 °F | | 77 °F | | °F |
| LEASE | 2 PSIG | | 3 PSIG | | 1 PSIG | | 1 PSIG | | PSIG |
| DOWN | 33 °F | | 46 °F | | 18 °F | | 15 °F | | °F |
| BEFORE | | | | | | | | | |
| | 19.6 | | 19.7 | | 22.1 | | 21.4 | | 21.3 |
| EMP | 957 °F | | 955 °F | | 950 °F | | 956 °F | | 929 °F |
| AFTER | | | | | | | | | |
| | 20.7 | | 21.4 | | 22.6 | | 21.8 | | 22.3 |
| EMP | 953 °F | | 946 °F | | 948 °F | | 954 °F | | 924 °F |
| GAS | | | | | | | | | |
| R | | | | | | | | | |
| EMP | °F | | °F | | °F | | °F | | °F |
| HIGHEST | °F | | °F | | °F | | °F | | °F |
| IMES | | | | | | | | | |
| OURS | HRS | | HRS | | HRS | | HRS | | HRS |
| ONSUMP. | DRUMS | | DRUMS | | DRUMS | | DRUMS | | DRUMS |

PG & T \ PG & O - CGT PLANT
DAILY GT OPERATION RECORD
Month of August 2000

| TIME | CGT # 1 | | | | CGT # 2 | | | | CGT # 3 | | | | CGT # 4 | | | |
|---------|---------|-------|------|----------|---------|------|------|----------|---------|------|------|----------|---------|-------|------|----------|
| | MW | MVAR | KV | EXH TEMP | MW | MVAR | KV | EXH TEMP | MW | MVAR | KV | EXH TEMP | MW | MVAR | KV | EXH TEMP |
| 1 | 19.8 | 10.2 | 13.8 | 950 | 19.8 | 6.0 | 13.8 | 955 | 22.2 | 9.2 | 13.8 | 945 | 21.4 | 9.8 | 13.8 | 945 |
| 2 | 19.8 | 10.2 | 13.8 | 950 | 19.8 | 6.0 | 13.8 | 955 | 22.2 | 9.2 | 13.8 | 945 | 21.4 | 9.8 | 13.8 | 945 |
| 3 | 19.8 | 10.0 | 13.8 | 950 | 19.8 | 6.0 | 13.8 | 955 | 22.2 | 8.8 | 13.8 | 945 | 21.4 | 9.6 | 13.8 | 945 |
| 4 | 19.8 | 10.0 | 13.8 | 950 | 19.8 | 7.2 | 13.8 | 955 | 22.2 | 8.8 | 13.8 | 945 | 21.4 | 9.6 | 13.8 | 945 |
| 5 | 20.0 | 10.0 | 13.8 | 950 | 19.8 | 7.8 | 13.8 | 955 | 22.2 | 8.8 | 13.8 | 945 | 21.4 | 9.8 | 13.8 | 945 |
| 6 | 20.0 | 10.0 | 13.8 | 950 | 19.8 | 7.8 | 13.8 | 955 | 22.2 | 8.8 | 13.8 | 945 | 21.4 | 9.8 | 13.8 | 945 |
| 7 | 19.7 | 10.0 | 13.8 | 955 | 19.8 | 7.6 | 13.8 | 958 | 22.2 | 9.0 | 13.8 | 940 | 21.6 | 9.9 | 13.8 | 950 |
| 8 | 19.7 | 9.5 | 13.8 | 950 | 19.8 | 8.0 | 13.8 | 950 | 22.0 | 9.0 | 13.8 | 940 | 21.3 | 9.8 | 13.8 | 950 |
| 9 | 20.8 | 9.5 | 13.8 | 950 | 20.6 | 8.4 | 13.8 | 950 | 22.0 | 9.0 | 13.8 | 940 | 21.0 | 9.8 | 13.8 | 950 |
| 10 | 20.6 | 9.8 | 13.8 | 950 | 21.0 | 8.8 | 13.8 | 950 | 22.0 | 9.0 | 13.8 | 940 | 21.0 | 10.0 | 13.8 | 950 |
| 11 | 20.6 | 9.8 | 13.8 | 950 | 21.0 | 8.8 | 13.8 | 950 | 22.4 | 9.0 | 13.8 | 940 | 21.2 | 10.0 | 13.8 | 950 |
| 12 | 20.4 | 9.6 | 13.8 | 950 | 20.8 | 9.0 | 13.8 | 950 | 22.2 | 9.0 | 13.8 | 940 | 21.2 | 10.2 | 13.8 | 950 |
| 13 | 20.2 | 9.2 | 13.8 | 955 | 20.5 | 9.2 | 13.8 | 950 | 22.0 | 8.8 | 13.8 | 945 | 21.0 | 10.0 | 13.8 | 950 |
| 14 | 20.0 | 9.0 | 13.8 | 955 | 20.4 | 9.5 | 13.8 | 955 | 22.0 | 8.6 | 13.8 | 945 | 21.0 | 9.8 | 13.8 | 950 |
| 15 | 20.0 | 9.0 | 13.8 | 955 | 20.2 | 10.0 | 13.8 | 955 | 21.8 | 8.6 | 13.8 | 945 | 20.7 | 9.8 | 13.8 | 950 |
| 16 | 20.1 | 9.2 | 13.8 | 955 | 20.3 | 10.2 | 13.8 | 953 | 21.8 | 8.9 | 13.8 | 940 | 21.0 | 10.5 | 13.8 | 945 |
| 17 | 20.0 | 9.5 | 13.8 | 955 | 20.4 | 9.6 | 13.8 | 955 | 22.0 | 9.2 | 13.8 | 940 | 21.0 | 10.8 | 13.8 | 950 |
| 18 | 20.0 | 9.5 | 13.8 | 950 | 20.4 | 10.0 | 13.8 | 955 | 22.0 | 8.8 | 13.8 | 940 | 21.0 | 10.5 | 13.8 | 950 |
| 19 | 20.0 | 9.8 | 13.8 | 950 | 20.6 | 10.0 | 13.8 | 950 | 22.2 | 9.2 | 13.8 | 945 | 21.2 | 10.8 | 13.8 | 950 |
| 20 | 20.2 | 10.0 | 13.8 | 950 | 20.6 | 10.0 | 13.8 | 950 | 22.2 | 9.4 | 13.8 | 945 | 21.4 | 10.8 | 13.8 | 945 |
| 21 | 20.4 | 10.0 | 13.8 | 950 | 20.6 | 9.6 | 13.8 | 950 | 22.4 | 9.4 | 13.8 | 940 | 21.4 | 10.6 | 13.8 | 945 |
| 22 | 20.4 | 10.0 | 13.8 | 950 | 20.8 | 9.8 | 13.8 | 950 | 22.4 | 9.2 | 13.8 | 940 | 21.4 | 10.6 | 13.8 | 945 |
| 23 | 20.4 | 9.8 | 13.8 | 950 | 21.0 | 9.6 | 13.8 | 950 | 22.6 | 9.2 | 13.8 | 940 | 21.6 | 10.6 | 13.8 | 945 |
| 24 | 20.6 | 9.8 | 13.8 | 950 | 20.8 | 9.2 | 13.8 | 950 | 22.4 | 9.2 | 13.8 | 940 | 20.6 | 10.8 | 13.8 | 930 |
| TOTAL | | 233.4 | | | 208.1 | | | | 216.1 | | | | | 243.7 | | |
| AVERAGE | 20.1 | 9.7 | 13.8 | 951 | 20.4 | 8.7 | 13.8 | 953 | 22.2 | 9.0 | 13.8 | 942 | 21.2 | 10.2 | 13.8 | 947 |
| MAX | | | 13.8 | 955 | | | 13.8 | 958 | | | 13.8 | 945 | | | 13.8 | 950 |

| CGT # 5 | | | | CGT # 6 | | | | FREQ | GAS PRESSURE | | | | |
|---------|-------|------|----------|---------|------|------|----------|-------|--------------|-------------|------|-------|-----|
| MW | MVAR | KV | EXH TEMP | MW | MVAR | KV | EXH TEMP | (HZ) | INCOM | PLANT INLET | LIVO | PAGAR | PGN |
| 22.6 | 8.4 | 13.9 | 920 | 45.5 | 14.3 | 13.8 | 935 | 60.04 | 260 | 250 | | | |
| 22.5 | 8.3 | 13.9 | 918 | 45.6 | 14.2 | 13.8 | 930 | 60.02 | 260 | 250 | | | |
| 22.8 | 8.3 | 13.9 | 918 | 45.4 | 14.2 | 13.8 | 928 | 60.04 | 260 | 250 | | | |
| 22.7 | 8.3 | 13.9 | 920 | 45.3 | 14.3 | 13.8 | 920 | 60.02 | 260 | 250 | | | |
| 22.7 | 8.3 | 13.9 | 920 | 46.4 | 14.5 | 13.8 | 937 | 60.04 | 262 | 250 | | | |
| 22.6 | 8.3 | 13.9 | 920 | 45.8 | 14.3 | 13.8 | 916 | 60.01 | 262 | 250 | 268 | 271 | 275 |
| 22.8 | 8.3 | 13.9 | 920 | 46.2 | 14.4 | 13.8 | 919 | 60.00 | 262 | 250 | | | |
| 22.6 | 8.2 | 13.9 | 920 | 43.1 | 14.2 | 13.8 | 902 | 60.01 | 262 | 250 | | | |
| 22.3 | 7.9 | 13.9 | 920 | 42.5 | 14.2 | 13.8 | 906 | 60.02 | 261 | 249 | | | |
| 22.1 | 8.1 | 13.9 | 920 | 43.1 | 13.9 | 13.8 | 909 | 60.01 | 261 | 250 | 270 | 268 | 274 |
| 22.0 | 8.6 | 13.9 | 920 | 43.7 | 13.7 | 13.8 | 920 | 60.01 | 261 | 250 | | | |
| 21.9 | 8.5 | 13.9 | 920 | 42.8 | 13.8 | 13.8 | 923 | 60.03 | 262 | 250 | | | |
| 21.6 | 8.9 | 13.9 | 920 | 42.9 | 14.1 | 13.8 | 922 | 60.00 | 262 | 250 | | | |
| 21.6 | 8.9 | 13.9 | 922 | 43.1 | 14.1 | 13.8 | 927 | 60.01 | 263 | 250 | 268 | 267 | 272 |
| 21.2 | 8.9 | 13.9 | 922 | 42.9 | 14.4 | 13.8 | 935 | 60.01 | 262 | 249 | | | |
| 21.5 | 9.3 | 13.9 | 920 | 43.4 | 14.7 | 13.8 | 941 | 60.02 | 267 | 252 | | | |
| 21.4 | 9.3 | 13.9 | 920 | 43.2 | 14.6 | 13.8 | 934 | 60.02 | 264 | 250 | | | |
| 21.6 | 9.4 | 13.9 | 920 | 43.1 | 14.8 | 13.8 | 930 | 59.98 | 265 | 250 | 270 | 269 | 274 |
| 21.8 | 9.6 | 13.9 | 920 | 44.2 | 14.8 | 13.8 | 920 | 60.00 | 267 | 252 | | | |
| 22.0 | 9.7 | 13.9 | 920 | 43.3 | 14.8 | 13.8 | 916 | 60.01 | 268 | 253 | | | |
| 22.0 | 9.7 | 13.9 | 920 | 42.5 | 14.7 | 13.8 | 913 | 60.00 | 268 | 254 | | | |
| 22.1 | 9.7 | 13.9 | 920 | 42.5 | 14.7 | 13.8 | 910 | 60.00 | 268 | 254 | | | |
| 22.2 | 9.0 | 13.9 | 920 | 42.1 | 14.6 | 13.8 | 905 | 60.03 | 268 | 255 | | | |
| 22.3 | 9.0 | 13.9 | 920 | 42.8 | 14.6 | 13.8 | 905 | 60.04 | 268 | 255 | | | |
| | 210.9 | | | 344.9 | | | | | | | | | |
| 22.1 | 8.8 | 13.9 | 920 | 43.8 | 14.4 | 13.8 | 921 | 60.01 | 260 | 249 | 268 | 267 | 272 |
| | | 13.9 | 922 | | | 13.8 | 941 | 60.04 | 268 | 255 | 270 | 271 | 275 |

00:00

PG & T \ PG & O - CGT PLANT

DAILY GT OPERATION RECORD

Month of August 2000

| TIME | CGT # 1 | | | | CGT # 2 | | | | CGT # 3 | | | | CGT # 4 | | | |
|---------|---------|-------|------|----------|---------|------|------|----------|---------|------|------|----------|---------|------|------|----------|
| | MW | MVAR | KV | EXH TEMP | MW | MVAR | KV | EXH TEMP | MW | MVAR | KV | EXH TEMP | MW | MVAR | KV | EXH TEMP |
| 1 | 20.4 | 9.8 | 13.8 | 950 | 20.6 | 8.0 | 13.8 | 950 | 22.2 | 9.6 | 13.8 | 940 | 21.2 | 8.8 | 13.8 | 950 |
| 2 | 20.4 | 9.8 | 13.8 | 950 | 20.6 | 8.0 | 13.8 | 950 | 22.2 | 9.6 | 13.8 | 940 | 21.2 | 9.5 | 13.8 | 950 |
| 3 | 20.5 | 9.8 | 13.8 | 950 | 20.6 | 8.0 | 13.8 | 950 | 22.4 | 9.6 | 13.8 | 940 | 21.4 | 9.5 | 13.8 | 950 |
| 4 | 20.6 | 9.8 | 13.8 | 950 | 20.8 | 8.0 | 13.8 | 950 | 22.6 | 9.5 | 13.8 | 945 | 21.4 | 9.6 | 13.8 | 950 |
| 5 | 20.6 | 9.8 | 13.8 | 950 | 20.8 | 8.0 | 13.8 | 950 | 22.4 | 9.8 | 13.8 | 945 | 21.2 | 9.6 | 13.8 | 950 |
| 6 | 20.5 | 9.7 | 13.8 | 950 | 20.8 | 8.0 | 13.8 | 950 | 22.4 | 9.5 | 13.8 | 945 | 21.2 | 9.6 | 13.8 | 950 |
| 7 | 20.4 | 9.8 | 13.8 | 950 | 20.8 | 8.2 | 13.8 | 950 | 22.4 | 9.5 | 13.8 | 945 | 21.2 | 9.8 | 13.8 | 950 |
| 8 | 20.5 | 9.8 | 13.8 | 950 | 20.8 | 8.0 | 13.8 | 950 | 22.4 | 9.5 | 13.8 | 940 | 21.4 | 9.6 | 13.8 | 950 |
| 9 | 20.0 | 9.4 | 13.8 | 950 | 20.2 | 8.0 | 13.8 | 950 | 21.9 | 9.4 | 13.8 | 945 | 21.0 | 9.5 | 13.8 | 950 |
| 10 | 20.0 | 9.8 | 13.8 | 955 | 20.2 | 8.4 | 13.8 | 955 | 21.6 | 9.6 | 13.8 | 948 | 20.8 | 10.2 | 13.8 | 950 |
| 11 | 20.0 | 9.8 | 13.8 | 952 | 20.2 | 8.8 | 13.8 | 952 | 21.9 | 9.6 | 13.8 | 945 | 21.0 | 10.2 | 13.8 | 950 |
| 12 | 19.8 | 9.6 | 13.8 | 950 | 20.3 | 8.6 | 13.8 | 950 | 21.9 | 9.8 | 13.8 | 945 | 20.9 | 10.2 | 13.8 | 950 |
| 13 | 19.8 | 9.4 | 13.8 | 950 | 20.2 | 8.2 | 13.8 | 950 | 21.7 | 9.6 | 13.8 | 947 | 20.9 | 10.0 | 13.8 | 950 |
| 14 | 20.4 | 9.2 | 13.8 | 950 | 20.8 | 8.8 | 13.8 | 950 | 22.6 | 9.4 | 13.8 | 945 | 21.7 | 9.4 | 13.8 | 945 |
| 15 | 20.2 | 9.3 | 13.8 | 950 | 20.6 | 8.6 | 13.8 | 950 | 22.6 | 9.8 | 13.8 | 945 | 21.7 | 10.0 | 13.8 | 945 |
| 16 | 20.2 | 9.6 | 13.8 | 955 | 20.6 | 8.0 | 13.8 | 955 | 22.2 | 10.0 | 13.8 | 945 | 21.2 | 10.0 | 13.8 | 950 |
| 17 | 20.5 | 9.7 | 13.8 | 955 | 20.6 | 8.8 | 13.8 | 952 | 22.0 | 9.4 | 13.8 | 945 | 21.0 | 10.2 | 13.8 | 950 |
| 18 | 20.5 | 9.8 | 13.8 | 955 | 20.6 | 8.8 | 13.8 | 955 | 22.0 | 9.7 | 13.8 | 945 | 21.2 | 10.2 | 13.8 | 950 |
| 19 | 20.6 | 9.8 | 13.8 | 955 | 20.6 | 8.8 | 13.8 | 955 | 22.0 | 9.7 | 13.8 | 945 | 21.2 | 10.2 | 13.8 | 950 |
| 20 | 20.7 | 9.8 | 13.8 | 952 | 20.8 | 8.8 | 13.8 | 955 | 22.2 | 9.8 | 13.8 | 940 | 21.5 | 10.4 | 13.8 | 950 |
| 21 | 20.7 | 9.9 | 13.8 | 950 | 20.8 | 8.8 | 13.8 | 952 | 22.4 | 9.9 | 13.8 | 940 | 21.6 | 10.4 | 13.8 | 940 |
| 22 | 20.6 | 9.9 | 13.8 | 950 | 20.8 | 9.0 | 13.8 | 950 | 22.5 | 9.9 | 13.8 | 940 | 21.4 | 10.0 | 13.8 | 940 |
| 23 | 20.6 | 9.9 | 13.8 | 950 | 20.8 | 9.0 | 13.8 | 950 | 22.5 | 9.9 | 13.8 | 940 | 21.4 | 10.0 | 13.8 | 940 |
| 24 | 20.6 | 9.9 | 13.8 | 950 | 20.8 | 9.0 | 13.8 | 950 | 22.5 | 9.9 | 13.8 | 940 | 21.4 | 10.0 | 13.8 | 940 |
| TOTAL | | 223.3 | | | 202.6 | | | | 232.0 | | | | 236.9 | | | |
| AVERAGE | 20.4 | 9.7 | 13.8 | 951 | 20.6 | 8.4 | 13.8 | 951 | 22.2 | 9.7 | 13.8 | 943 | 21.3 | 9.9 | 13.8 | 948 |
| MAX | | | 13.8 | 955 | | | 13.8 | 955 | | | 13.8 | 948 | | | 13.8 | 950 |

| CGT # 5 | | | | CGT # 6 | | | | FREQ | GAS PRESSURE | | | | |
|---------|-------|------|----------|---------|-------|------|----------|-------|--------------|-------------|-----|-------|-----|
| MW | MVAR | KV | EXH TEMP | MW | MVAR | KV | EXH TEMP | (HZ) | INCOM | PLANT INLET | LBO | PAGAR | PGN |
| 21.8 | 8.0 | 13.8 | 922 | 46.1 | 15.0 | 13.8 | 937 | 60.02 | 267 | 252 | | | |
| 21.8 | 8.0 | 13.8 | 922 | 46.1 | 15.0 | 13.8 | 935 | 60.02 | 266 | 250 | | | |
| 21.8 | 8.0 | 13.8 | 922 | 46.0 | 15.0 | 13.8 | 930 | 60.01 | 266 | 250 | | | |
| 21.8 | 8.0 | 13.8 | 922 | 46.0 | 15.0 | 13.8 | 930 | 60.06 | 266 | 250 | | | |
| 21.8 | 8.5 | 13.8 | 922 | 46.0 | 15.0 | 13.8 | 932 | 60.06 | 266 | 250 | | | |
| 21.8 | 8.5 | 13.8 | 922 | 45.3 | 14.7 | 13.8 | 935 | 60.06 | 266 | 250 | 269 | 270 | 276 |
| 21.8 | 8.8 | 13.8 | 922 | 46.3 | 14.7 | 13.8 | 939 | 60.06 | 266 | 250 | | | |
| 21.6 | 8.4 | 13.8 | 925 | 46.0 | 14.5 | 13.8 | 937 | 60.00 | 265 | 250 | | | |
| 21.6 | 8.4 | 13.8 | 925 | 46.0 | 14.3 | 13.8 | 939 | 60.00 | 265 | 250 | | | |
| 22.0 | 8.4 | 13.8 | 925 | 46.0 | 14.2 | 13.8 | 938 | 60.02 | 265 | 250 | 270 | 268 | 274 |
| 22.2 | 8.2 | 13.8 | 925 | 46.1 | 14.5 | 13.8 | 938 | 60.03 | 265 | 250 | | | |
| 22.1 | 8.0 | 13.8 | 925 | 46.2 | 14.1 | 13.8 | 951 | 60.01 | 263 | 250 | | | |
| 22.0 | 7.8 | 13.8 | 925 | 46.4 | 14.0 | 13.8 | 955 | 60.00 | 262 | 250 | | | |
| 21.8 | 7.8 | 13.8 | 925 | 46.0 | 14.0 | 13.8 | 960 | 60.00 | 262 | 250 | 270 | 267 | 272 |
| 21.7 | 7.6 | 13.8 | 925 | 46.0 | 14.0 | 13.8 | 962 | 59.99 | 262 | 250 | | | |
| 21.8 | 7.6 | 13.8 | 925 | 46.0 | 14.1 | 13.8 | 962 | 60.00 | 260 | 250 | | | |
| 21.8 | 7.3 | 13.8 | 925 | 46.1 | 14.3 | 13.8 | 966 | 60.00 | 262 | 250 | | | |
| 21.9 | 8.5 | 13.8 | 925 | 46.2 | 14.5 | 13.8 | 961 | 59.98 | 265 | 252 | 273 | 270 | 274 |
| 22.0 | 8.6 | 13.8 | 925 | 46.0 | 14.7 | 13.8 | 955 | 59.98 | 265 | 255 | | | |
| 22.0 | 8.6 | 13.8 | 922 | 46.7 | 14.8 | 13.8 | 952 | 60.00 | 266 | 255 | | | |
| 22.0 | 8.6 | 13.8 | 922 | 46.4 | 14.8 | 13.8 | 952 | 60.00 | 265 | 253 | | | |
| 22.0 | 8.6 | 13.8 | 920 | 46.6 | 14.7 | 13.8 | 950 | 60.00 | 265 | 253 | | | |
| 22.2 | 8.6 | 13.8 | 920 | 45.7 | 14.6 | 13.8 | 950 | 60.02 | 265 | 254 | | | |
| 22.3 | 8.2 | 13.8 | 920 | 46.7 | 14.5 | 13.8 | 952 | 60.02 | 267 | 254 | | | |
| | 197.0 | | | | 349.0 | | | | | | | | |
| 21.9 | 8.2 | 13.8 | 923 | 46.1 | 14.5 | 13.8 | 947 | 60.01 | 260 | 250 | 269 | 267 | 272 |
| | | 13.8 | 925 | | | 13.8 | 966 | 60.06 | 267 | 255 | 273 | 270 | 276 |

0:00

| | | | | | | | | |
|---------------|--------|--|--------|--|--------|--|----------|--|
| HUT DOWN | | | | | | | | |
| LINE AT | | | | | | | | |
| DOWN AT | | | | | | | | |
| NORMAL | TIMES | | TIMES | | TIMES | | TIMES | |
| FORCE | TIMES | | TIMES | | TIMES | | TIMES | |
| START UP | | | | | | | | |
| UP AT | | | | | | | | |
| LINE AT | | | | | | | | |
| TEMPT | TIMES | | TIMES | | TIMES | | TIMES | |
| RE FLAME MAN | TIMES | | TIMES | | TIMES | | TIMES | |
| RE FLAME AUTO | TIMES | | TIMES | | TIMES | | TIMES | |
| ER FLAME MAN | TIMES | | TIMES | | TIMES | | TIMES | |
| ER FLAME AUTO | TIMES | | TIMES | | TIMES | | TIMES | |
| TSHELL | | | | | | | | |
| MW | 17 | | 17 | | 17 | | 17 | |
| IVAR | 11.7 | | 8.5 | | 12.5 | | 11.8 | |
| NUTSHELL | 25 LBS | | 25 LBS | | 25 LBS | | 25 LBS | |
| B TEMP | 80 °F | | 80 °F | | 80 °F | | 80 °F | |
| INCREASE | 1 PSIG | | 1 PSIG | | 1 PSIG | | 0.5 PSIG | |
| EMP DOWN | 20 °F | | 21 °F | | 37 °F | | 10 °F | |
| OAD BEFORE | | | | | | | | |
| MW | 19.7 | | 20.9 | | 22 | | 21 | |
| H TEMP | 957 °F | | 948 °F | | 952 °F | | 959 °F | |
| OAD AFTER | | | | | | | | |
| MW | 20.6 | | 21.3 | | 22.7 | | 21.6 | |
| H TEMP | 956 °F | | 946 °F | | 951 °F | | 958 °F | |
| K ON GAS | | | | | | | | |
| MW | | | | | | | | |
| IVAR | | | | | | | | |
| B TEMP | °F | | °F | | °F | | °F | |
| MP HIGHEST | °F | | °F | | °F | | °F | |
| AK TIMES | | | | | | | | |
| AK HOURS | HRS | | HRS | | HRS | | HRS | |
| IL CONSUMP. | DRUMS | | DRUMS | | DRUMS | | DRUMS | |

& T \ PG & O - CGT PLANT

ILY GT OPERATION RECORD

Month of August 2000

| TIME | CGT # 1 | | | | CGT # 2 | | | | CGT # 3 | | | | CGT # 4 | | | |
|---------|---------|-------|------|----------|---------|------|------|----------|---------|------|------|----------|---------|-------|------|----------|
| | MW | MVAR | KV | EXH TEMP | MW | MVAR | KV | EXH TEMP | MW | MVAR | KV | EXH TEMP | MW | MVAR | KV | EXH TEMP |
| 1 | 20.2 | 10.0 | 13.8 | 950 | 20.8 | 10.0 | 13.8 | 950 | 22.2 | 10.4 | 13.8 | 940 | 21.2 | 10.4 | 13.8 | 945 |
| 2 | 20.2 | 10.0 | 13.8 | 950 | 20.8 | 10.0 | 13.8 | 950 | 22.2 | 10.4 | 13.8 | 940 | 21.2 | 10.4 | 13.8 | 945 |
| 3 | 20.2 | 10.0 | 13.8 | 950 | 20.8 | 10.0 | 13.8 | 950 | 22.3 | 10.3 | 13.8 | 940 | 21.4 | 10.4 | 13.8 | 945 |
| 4 | 20.3 | 10.0 | 13.8 | 950 | 20.8 | 10.0 | 13.8 | 950 | 22.3 | 10.3 | 13.8 | 940 | 21.4 | 10.4 | 13.8 | 945 |
| 5 | 20.4 | 10.0 | 13.8 | 950 | 20.8 | 10.0 | 13.8 | 950 | 22.4 | 10.2 | 13.8 | 940 | 21.4 | 10.3 | 13.8 | 945 |
| 6 | 20.5 | 10.0 | 13.8 | 950 | 20.8 | 10.0 | 13.8 | 950 | 22.5 | 10.2 | 13.8 | 940 | 21.4 | 10.3 | 13.8 | 945 |
| 7 | 20.6 | 10.4 | 13.8 | 950 | 20.8 | 9.6 | 13.8 | 950 | 22.5 | 10.4 | 13.8 | 940 | 21.5 | 10.6 | 13.8 | 945 |
| 8 | 20.4 | 10.4 | 13.8 | 950 | 20.4 | 10.0 | 13.8 | 955 | 22.2 | 10.4 | 13.8 | 940 | 21.2 | 10.7 | 13.8 | 945 |
| 9 | 20.5 | 10.4 | 13.8 | 952 | 20.0 | 10.0 | 13.8 | 955 | 21.6 | 10.3 | 13.8 | 948 | 20.6 | 11.0 | 13.8 | 950 |
| 10 | 19.4 | 10.2 | 13.8 | 952 | 20.0 | 10.2 | 13.8 | 955 | 21.4 | 10.6 | 13.8 | 950 | 20.4 | 11.0 | 13.8 | 950 |
| 11 | 19.4 | 10.2 | 13.8 | 952 | 19.8 | 10.2 | 13.8 | 955 | 21.2 | 10.4 | 13.8 | 950 | 20.3 | 11.0 | 13.8 | 950 |
| 12 | 19.2 | 10.0 | 13.8 | 955 | 19.8 | 10.6 | 13.8 | 958 | 21.0 | 10.4 | 13.8 | 950 | 20.0 | 11.0 | 13.8 | 955 |
| 13 | 19.2 | 10.0 | 13.8 | 955 | 19.8 | 10.6 | 13.8 | 955 | 21.0 | 10.6 | 13.8 | 950 | 20.0 | 11.0 | 13.8 | 955 |
| 14 | 18.8 | 9.8 | 13.8 | 945 | 19.3 | 10.4 | 13.8 | 960 | 21.6 | 10.8 | 13.8 | 915 | 20.0 | 11.0 | 13.8 | 955 |
| 15 | 19.4 | 9.6 | 13.8 | 950 | 19.9 | 10.2 | 13.8 | 960 | 20.0 | 10.6 | 13.8 | 910 | 20.4 | 10.8 | 13.8 | 952 |
| 16 | 19.4 | 9.8 | 13.8 | 950 | 20.0 | 10.0 | 13.8 | 960 | 20.3 | 10.7 | 13.8 | 910 | 20.6 | 10.8 | 13.8 | 952 |
| 17 | 19.8 | 9.8 | 13.8 | 952 | 20.2 | 9.8 | 13.8 | 958 | 20.7 | 10.7 | 13.8 | 920 | 20.8 | 10.8 | 13.8 | 952 |
| 18 | 20.2 | 9.8 | 13.8 | 950 | 20.2 | 10.0 | 13.8 | 955 | 21.2 | 10.8 | 13.8 | 920 | 21.0 | 10.6 | 13.8 | 945 |
| 19 | 20.2 | 9.8 | 13.8 | 950 | 20.2 | 10.0 | 13.8 | 955 | 21.2 | 10.8 | 13.8 | 920 | 21.0 | 10.6 | 13.8 | 945 |
| 20 | 20.4 | 9.6 | 13.8 | 950 | 20.4 | 9.8 | 13.8 | 955 | 21.5 | 10.7 | 13.8 | 940 | 21.2 | 10.6 | 13.8 | 945 |
| 21 | 20.5 | 9.6 | 13.8 | 950 | 20.6 | 10.0 | 13.8 | 955 | 22.0 | 10.4 | 13.8 | 945 | 21.2 | 10.8 | 13.8 | 945 |
| 22 | 20.5 | 9.7 | 13.8 | 950 | 20.6 | 10.2 | 13.8 | 955 | 22.1 | 10.4 | 13.8 | 945 | 21.2 | 10.8 | 13.8 | 945 |
| 23 | 20.4 | 9.7 | 13.8 | 950 | 20.8 | 10.2 | 13.8 | 955 | 22.0 | 10.0 | 13.8 | 935 | 21.2 | 10.0 | 13.8 | 945 |
| 24 | 20.5 | 9.7 | 13.8 | 950 | 20.8 | 10.2 | 13.8 | 955 | 22.0 | 10.0 | 13.8 | 940 | 21.2 | 10.0 | 13.8 | 945 |
| TOTAL | | 238.5 | | | 242.0 | | | | 250.8 | | | | | 255.3 | | |
| AVERAGE | 20.0 | 9.9 | 13.8 | 951 | 20.4 | 10.1 | 13.8 | 954 | 21.6 | 10.5 | 13.8 | 936 | 20.9 | 10.6 | 13.8 | 948 |
| MAX | | | 13.8 | 955 | | | 13.8 | 960 | | | 13.8 | 950 | | | 13.8 | 955 |

| CGT # 5 | | | | CGT # 6 | | | | FREQ | GAS PRESSURE | | | | |
|---------|------|------|----------|---------|------|------|----------|-------|--------------|-------------|------|-------|-----|
| MW | MVAR | KV | EXH TEMP | MW | MVAR | KV | EXH TEMP | (HZ) | INCOM | PLANT INLET | LIBO | PAGAR | PGN |
| 22.5 | 9.0 | 13.9 | 920 | 43.0 | 15.1 | 13.8 | 901 | 60.01 | 265 | 251 | | | |
| 22.5 | 9.0 | 13.9 | 920 | 43.2 | 15.1 | 13.8 | 900 | 60.01 | 265 | 251 | | | |
| 22.5 | 9.0 | 13.9 | 920 | 43.2 | 15.2 | 13.8 | 895 | 60.01 | 265 | 251 | | | |
| 22.5 | 9.0 | 13.9 | 920 | 42.5 | 15.2 | 13.8 | 895 | 60.01 | 265 | 251 | | | |
| 22.5 | 9.0 | 13.9 | 920 | 42.4 | 15.3 | 13.8 | 892 | 60.01 | 265 | 250 | | | |
| 22.5 | 9.0 | 13.9 | 920 | 42.7 | 15.3 | 13.8 | 891 | 60.01 | 265 | 250 | 272 | 269 | 277 |
| 22.3 | 9.0 | 13.9 | 920 | 43.3 | 15.4 | 13.8 | 895 | 60.02 | 265 | 250 | | | |
| 22.0 | 9.0 | 13.9 | 920 | 43.0 | 15.4 | 13.8 | 913 | 59.98 | 265 | 250 | | | |
| 21.8 | 9.0 | 13.9 | 920 | 43.6 | 15.4 | 13.8 | 915 | 60.00 | 265 | 250 | | | |
| 21.6 | 9.4 | 13.9 | 920 | 43.5 | 15.7 | 13.8 | 920 | 60.02 | 264 | 250 | 274 | 270 | 275 |
| 21.6 | 9.5 | 13.9 | 920 | 42.8 | 15.8 | 13.8 | 922 | 60.01 | 264 | 225 | | | |
| 21.6 | 9.3 | 13.9 | 920 | 43.2 | 15.8 | 13.8 | 920 | 60.01 | 265 | 250 | | | |
| 21.4 | 9.3 | 13.9 | 920 | 43.2 | 15.8 | 13.8 | 916 | 60.01 | 265 | 250 | | | |
| 21.4 | 9.3 | 13.9 | 920 | 43.5 | 15.8 | 13.8 | 918 | 59.99 | 265 | 250 | 274 | 271 | 275 |
| 21.2 | 9.3 | 13.9 | 925 | 43.5 | 15.9 | 13.8 | 923 | 59.99 | 265 | 250 | | | |
| 21.1 | 9.6 | 13.9 | 925 | 43.9 | 16.0 | 13.8 | 932 | 59.97 | 262 | 248 | | | |
| 21.2 | 9.6 | 13.9 | 925 | 43.5 | 15.8 | 13.8 | 930 | 60.01 | 262 | 248 | | | |
| 21.4 | 9.9 | 13.9 | 925 | 43.6 | 16.0 | 13.8 | 928 | 60.06 | 265 | 250 | 272 | 270 | 275 |
| 22.0 | 9.8 | 13.9 | 920 | 43.8 | 16.1 | 13.8 | 909 | 60.02 | 267 | 251 | | | |
| 21.8 | 9.7 | 13.9 | 920 | 43.3 | 15.9 | 13.8 | 910 | 60.01 | 267 | 252 | | | |
| 21.8 | 9.7 | 13.9 | 920 | 43.1 | 15.8 | 13.8 | 911 | 60.01 | 267 | 252 | | | |
| 22.0 | 9.6 | 13.9 | 920 | 43.6 | 15.9 | 13.8 | 912 | 60.02 | 267 | 253 | | | |
| 22.1 | 9.2 | 13.9 | 920 | 43.6 | 15.7 | 13.8 | 910 | 60.04 | 267 | 252 | | | |
| 22.1 | 9.2 | 13.9 | 920 | 43.6 | 15.7 | 13.8 | 910 | 60.04 | 267 | 252 | | | |
| 223.4 | | | | 375.1 | | | | | | | | | |
| 21.9 | 9.3 | 13.9 | 921 | 43.3 | 15.6 | 13.8 | 911 | 60.01 | 262 | 225 | 272 | 269 | 275 |
| | | 13.9 | 925 | | | 13.8 | 932 | 60.06 | 267 | 253 | 274 | 271 | 277 |

200

| | | | | | | | | |
|-----------|-------|------|-------|------|-------|------|-------|------|
| DOWN | | | | | | | | |
| E AT | | | | | | | | |
| WN AT | | | | | | | | |
| AL | TIMES | | TIMES | | TIMES | | TIMES | |
| CE | TIMES | | TIMES | | TIMES | | TIMES | |
| RT UP | | | | | | | | |
| P AT | | | | | | | | |
| E AT | | | | | | | | |
| PT | TIMES | | TIMES | | TIMES | | TIMES | |
| FLAME MAN | TIMES | | TIMES | | TIMES | | TIMES | |
| LAME AUTO | TIMES | | TIMES | | TIMES | | TIMES | |
| LAME MAN | TIMES | | TIMES | | TIMES | | TIMES | |
| AME AUTO | TIMES | | TIMES | | TIMES | | TIMES | |
| ELL | | | | | | | | |
| R | 17 | | 17 | | 17 | | 17 | |
| R | 9.3 | | 9 | | 9 | | 9.8 | |
| TSHELL | 25 | LBS | 25 | LBS | 25 | LBS | 25 | LBS |
| EMP | 75 | " F | 74 | " F | 76 | " F | 77 | " F |
| EASE | 2 | PSIG | 3 | PSIG | 1 | PSIG | 1 | PSIG |
| DOWN | 33 | " F | 46 | " F | 18 | " F | 15 | " F |
| BEFORE | | | | | | | | |
| | 19.6 | | 19.7 | | 22.1 | | 21.4 | |
| EMP | 957 | " F | 955 | " F | 950 | " F | 956 | " F |
| AFTER | | | | | | | | |
| | 20.7 | | 21.4 | | 22.6 | | 21.8 | |
| EMP | 953 | " F | 946 | " F | 948 | " F | 954 | " F |
| GAS | | | | | | | | |
| R | | | | | | | | |
| EMP | " F | | " F | | " F | | " F | |
| HIGHEST | " F | | " F | | " F | | " F | |
| MES | | | | | | | | |
| OURS | HRS | | HRS | | HRS | | HRS | |
| ONSUMP | DRUMS | | DRUMS | | DRUMS | | DRUMS | |

& T \ PG & O - CGT PLANT
LY GT OPERATION RECORD
Month of August 2000

| TIME | CGT # 1 | | | | CGT # 2 | | | | CGT # 3 | | | | CGT # 4 | | | |
|--------|---------|-------|------|----------|---------|-------|------|----------|---------|-------|------|----------|---------|------|-------|----------|
| | MW | MVAR | KV | EXH TEMP | MW | MVAR | KV | EXH TEMP | MW | MVAR | KV | EXH TEMP | MW | MVAR | KV | EXH TEMP |
| 1 | 20.4 | 9.6 | 13.8 | 948 | 20.8 | 9.4 | 13.8 | 950 | 21.8 | 10.2 | 13.8 | 925 | 21.0 | 10.4 | 13.8 | 935 |
| 2 | 20.4 | 9.6 | 13.8 | 948 | 20.8 | 9.4 | 13.8 | 950 | 21.8 | 10.2 | 13.8 | 925 | 21.0 | 10.3 | 13.8 | 935 |
| 3 | 20.8 | 9.4 | 13.8 | 950 | 20.8 | 9.4 | 13.8 | 950 | 22.5 | 10.2 | 13.8 | 950 | 21.6 | 10.5 | 13.8 | 945 |
| 4 | 20.6 | 9.5 | 13.8 | 950 | 20.8 | 9.6 | 13.8 | 950 | 22.5 | 10.3 | 13.8 | 950 | 21.4 | 10.5 | 13.8 | 945 |
| 5 | 20.6 | 9.5 | 13.8 | 950 | 20.6 | 9.8 | 13.8 | 950 | 22.2 | 10.5 | 13.8 | 950 | 21.2 | 10.7 | 13.8 | 945 |
| 6 | 20.7 | 9.5 | 13.8 | 950 | 20.6 | 9.8 | 13.8 | 950 | 22.2 | 10.5 | 13.8 | 950 | 21.2 | 10.7 | 13.8 | 945 |
| 7 | 20.4 | 9.5 | 13.8 | 950 | 20.8 | 9.6 | 13.8 | 950 | 22.4 | 10.0 | 13.8 | 940 | 21.4 | 10.0 | 13.8 | 945 |
| 8 | 20.5 | 9.8 | 13.8 | 950 | 20.6 | 9.6 | 13.8 | 950 | 22.2 | 10.0 | 13.8 | 940 | 21.2 | 10.0 | 13.8 | 950 |
| 9 | 20.4 | 9.4 | 13.8 | 950 | 20.5 | 9.6 | 13.8 | 950 | 21.8 | 10.0 | 13.8 | 945 | 21.0 | 10.2 | 13.8 | 950 |
| 10 | 20.4 | 9.7 | 13.8 | 950 | 20.6 | 9.8 | 13.8 | 950 | 22.0 | 9.8 | 13.8 | 945 | 21.0 | 10.2 | 13.8 | 945 |
| 11 | 19.6 | 9.8 | 13.8 | 955 | 20.2 | 9.8 | 13.8 | 950 | 21.2 | 10.2 | 13.8 | 945 | 20.4 | 10.4 | 13.8 | 945 |
| 12 | 19.8 | 9.4 | 13.8 | 955 | 20.4 | 9.8 | 13.8 | 950 | 21.8 | 10.6 | 13.8 | 945 | 20.6 | 10.2 | 13.8 | 950 |
| 13 | 19.8 | 10.0 | 13.8 | 952 | 20.2 | 10.2 | 13.8 | 955 | 21.4 | 10.4 | 13.8 | 950 | 20.4 | 10.4 | 13.8 | 955 |
| 14 | 19.6 | 9.5 | 13.8 | 950 | 20.6 | 9.8 | 13.8 | 952 | 21.8 | 10.8 | 13.8 | 945 | 20.7 | 10.4 | 13.8 | 950 |
| 15 | 19.6 | 9.8 | 13.8 | 950 | 20.0 | 9.5 | 13.8 | 950 | 21.0 | 10.6 | 13.8 | 945 | 20.2 | 10.4 | 13.8 | 950 |
| 16 | 19.4 | 9.8 | 13.8 | 950 | 20.0 | 9.8 | 13.8 | 950 | 21.0 | 10.6 | 13.8 | 945 | 20.2 | 10.6 | 13.8 | 950 |
| 17 | 19.4 | 9.8 | 13.8 | 950 | 20.0 | 10.0 | 13.8 | 950 | 21.0 | 10.6 | 13.8 | 945 | 20.0 | 10.8 | 13.8 | 950 |
| 18 | 19.8 | 9.8 | 13.8 | 950 | 20.2 | 10.0 | 13.8 | 950 | 21.5 | 10.8 | 13.8 | 945 | 20.6 | 10.8 | 13.8 | 952 |
| 19 | 20.0 | 9.8 | 13.8 | 950 | 20.6 | 10.0 | 13.8 | 950 | 21.5 | 10.8 | 13.8 | 945 | 20.5 | 10.8 | 13.8 | 950 |
| 20 | 19.9 | 9.9 | 13.8 | 950 | 20.6 | 10.2 | 13.8 | 952 | 21.8 | 10.6 | 13.8 | 945 | 21.0 | 10.6 | 13.8 | 950 |
| 21 | 20.0 | 9.9 | 13.8 | 950 | 20.6 | 10.3 | 13.8 | 952 | 21.9 | 10.5 | 13.8 | 945 | 21.0 | 10.6 | 13.8 | 950 |
| 22 | 20.2 | 9.8 | 13.8 | 950 | 20.8 | 10.6 | 13.8 | 952 | 21.9 | 10.4 | 13.8 | 945 | 21.0 | 10.5 | 13.8 | 950 |
| 23 | 20.3 | 9.6 | 13.8 | 950 | 21.0 | 9.4 | 13.8 | 952 | 22.0 | 10.4 | 13.8 | 945 | 21.3 | 10.4 | 13.8 | 950 |
| 24 | 20.4 | 9.8 | 13.8 | 948 | 21.1 | 10.1 | 13.8 | 950 | 22.4 | 10.2 | 13.8 | 940 | 21.4 | 10.4 | 13.8 | 950 |
| TOTAL | | 232.2 | | | | 235.5 | | | | 249.2 | | | | | 250.8 | |
| AVERAG | 20.1 | 9.7 | 13.8 | 950 | 20.6 | 9.8 | 13.8 | 951 | 21.8 | 10.4 | 13.8 | 944 | 20.9 | 10.5 | 13.8 | 948 |
| MAX | | | 13.8 | 955 | | | 13.8 | 955 | | | 13.8 | 950 | | | 13.8 | 955 |

| CGT # 5 | | | | CGT # 6 | | | | FREQ | GAS PRESSURE | | | | |
|---------|-------|------|----------|---------|-------|------|----------|-------|--------------|-------------|------|-------|-----|
| MW | MVAR | KV | EXH TEMP | MW | MVAR | KV | EXH TEMP | (HZ) | INCOM | PLANT INLET | LIBO | PAGAR | PGN |
| 22.2 | 9.0 | 13.9 | 920 | 42.7 | 15.6 | 13.8 | 900 | 60.04 | 268 | 252 | | | |
| 22.2 | 9.0 | 13.9 | 920 | 43.2 | 15.6 | 13.8 | 898 | 60.04 | 268 | 252 | | | |
| 22.4 | 9.0 | 13.9 | 920 | 43.0 | 15.6 | 13.8 | 897 | 60.02 | 268 | 252 | | | |
| 22.4 | 9.0 | 13.9 | 920 | 42.7 | 15.6 | 13.8 | 899 | 60.04 | 268 | 252 | | | |
| 22.4 | 9.0 | 13.9 | 920 | 42.4 | 15.5 | 13.8 | 900 | 60.03 | 267 | 251 | | | |
| 22.4 | 9.0 | 13.9 | 920 | 42.0 | 15.5 | 13.8 | 900 | 60.00 | 267 | 251 | 276 | 273 | 278 |
| 22.3 | 9.4 | 13.9 | 920 | 43.3 | 15.6 | 13.8 | 891 | 60.03 | 265 | 250 | | | |
| 22.1 | 9.5 | 13.9 | 920 | 43.3 | 15.7 | 13.8 | 908 | 60.02 | 265 | 251 | | | |
| 21.8 | 9.2 | 13.9 | 920 | 43.1 | 15.8 | 13.8 | 913 | 60.00 | 263 | 250 | | | |
| 21.5 | 9.4 | 13.9 | 922 | 43.0 | 15.9 | 13.8 | 923 | 59.97 | 262 | 248 | 270 | 268 | 275 |
| 21.0 | 9.6 | 13.9 | 922 | 43.0 | 16.0 | 13.8 | 925 | 59.96 | 260 | 248 | | | |
| 21.0 | 9.5 | 13.9 | 925 | 43.2 | 16.0 | 13.8 | 932 | 60.00 | 262 | 250 | | | |
| 21.0 | 9.7 | 13.9 | 925 | 43.3 | 16.1 | 13.8 | 933 | 60.00 | 263 | 250 | | | |
| 20.2 | 10.0 | 13.9 | 925 | 43.8 | 16.3 | 13.8 | 940 | 59.95 | 267 | 252 | 273 | 271 | 274 |
| 20.0 | 9.6 | 13.9 | 900 | 42.8 | 16.0 | 13.8 | 929 | 60.01 | 265 | 250 | | | |
| 20.0 | 9.9 | 13.9 | 900 | 43.1 | 16.1 | 13.8 | 932 | 60.00 | 266 | 250 | | | |
| 20.5 | 10.0 | 13.9 | 905 | 42.6 | 16.1 | 13.8 | 917 | 59.97 | 265 | 250 | | | |
| 21.0 | 10.0 | 13.9 | 905 | 42.9 | 15.9 | 13.8 | 934 | 60.00 | 265 | 250 | 272 | 270 | 275 |
| 21.0 | 10.0 | 13.9 | 910 | 43.1 | 15.9 | 13.8 | 928 | 60.00 | 265 | 250 | | | |
| 21.4 | 9.8 | 13.9 | 915 | 43.4 | 16.0 | 13.8 | 917 | 59.98 | 265 | 250 | | | |
| 21.8 | 10.0 | 13.9 | 920 | 43.6 | 16.1 | 13.8 | 910 | 59.96 | 267 | 252 | | | |
| 22.0 | 10.0 | 13.9 | 920 | 43.4 | 16.1 | 13.8 | 912 | 59.95 | 267 | 253 | | | |
| 22.0 | 9.7 | 13.9 | 920 | 43.4 | 15.9 | 13.8 | 897 | 60.00 | 267 | 253 | | | |
| 22.0 | 9.7 | 13.9 | 920 | 43.3 | 16.0 | 13.8 | 902 | 60.00 | 267 | 253 | | | |
| | 229.0 | | | | 380.9 | | | | | | | | |
| 21.5 | 9.5 | 13.9 | 917 | 43.1 | 15.9 | 13.8 | 914 | 60.00 | 260 | 248 | 270 | 268 | 274 |
| | | 13.9 | 925 | | | 13.8 | 940 | 60.04 | 268 | 253 | 276 | 273 | 278 |

0:00

| | 23206.2 | 22430.3 | 83228.7 | 83999.4 | 74915.5 | | | | | DISTILLATE TANK |
|---------|---------|---------|---------|---------|---------|---------|--|--|--|------------------|
| | 19341.0 | 22274.6 | 82792.3 | 83773.8 | 74796.8 | | | | | FEET INCH BA |
| S | 102.81 | 162.11 | 83.56 | 60.69 | 122.5 | | | | | |
| E | 410.8 | 1825.8 | 1625.8 | 1247.4 | 2117.1 | | | | | |
| Z | 27490 | 89843 | 92763 | 34478 | 165382 | 311680 | | | | |
| ME | 22018 | 89353 | 92239 | 33976 | 164859 | 310641 | | | | GRAND TOTAL RECD |
| AY | 472 MW | 490 MW | 524 MW | 502 MW | 523 MW | 1039 MW | | | | MW |
| | 472 MW | 490 MW | 524 MW | 502 MW | 523 MW | 1039 MW | | | | 3550.0 |
| | MW | MW | MW | MW | MW | MW | | | | 0.0 |
| 24 HRS | | | | |
| HRS | | | | |
| HRS | | | | |
| HRS | | | | |
| HRS | | | | |
| HRS | | | | |
| HRS | | | | |
| HRS | | | | |
| HRS | | | | |
| HRS | | | | |
| ER | | | | | | | | | | |
| TION | BBLS | BBLS | BBLS | BBLS | BBLS | BBLS | | | | |
| BBLS | | | | |
| ER TRIP | TIMES | TIMES | TIMES | TIMES | TIMES | TIMES | | | | |
| T | | | | | | | | | | |
| AT | | | | | | | | | | |
| TRIP | | | | | | | | | | |
| T | | | | | | | | | | |
| RIP BY | | | | | | TIMES | | | | |
| AIL | TIMES | TIMES | TIMES | TIMES | TIMES | TIMES | | | | |
| ROR | TIMES | TIMES | TIMES | TIMES | TIMES | TIMES | | | | |
| OTG | TIMES | TIMES | TIMES | TIMES | TIMES | TIMES | | | | |
| | TIMES | TIMES | TIMES | TIMES | TIMES | TIMES | | | | |
| RS | TIMES | TIMES | TIMES | TIMES | TIMES | TIMES | | | | |

| | | | | | | | | |
|------------------------|-------|--|-------|--|-------|--|-------|--|
| TB. SHUT DOWN | | | | | | | | |
| OFF LINE AT | | | | | | | | |
| SHUT DOWN AT | | | | | | | | |
| NORMAL | TIMES | | TIMES | | TIMES | | TIMES | |
| FORCE | TIMES | | TIMES | | TIMES | | TIMES | |
| TB. START UP | | | | | | | | |
| STAR UP AT | | | | | | | | |
| ON LINE AT | | | | | | | | |
| ATTEMPT | TIMES | | TIMES | | TIMES | | TIMES | |
| FAIL BEFORE FLAME MAN | TIMES | | TIMES | | TIMES | | TIMES | |
| FAIL BEFORE FLAME AUTO | TIMES | | TIMES | | TIMES | | TIMES | |
| FAILA FTER FLAME MAN | TIMES | | TIMES | | TIMES | | TIMES | |
| FAILA FTER FLAME AUTO | TIMES | | TIMES | | TIMES | | TIMES | |
| NUTSHELL | | | | | | | | |
| MW | | | | | | | | |
| MVAR | | | | | | | | |
| TOTAL NUTSHELL | LBS | | LBS | | LBS | | LBS | |
| AMB. TEMP | °F | | °F | | °F | | °F | |
| PCD INCREASE | PSIG | | PSIG | | PSIG | | PSIG | |
| EXH. TEMP DOWN | °F | | °F | | °F | | °F | |
| MAX. LOAD BEFORE | | | | | | | | |
| MW | | | | | | | | |
| EXH. TEMP | °F | | °F | | °F | | °F | |
| MAX. LOAD AFTER | | | | | | | | |
| MW | | | | | | | | |
| EXH. TEMP | °F | | °F | | °F | | °F | |
| PEAK ON GAS | | | | | | | | |
| MW | | | | | | | | |
| MVAR | | | | | | | | |
| AMB. TEMP | °F | | °F | | °F | | °F | |
| EXH TEMP HIGHEST | °F | | °F | | °F | | °F | |
| PEAK TIMES | | | | | | | | |
| PEAK HOURS | HRS | | HRS | | HRS | | HRS | |
| LUBE OIL CONSUMP. | DRUMS | | DRUMS | | DRUMS | | DRUMS | |

G & T \ PG & O - CGT PLANT

DAILY GT OPERATION RECORD

Month of August 2000

| TIME | CGT # 1 | | | | CGT # 2 | | | | CGT # 3 | | | | CGT # 4 | | | |
|---------|---------|-------|------|----------|---------|------|------|----------|---------|------|------|----------|---------|-------|------|----------|
| | MW | MVAR | KV | EXH TEMP | MW | MVAR | KV | EXH TEMP | MW | MVAR | KV | EXH TEMP | MW | MVAR | KV | EXH TEMP |
| 1 | 20.6 | 9.6 | 13.8 | 950 | 20.8 | 9.0 | 13.8 | 950 | 22.4 | 9.4 | 13.8 | 940 | 21.4 | 10.6 | 13.8 | 940 |
| 2 | 20.6 | 9.6 | 13.8 | 950 | 20.8 | 9.0 | 13.8 | 950 | 22.4 | 9.4 | 13.8 | 940 | 21.4 | 10.6 | 13.8 | 940 |
| 3 | 20.6 | 9.8 | 13.8 | 950 | 20.8 | 9.6 | 13.8 | 950 | 22.6 | 9.4 | 13.8 | 940 | 21.4 | 10.2 | 13.8 | 940 |
| 4 | 20.6 | 9.8 | 13.8 | 945 | 20.8 | 9.6 | 13.9 | 950 | 22.6 | 9.4 | 13.8 | 935 | 21.4 | 10.8 | 13.8 | 940 |
| 5 | 20.6 | 9.8 | 13.8 | 945 | 20.8 | 9.6 | 13.9 | 950 | 22.6 | 9.4 | 13.8 | 935 | 21.4 | 10.8 | 13.8 | 940 |
| 6 | 20.6 | 9.8 | 13.8 | 945 | 20.8 | 9.6 | 13.9 | 950 | 22.6 | 9.4 | 13.8 | 935 | 21.4 | 10.8 | 13.8 | 940 |
| 7 | 20.4 | 10.0 | 13.8 | 950 | 20.6 | 8.8 | 13.8 | 950 | 22.0 | 9.2 | 13.8 | 945 | 21.2 | 10.4 | 13.8 | 945 |
| 8 | 20.4 | 10.0 | 13.8 | 950 | 20.4 | 9.2 | 13.8 | 950 | 22.0 | 9.0 | 13.8 | 945 | 21.2 | 10.4 | 13.8 | 945 |
| 9 | 20.0 | 9.4 | 13.8 | 950 | 20.1 | 9.0 | 13.8 | 952 | 21.7 | 9.0 | 13.8 | 945 | 20.9 | 10.2 | 13.8 | 950 |
| 10 | 19.4 | 9.8 | 13.8 | 950 | 19.9 | 9.4 | 13.8 | 952 | 21.3 | 9.0 | 13.8 | 945 | 20.2 | 10.2 | 13.8 | 950 |
| 11 | 19.4 | 9.8 | 13.8 | 950 | 19.8 | 9.6 | 13.8 | 952 | 21.4 | 9.2 | 13.8 | 945 | 20.4 | 10.4 | 13.8 | 952 |
| 12 | 19.3 | 9.5 | 13.8 | 950 | 19.8 | 9.7 | 13.8 | 958 | 21.3 | 9.1 | 13.8 | 948 | 20.4 | 10.1 | 13.8 | 950 |
| 13 | 19.0 | 9.8 | 13.8 | 952 | 19.6 | 9.8 | 13.8 | 955 | 21.0 | 9.5 | 13.8 | 948 | 20.1 | 10.6 | 13.8 | 950 |
| 14 | 19.0 | 9.8 | 13.8 | 950 | 19.0 | 9.5 | 13.8 | 940 | 19.0 | 9.6 | 13.8 | 900 | 19.0 | 10.6 | 13.8 | 925 |
| 15 | 19.0 | 9.6 | 13.8 | 950 | 19.5 | 9.7 | 13.8 | 955 | 21.0 | 9.4 | 13.8 | 945 | 20.1 | 10.6 | 13.8 | 952 |
| 16 | 19.4 | 9.8 | 13.8 | 955 | 19.7 | 9.5 | 13.8 | 952 | 21.0 | 9.4 | 13.8 | 945 | 20.1 | 10.6 | 13.8 | 950 |
| 17 | 19.4 | 9.8 | 13.8 | 955 | 19.8 | 9.6 | 13.8 | 955 | 21.2 | 9.4 | 13.8 | 948 | 20.2 | 11.2 | 13.8 | 952 |
| 18 | 19.6 | 10.0 | 13.8 | 950 | 19.8 | 10.1 | 13.8 | 955 | 21.4 | 9.6 | 13.8 | 950 | 20.6 | 11.0 | 13.8 | 955 |
| 19 | 20.6 | 10.0 | 13.8 | 950 | 20.5 | 9.8 | 13.8 | 952 | 22.0 | 9.6 | 13.8 | 940 | 20.7 | 11.0 | 13.8 | 935 |
| 20 | 20.8 | 10.0 | 13.8 | 950 | 20.8 | 9.2 | 13.8 | 950 | 22.2 | 9.6 | 13.8 | 930 | 20.8 | 11.0 | 13.8 | 930 |
| 21 | 20.6 | 10.0 | 13.8 | 940 | 20.6 | 9.2 | 13.8 | 940 | 22.0 | 9.6 | 13.8 | 920 | 20.6 | 11.0 | 13.8 | 922 |
| 22 | 20.4 | 10.0 | 13.8 | 935 | 20.4 | 9.2 | 13.8 | 935 | 21.8 | 9.6 | 13.8 | 915 | 20.4 | 11.0 | 13.8 | 918 |
| 23 | 20.2 | 9.8 | 13.8 | 935 | 20.6 | 9.4 | 13.8 | 935 | 21.8 | 9.2 | 13.8 | 915 | 20.7 | 10.8 | 13.8 | 918 |
| 24 | 20.2 | 9.8 | 13.8 | 935 | 20.6 | 9.2 | 13.8 | 935 | 21.8 | 8.6 | 13.8 | 915 | 20.6 | 10.6 | 13.8 | 918 |
| TOTAL | | 235.3 | | | 226.3 | | | | 224.0 | | | | | 255.5 | | |
| AVERAGE | 20.0 | 9.8 | 13.8 | 948 | 20.3 | 9.4 | 13.8 | 949 | 21.7 | 9.3 | 13.8 | 936 | 20.7 | 10.6 | 13.8 | 940 |
| MAX | | | 13.8 | 955 | | | 13.9 | 958 | | | 13.8 | 950 | | | 13.8 | 955 |

| CGT # 5 | | | | CGT # 6 | | | | FREQ | GAS PRESSURE | | | | |
|---------|------|------|----------|---------|------|------|----------|-------|--------------|-------------|------|-------|-----|
| MW | MVAR | KV | EXH TEMP | MW | MVAR | KV | EXH TEMP | (HZ) | INCOM | PLANT INLET | LIBO | PAGAR | PGN |
| 20.7 | 9.3 | 13.9 | 885 | 43.8 | 15.7 | 13.8 | 903 | 60.01 | 269 | 255 | | | |
| 20.6 | 9.2 | 13.9 | 885 | 42.7 | 15.6 | 13.8 | 900 | 60.00 | 269 | 255 | | | |
| 22.4 | 9.2 | 13.9 | 920 | 43.3 | 15.5 | 13.8 | 907 | 60.00 | 267 | 255 | | | |
| 22.4 | 9.0 | 13.9 | 920 | 43.5 | 15.5 | 13.8 | 907 | 60.00 | 267 | 255 | | | |
| 22.2 | 9.5 | 13.9 | 920 | 43.5 | 15.7 | 13.8 | 906 | 60.00 | 267 | 252 | | | |
| 22.2 | 9.5 | 13.9 | 920 | 43.2 | 15.3 | 13.8 | 902 | 60.00 | 265 | 252 | 270 | 270 | 277 |
| 22.2 | 9.5 | 13.9 | 920 | 43.0 | 15.7 | 13.8 | 899 | 60.00 | 265 | 250 | | | |
| 22.2 | 9.5 | 13.9 | 920 | 42.8 | 15.7 | 13.8 | 898 | 60.02 | 267 | 253 | | | |
| 22.0 | 9.5 | 13.9 | 920 | 41.4 | 15.9 | 13.8 | 907 | 60.02 | 266 | 253 | | | |
| 21.8 | 9.5 | 13.9 | 922 | 43.4 | 15.8 | 13.8 | 919 | 59.97 | 265 | 253 | 270 | 268 | 272 |
| 21.3 | 9.8 | 13.9 | 925 | 42.9 | 16.2 | 13.8 | 922 | 59.98 | 265 | 252 | | | |
| 21.5 | 9.8 | 13.9 | 922 | 42.7 | 16.1 | 13.8 | 920 | 60.00 | 264 | 250 | | | |
| 21.3 | 9.3 | 13.9 | 925 | 42.4 | 15.8 | 13.8 | 934 | 60.00 | 264 | 250 | | | |
| 21.6 | 9.3 | 13.9 | 925 | 43.0 | 15.3 | 13.8 | 925 | 60.00 | 264 | 250 | 269 | 267 | 272 |
| 21.0 | 9.0 | 13.9 | 928 | 42.4 | 15.3 | 13.8 | 915 | 60.03 | 265 | 250 | | | |
| 21.0 | 9.0 | 13.9 | 928 | 41.5 | 15.2 | 13.8 | 909 | 59.98 | 266 | 252 | | | |
| 21.0 | 9.2 | 13.9 | 928 | 47.8 | 15.3 | 13.8 | 986 | 59.98 | 263 | 250 | | | |
| 21.5 | 9.3 | 13.9 | 925 | 47.3 | 15.4 | 13.8 | 971 | 60.01 | 265 | 251 | 269 | 268 | 271 |
| 21.6 | 9.5 | 13.9 | 925 | 47.2 | 15.3 | 13.8 | 956 | 60.00 | 266 | 252 | | | |
| 21.9 | 9.3 | 13.9 | 925 | 43.0 | 15.2 | 13.8 | 907 | 60.02 | 267 | 253 | | | |
| 22.0 | 9.1 | 13.9 | 925 | 42.0 | 15.1 | 13.8 | 909 | 60.02 | 268 | 254 | | | |
| 21.8 | 8.6 | 13.9 | 925 | 43.0 | 14.5 | 13.8 | 906 | 60.01 | 267 | 253 | | | |
| 21.9 | 8.6 | 13.9 | 920 | 43.1 | 14.6 | 13.8 | 902 | 60.04 | 266 | 252 | | | |
| 22.0 | 9.8 | 13.9 | 918 | 43.2 | 15.0 | 13.8 | 902 | 60.01 | 264 | 250 | | | |
| 22.3 | | | | 370.7 | | | | | | | | | |
| 21.7 | 9.3 | 13.9 | 920 | 43.4 | 15.4 | 13.8 | 917 | 60.00 | 263 | 250 | 269 | 267 | 271 |
| | | 13.9 | 928 | | | 13.8 | 986 | 60.04 | 269 | 255 | 270 | 270 | 277 |

0:00

| RS | 23158.3 | 22382.4 | 83180.7 | 83951.4 | 74867.5 | | | | |
|---------|---------|---------|---------|---------|---------|---------|--|--|-----------------|
| E | 19293.1 | 22226.7 | 82744.3 | 83725.8 | 74748.7 | | | | DISTILLATE TANK |
| E | 102.81 | 163.11 | 83.56 | 60.69 | 122.5 | | | | FEET |
| ME | 410.8 | 1825.6 | 1625.8 | 1247.4 | 2117.1 | | | | INCH |
| | 26552 | 88871 | 91722 | 33483 | 164351 | 309580 | | | BAL |
| DAY | 26075 | 88429 | 91189 | 32973 | 163833 | 308491 | | | GRAND TOTAL |
| | 477 MW | 442 MW | 533 MW | 510 MW | 518 MW | 1089 MW | | | MW |
| | 477 MW | 442 MW | 533 MW | 510 MW | 518 MW | 1089 MW | | | 3569.0 |
| | MW | MW | MW | MW | MW | MW | | | 3569.0 |
| | 24 HRS | | | 0.0 |
| | HRS | HRS | HRS | HRS | HRS | HRS | | | |
| | HRS | HRS | HRS | HRS | HRS | HRS | | | |
| | HRS | HRS | HRS | HRS | HRS | HRS | | | |
| | HRS | HRS | HRS | HRS | HRS | HRS | | | |
| | HRS | HRS | HRS | HRS | HRS | HRS | | | |
| | HRS | HRS | HRS | HRS | HRS | HRS | | | |
| | HRS | HRS | HRS | HRS | HRS | HRS | | | |
| | HRS | HRS | HRS | HRS | HRS | HRS | | | |
| | HRS | HRS | HRS | HRS | HRS | HRS | | | |
| ER | | | | | | | | | |
| ITION | BBLS | BBLS | BBLS | BBLS | BBLS | BBLS | | | |
| BBLS | | | |
| ER TRIP | TIMES | TIMES | TIMES | TIMES | TIMES | TIMES | | | |
| T | | | | | | | | | |
| AT | | | | | | | | | |
| TRIP | | | | | | | | | |
| T | | | | | | | | | |
| RIP BY | | | | | | | | | |
| AIL | TIMES | TIMES | TIMES | TIMES | TIMES | TIMES | | | |
| ROR | TIMES | TIMES | TIMES | TIMES | TIMES | TIMES | | | |
| OTG | TIMES | TIMES | TIMES | TIMES | TIMES | TIMES | | | |
| | TIMES | TIMES | TIMES | TIMES | TIMES | TIMES | | | |
| RS | TIMES | TIMES | TIMES | TIMES | TIMES | TIMES | | | |

G & T \ PG & O - CGT PLANT
 DAILY GT OPERATION RECORD
 Month of August 2000

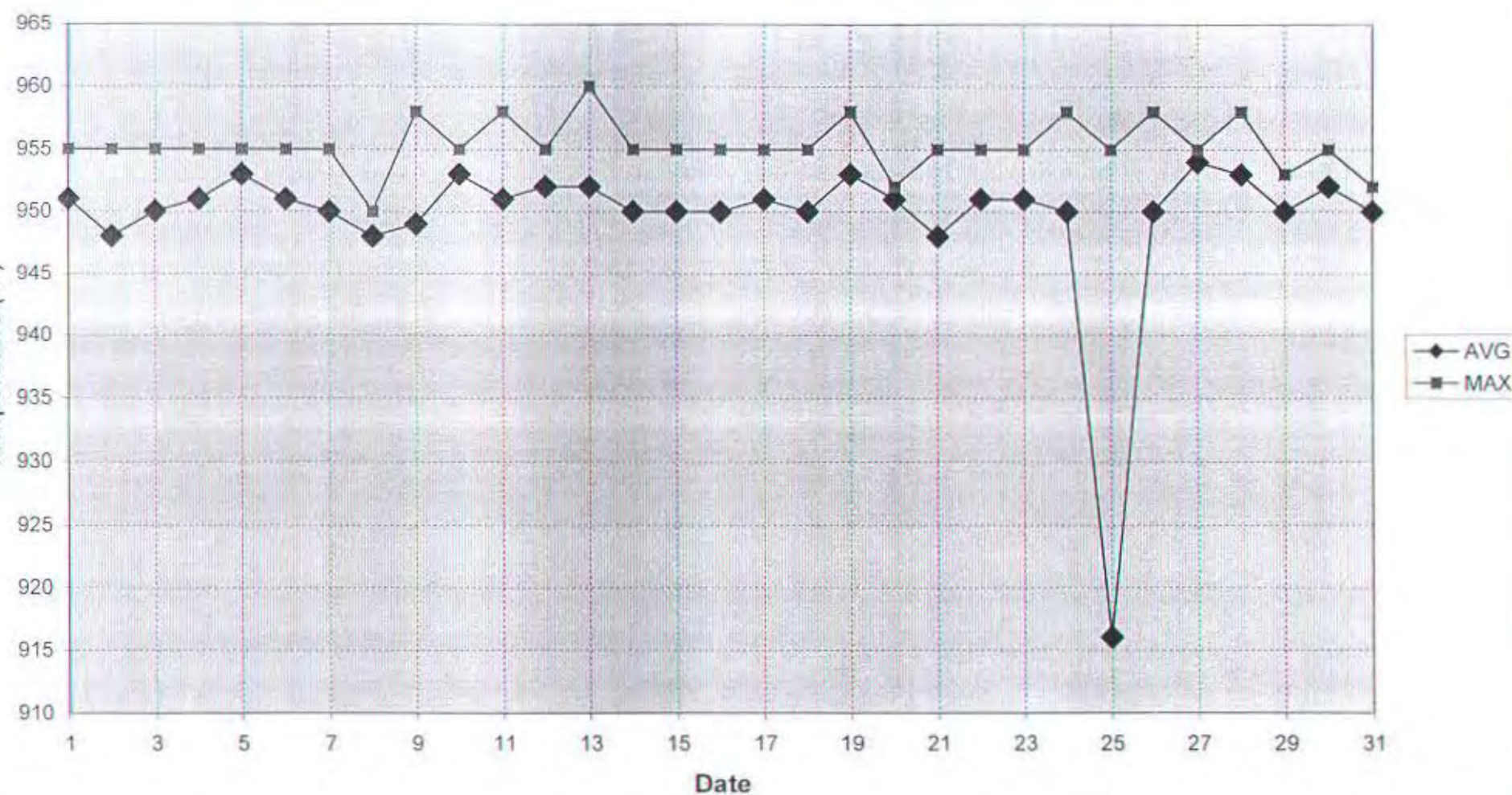
| TIME | CGT # 1 | | | | CGT # 2 | | | | CGT # 3 | | | | CGT # 4 | | | |
|---------|---------|-------|------|----------|---------|-------|------|----------|---------|-------|------|----------|---------|------|-------|----------|
| | MW | MVAR | KV | EXH TEMP | MW | MVAR | KV | EXH TEMP | MW | MVAR | KV | EXH TEMP | MW | MVAR | KV | EXH TEMP |
| 1 | 20.8 | 9.9 | 13.8 | 950 | 21.0 | 9.0 | 13.8 | 950 | 22.5 | 10.2 | 13.8 | 940 | 21.8 | 10.0 | 13.8 | 945 |
| 2 | 20.8 | 9.9 | 13.8 | 950 | 21.0 | 9.0 | 13.8 | 950 | 22.5 | 10.2 | 13.8 | 940 | 21.8 | 10.0 | 13.8 | 945 |
| 3 | 20.8 | 9.9 | 13.8 | 950 | 21.0 | 9.0 | 13.8 | 950 | 22.5 | 10.2 | 13.8 | 940 | 21.8 | 10.0 | 13.8 | 945 |
| 4 | 20.7 | 10.0 | 13.8 | 950 | 21.0 | 9.0 | 13.8 | 950 | 22.5 | 10.2 | 13.8 | 940 | 21.8 | 10.0 | 13.8 | 945 |
| 5 | 20.7 | 10.0 | 13.8 | 950 | 21.0 | 9.0 | 13.8 | 950 | 22.5 | 10.0 | 13.8 | 940 | 21.8 | 9.8 | 13.8 | 945 |
| 6 | 20.7 | 10.0 | 13.8 | 950 | 21.0 | 9.0 | 13.8 | 950 | 22.5 | 10.0 | 13.8 | 940 | 21.8 | 9.8 | 13.8 | 945 |
| 7 | 20.4 | 10.2 | 13.8 | 950 | 21.0 | 9.0 | 13.8 | 950 | 22.6 | 10.0 | 13.8 | 940 | 21.6 | 10.3 | 13.8 | 945 |
| 8 | 20.0 | 10.0 | 13.8 | 950 | 20.2 | 9.2 | 13.8 | 950 | 21.8 | 9.8 | 13.8 | 940 | 21.0 | 10.4 | 13.8 | 945 |
| 9 | 19.9 | 10.0 | 13.8 | 950 | 20.2 | 9.2 | 13.8 | 950 | 21.6 | 10.0 | 13.8 | 945 | 20.8 | 10.4 | 13.8 | 950 |
| 10 | 19.6 | 10.4 | 13.8 | 955 | 20.1 | 9.3 | 13.8 | 955 | 21.5 | 10.2 | 13.8 | 945 | 20.6 | 10.6 | 13.8 | 952 |
| 11 | 19.6 | 10.4 | 13.8 | 955 | 20.1 | 9.6 | 13.8 | 955 | 21.5 | 10.2 | 13.8 | 948 | 20.6 | 10.8 | 13.8 | 952 |
| 12 | 19.6 | 10.4 | 13.8 | 955 | 20.0 | 9.3 | 13.8 | 955 | 21.6 | 10.4 | 13.8 | 950 | 20.6 | 10.6 | 13.8 | 950 |
| 13 | 19.6 | 10.2 | 13.8 | 955 | 20.0 | 9.3 | 13.8 | 955 | 21.6 | 10.4 | 13.8 | 950 | 20.6 | 10.6 | 13.8 | 950 |
| 14 | 19.6 | 10.4 | 13.8 | 955 | 19.8 | 9.4 | 13.8 | 955 | 21.5 | 10.4 | 13.8 | 950 | 20.5 | 10.6 | 13.8 | 950 |
| 15 | 19.6 | 10.4 | 13.8 | 955 | 19.6 | 9.4 | 13.8 | 958 | 21.3 | 10.7 | 13.8 | 950 | 20.3 | 10.7 | 13.8 | 953 |
| 16 | 19.4 | 10.3 | 13.8 | 955 | 19.6 | 9.6 | 13.8 | 958 | 21.2 | 10.8 | 13.8 | 950 | 20.2 | 10.8 | 13.8 | 953 |
| 17 | 19.4 | 10.0 | 13.8 | 955 | 19.8 | 9.6 | 13.8 | 958 | 21.3 | 10.7 | 13.8 | 950 | 20.4 | 10.6 | 13.8 | 953 |
| 18 | 19.4 | 10.4 | 13.8 | 955 | 19.6 | 10.2 | 13.8 | 958 | 21.4 | 10.7 | 13.8 | 950 | 20.4 | 10.8 | 13.8 | 953 |
| 19 | 19.8 | 10.4 | 13.8 | 955 | 20.0 | 10.2 | 13.8 | 955 | 21.8 | 10.6 | 13.8 | 948 | 20.8 | 10.8 | 13.8 | 955 |
| 20 | 19.8 | 10.3 | 13.8 | 955 | 20.0 | 10.0 | 13.8 | 955 | 21.8 | 10.5 | 13.8 | 948 | 20.9 | 10.6 | 13.8 | 950 |
| 21 | 19.8 | 10.4 | 13.8 | 955 | 20.0 | 10.0 | 13.8 | 955 | 21.8 | 10.5 | 13.8 | 948 | 20.9 | 10.6 | 13.8 | 950 |
| 22 | 20.2 | 10.4 | 13.8 | 955 | 20.2 | 10.2 | 13.8 | 955 | 22.0 | 10.5 | 13.8 | 948 | 21.2 | 10.6 | 13.8 | 950 |
| 23 | 20.2 | 10.0 | 13.8 | 950 | 20.4 | 10.0 | 13.8 | 950 | 22.2 | 10.5 | 13.8 | 940 | 21.0 | 10.8 | 13.8 | 950 |
| 24 | 20.2 | 10.0 | 13.8 | 950 | 20.4 | 10.0 | 13.8 | 950 | 22.2 | 10.5 | 13.8 | 940 | 21.0 | 10.8 | 13.8 | 950 |
| TOTAL | | 244.3 | | | | 227.5 | | | | 248.2 | | | | | 251.0 | |
| AVERAGE | 20.0 | 10.2 | 13.8 | 953 | 20.3 | 9.5 | 13.8 | 953 | 21.9 | 10.3 | 13.8 | 945 | 21.0 | 10.5 | 13.8 | 949 |
| MAX | | | 13.8 | 955 | | | 13.8 | 958 | | | 13.8 | 950 | | | 13.8 | 955 |

| CGT # 5 | | | | CGT # 6 | | | | FREQ. | GAS PRESSURE | | | | |
|---------|-------|------|----------|---------|------|------|----------|-------|--------------|-------------|-----|------|-----|
| MW | MVAR | KV | EXH TEMP | MW | MVAR | KV | EXH TEMP | (HZ) | INCOM | PLANT INLET | LBO | PAGR | PGN |
| 22.5 | 8.6 | 13.9 | 920 | 43.5 | 14.5 | 13.8 | 910 | 60.04 | 266 | 252 | | | |
| 22.5 | 8.6 | 13.9 | 920 | 43.5 | 14.5 | 13.8 | 885 | 60.04 | 266 | 252 | | | |
| 22.6 | 8.7 | 13.9 | 920 | 44.0 | 14.5 | 13.8 | 885 | 60.04 | 268 | 252 | | | |
| 22.6 | 8.7 | 13.9 | 920 | 43.2 | 14.3 | 13.8 | 885 | 60.04 | 268 | 252 | | | |
| 22.6 | 8.8 | 13.9 | 920 | 42.5 | 14.2 | 13.8 | 885 | 60.02 | 267 | 250 | | | |
| 22.6 | 8.8 | 13.9 | 920 | 42.1 | 14.2 | 13.8 | 887 | 60.02 | 267 | 250 | 275 | 273 | 276 |
| 22.6 | 8.8 | 13.9 | 920 | 40.7 | 14.2 | 13.8 | 875 | 60.00 | 266 | 252 | | | |
| 22.3 | 8.4 | 13.9 | 920 | 42.1 | 14.2 | 13.8 | 892 | 60.02 | 265 | 251 | | | |
| 22.0 | 8.4 | 13.9 | 920 | 42.6 | 14.3 | 13.8 | 915 | 60.02 | 264 | 251 | | | |
| 21.9 | 8.9 | 13.9 | 925 | 42.8 | 14.4 | 13.8 | 919 | 60.02 | 264 | 251 | 270 | 268 | 273 |
| 22.0 | 8.9 | 13.9 | 925 | 43.4 | 14.5 | 13.8 | 926 | 60.02 | 262 | 250 | | | |
| 21.7 | 9.0 | 13.9 | 920 | 43.7 | 14.5 | 13.8 | 921 | 60.04 | 260 | 248 | | | |
| 21.7 | 8.2 | 13.9 | 922 | 43.6 | 14.0 | 13.8 | 917 | 60.01 | 258 | 246 | | | |
| 22.4 | 8.2 | 13.9 | 920 | 42.6 | 13.9 | 13.8 | 902 | 60.02 | 262 | 250 | 270 | 268 | 276 |
| 22.3 | 8.0 | 13.9 | 920 | 43.2 | 14.0 | 13.8 | 910 | 60.01 | 262 | 250 | | | |
| 22.2 | 8.2 | 13.9 | 920 | 43.2 | 14.0 | 13.8 | 909 | 60.00 | 265 | 252 | | | |
| 21.8 | 8.2 | 13.9 | 922 | 42.9 | 14.0 | 13.8 | 911 | 60.02 | 264 | 252 | | | |
| 21.8 | 8.0 | 13.9 | 920 | 43.5 | 14.0 | 13.8 | 905 | 60.01 | 265 | 252 | 270 | 269 | 275 |
| 21.8 | 8.0 | 13.9 | 920 | 43.5 | 14.0 | 13.8 | 905 | 60.01 | 25 | 253 | | | |
| 22.0 | 8.0 | 13.9 | 920 | 43.5 | 14.0 | 13.8 | 906 | 60.01 | 267 | 255 | | | |
| 22.1 | 8.1 | 13.9 | 920 | 43.3 | 14.1 | 13.8 | 906 | 60.02 | 267 | 255 | | | |
| 22.3 | 8.2 | 13.9 | 920 | 43.1 | 14.1 | 13.8 | 896 | 60.03 | 267 | 255 | | | |
| 22.3 | 8.2 | 13.9 | 920 | 42.7 | 14.1 | 13.8 | 895 | 60.03 | 267 | 255 | | | |
| 22.3 | 8.2 | 13.9 | 920 | 42.7 | 14.1 | 13.8 | 895 | 60.03 | 267 | 255 | | | |
| | 202.1 | | | 340.6 | | | | | | | | | |
| 22.2 | 8.4 | 13.9 | 921 | 43.0 | 14.2 | 13.8 | 902 | 60.02 | 25 | 246 | 270 | 268 | 273 |
| | | 13.9 | 925 | | | 13.8 | 926 | 60.04 | 268 | 255 | 275 | 273 | 276 |

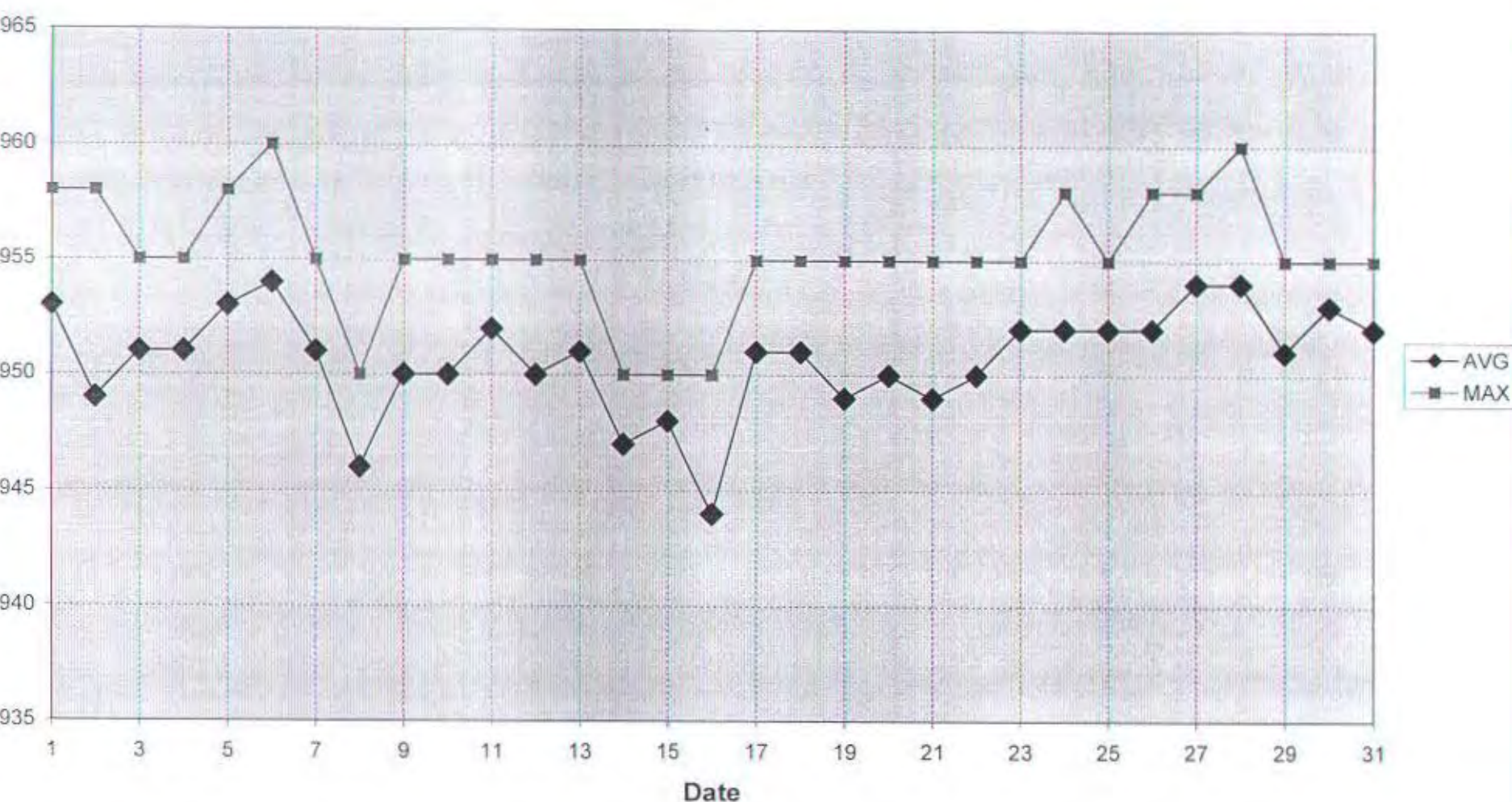
0:00

| | | | | | | | | |
|--------------------------|-------|--|-------|--|-------|--|-------|--|
| TB. SHUT DOWN | | | | | | | | |
| OFF LINE AT | | | | | | | | |
| SHUT DOWN AT | | | | | | | | |
| NORMAL | TIMES | | TIMES | | TIMES | | TIMES | |
| FORCE | TIMES | | TIMES | | TIMES | | TIMES | |
| TB. START UP | | | | | | | | |
| STAR UP AT | | | | | | | | |
| ON LINE AT | | | | | | | | |
| ATTEMPT | TIMES | | TIMES | | TIMES | | TIMES | |
| BIL BEFORE FLAME MAN | TIMES | | TIMES | | TIMES | | TIMES | |
| BIL BEFORE FLAME AUTO | TIMES | | TIMES | | TIMES | | TIMES | |
| AILAFTER FLAME MAN | TIMES | | TIMES | | TIMES | | TIMES | |
| AILAFTER FLAME AUTO | TIMES | | TIMES | | TIMES | | TIMES | |
| NUTSHELL | | | | | | | | |
| MW | | | | | | | | |
| MVAR | | | | | | | | |
| TOTAL NUTSHELL | LBS | | LBS | | LBS | | LBS | |
| AMB. TEMP | ° F | | ° F | | ° F | | ° F | |
| PCD INCREASE | PSIG | | PSIG | | PSIG | | PSIG | |
| EXH. TEMP DOWN | ° F | | ° F | | ° F | | ° F | |
| MAX. LOAD BEFORE | | | | | | | | |
| MW | | | | | | | | |
| EXH. TEMP | ° F | | ° F | | ° F | | ° F | |
| MAX. LOAD AFTER | | | | | | | | |
| MW | | | | | | | | |
| EXH. TEMP | ° F | | ° F | | ° F | | ° F | |
| PEAK ON GAS | | | | | | | | |
| MW | | | | | | | | |
| MVAR | | | | | | | | |
| AMB. TEMP | ° F | | ° F | | ° F | | ° F | |
| EXH TEMP HIGHEST | ° F | | ° F | | ° F | | ° F | |
| PEAK TIMES | | | | | | | | |
| PEAK HOURS | HRS | | HRS | | HRS | | HRS | |
| LUBE OIL CONSUMP. | DRUMS | | DRUMS | | DRUMS | | DRUMS | |

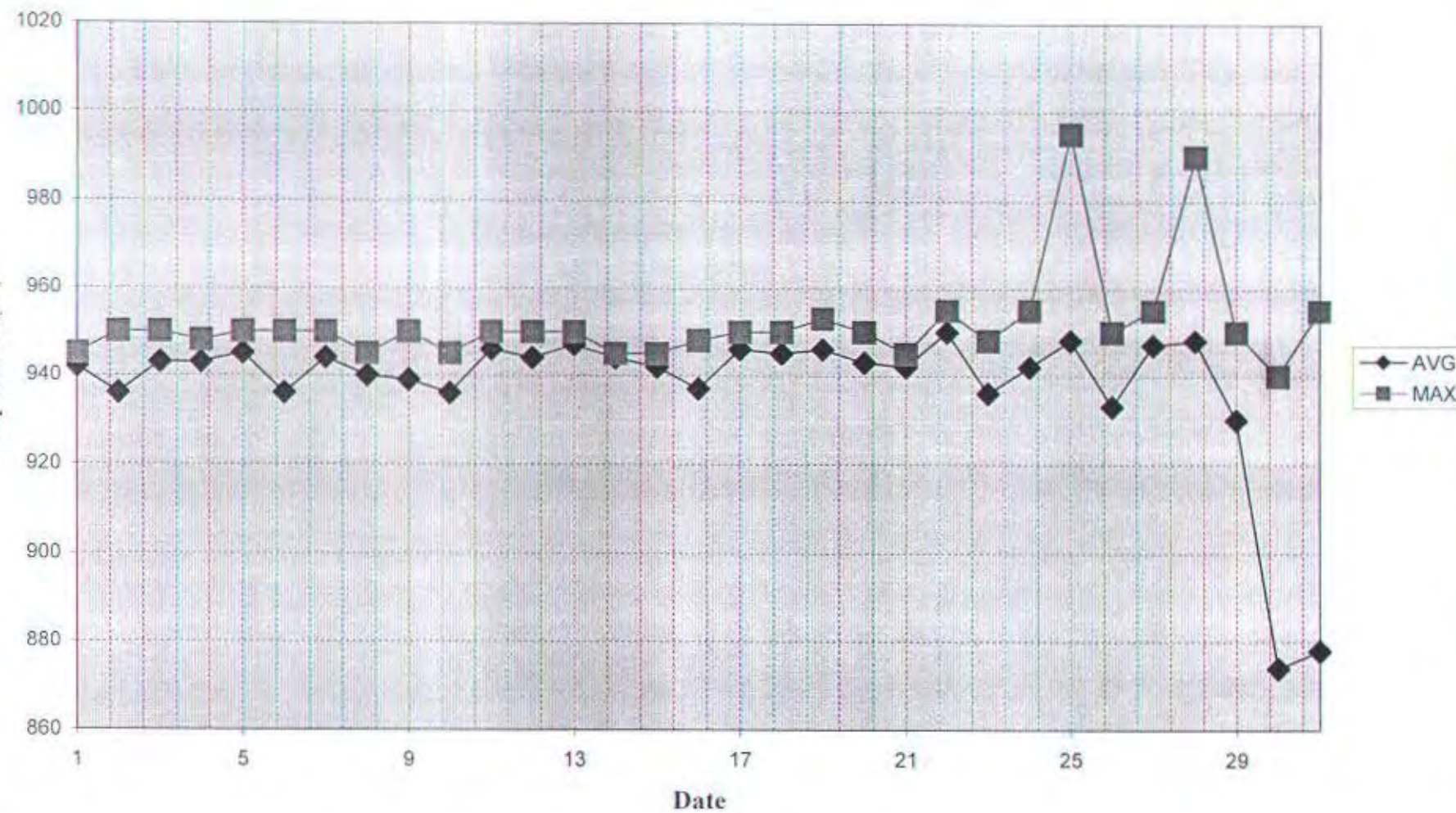
CGT # 1 Exhaust Temp. Curve
Aug-2000



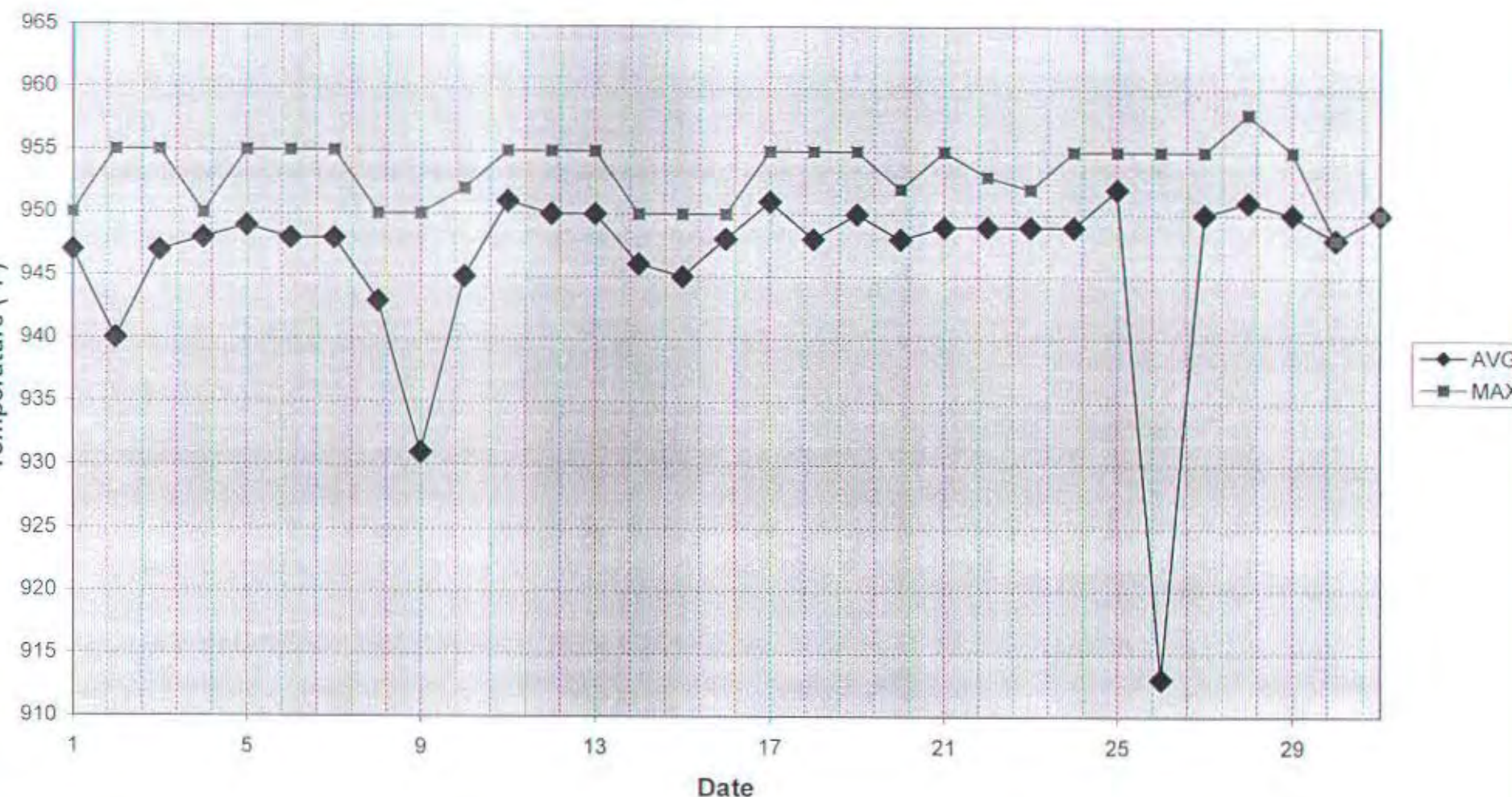
CGT # 2 Exhaust Temp. Curve
Aug-2000



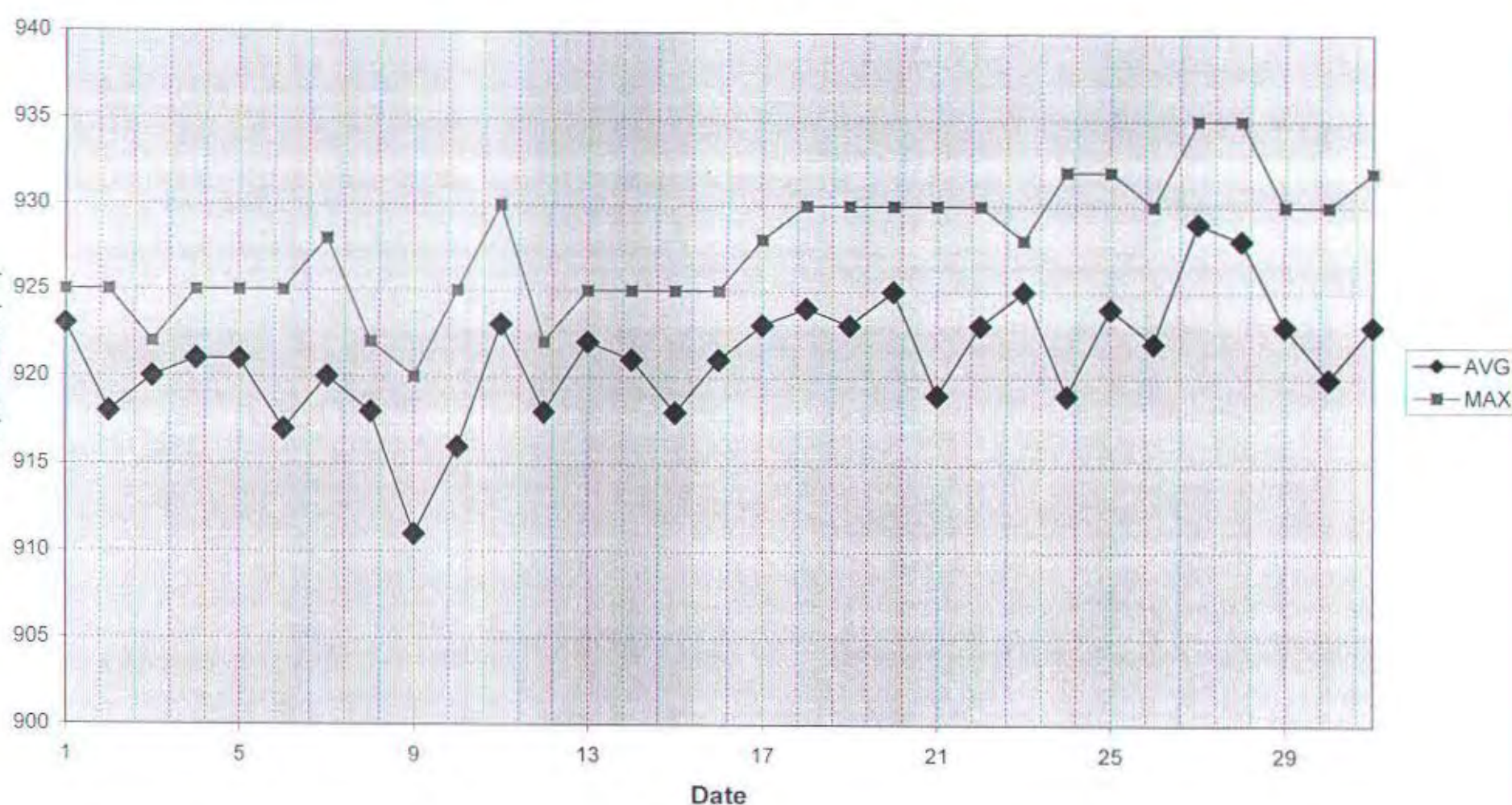
CGT # 3 Exhaust Temp. Curve
Aug-2000



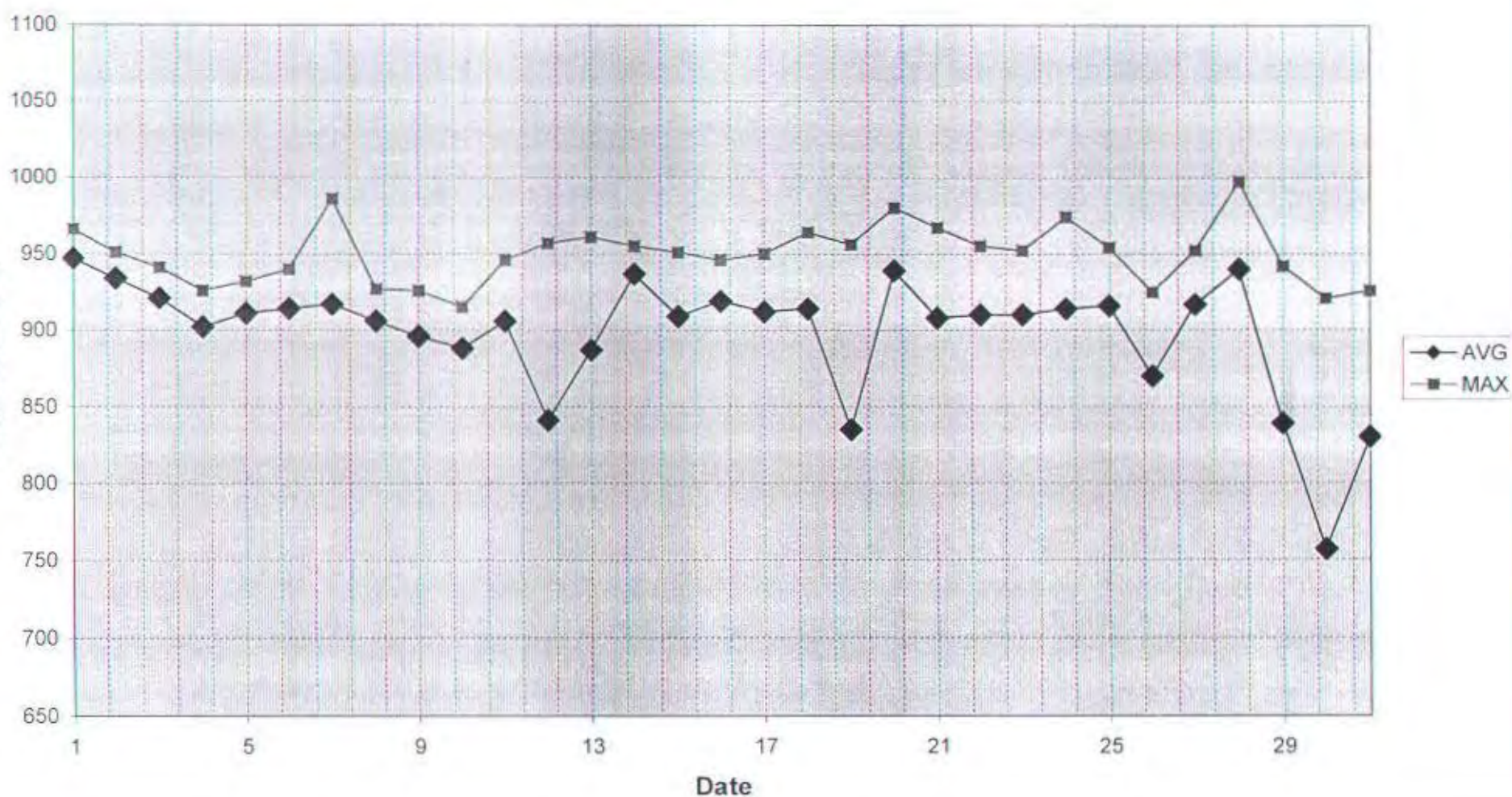
CGT # 4 Exhaust Temp. Curve
Aug-2000



CGT # 5 Exhaust Temp. Curve
Aug-2000



CGT # 6 Exhaust Temp. Curve
Aug-2000



& MWH MONTHLY RECORD - PG&T (SUMMARY DAY REPORT)

04 AUGUST 2000

& MWH MONTHLY RECORD - PG&T (SUMMARY DAY REPORT)

05 AUGUST 2000

& MWH MONTHLY RECORD - PG&T (SUMMARY DAY REPORT)

06 AUGUST 2000

& MWH MONTHLY RECORD - PG&T (SUMMARY DAY REPORT)

10 AUGUST 2000

MWH MONTHLY RECORD - PG&T (SUMMARY DAY REPORT)

11 AUGUST 2000

& MWH MONTHLY RECORD - PG&T (SUMMARY DAY REPORT)

12 AUGUST 2000

MWH MONTHLY RECORD - PG&T (SUMMARY DAY REPORT)

13 AUGUST 2000

MWH MONTHLY RECORD - PG&T (SUMMARY DAY REPORT)

14 AUGUST 2006

MWH MONTHLY RECORD - PG&T (SUMMARY DAY REPORT)

15 AUGUST 2006

MWH MONTHLY RECORD - PG&T (SUMMARY DAY REPORT)

16 AUGUST 2

MWH MONTHLY RECORD - PG&T (SUMMARY DAY REPORT)

23 AUGUST 2

MWH MONTHLY RECORD - PG&T (SUMMARY DAY REPORT)

24 AUGUST 2

| WH MONTHLY RECORD - PG&T (SUMMARY DAY REPORT) | | | | | | | | | | | | | | 28 AUGUST | | | | |
|---|---------------------------------|-----------------------|------------------------|-------------------------|-------------------------|--------------|------------------|-------------------|-------------------------|-----------------------------|-----------------------------|------|-------|-----------|-------------------|---------------------|-------------|----------|
| RUNNING HOURS | | | | | MEGAWATT-HOURS | | | | LIQUID FUEL CONSUMPTION | | | | | OTHERS | | | | |
| TOTAL HOURS READING) | TOTAL GAS HOURS (READING) | GAS HOURS TODAY | DIST HOURS TODAY | CRUDE HOURS TODAY | TOTAL MWH READING | MWH TODAY | MWH ON GAS | MWH ON DIST | MWH ON CRUDE | LIQ.FM. TOTAL READING | LIQ.FUEL TODAY (BBLS) | DIST | CRUDE | RATE | AVE TEMP °F | HP. FiLter RHRs. | PEAK HRS | PRE B |
| 4,679.9 | 65,253.3 | | | | 22,865 | | | | | 89,589.20 | | | | | | 11.87 | | KS |
| Repair | 68,306.7 | | | | 24,701 | | | | | 252,639.20 | | | | | | | | KS |
| 8,663.6 | 67,307.9 | 24.00 | | | 17,589 | 173 | 173 | | | 294,932.00 | | | | | 658.7083 | 33.92 | | KS |
| 1,131.0 | 74,006.8 | 24.00 | | | 7,960 | 175 | 175 | | | 112,396.50 | | | | | 686 | | | KS |
| 5,489.8 | Failure | 24.00 | | | 301,057 | 190 | 190 | | | 2,409,617.00 | | | | | 772.5625 | | | KS |
| | | 72.00 | | | 538 | 538 | | | | | | | | | | | | |

| WH MONTHLY RECORD - PG&T (SUMMARY DAY REPORT) | | | | | | | | | | | | | | 29 AUGUST | | | | |
|---|---------------------------------|-----------------------|------------------------|-------------------------|-------------------------|--------------|------------------|-------------------|-------------------------|-----------------------------|-----------------------------|------|-------|-----------|-------------------|---------------------|-------------|----------|
| RUNNING HOURS | | | | | MEGAWATT-HOURS | | | | LIQUID FUEL CONSUMPTION | | | | | OTHERS | | | | |
| TOTAL HOURS READING) | TOTAL GAS HOURS (READING) | GAS HOURS TODAY | DIST HOURS TODAY | CRUDE HOURS TODAY | TOTAL MWH READING | MWH TODAY | MWH ON GAS | MWH ON DIST | MWH ON CRUDE | LIQ.FM. TOTAL READING | LIQ.FUEL TODAY (BBLS) | DIST | CRUDE | RATE | AVE TEMP °F | HP. FiLter RHRs. | PEAK HRS | PRE B |
| 4,679.9 | 65,253.3 | | | | 22,865 | | | | | 89,589.20 | | | | | | 11.87 | | YU |
| Repair | 68,307.7 | | | | 24,701 | | | | | 252,639.20 | | | | | | | | YU |
| 8,687.6 | 67,331.9 | 24.00 | | | 17,743 | 154 | 154 | | | 294,932.00 | | | | | 636 | 33.92 | | YU |
| 1,155.0 | 74,030.8 | 24.00 | | | 8,147 | 187 | 187 | | | 112,396.50 | | | | | 703 | | | YU |
| 5,513.8 | Failure | 24.00 | | | 301,271 | 214 | 214 | | | 2,409,617.00 | | | | | 838 | | | YU |
| | | 72.00 | | | 555 | 555 | | | | | | | | | | | | |

| WH MONTHLY RECORD - PG&T (SUMMARY DAY REPORT) | | | | | | | | | | | | | | 30 AUGUST | | | | |
|---|---------------------------------|-----------------------|------------------------|-------------------------|-------------------------|--------------|------------------|-------------------|-------------------------|-----------------------------|-----------------------------|-------|-------|-----------|-------------------|---------------------|-------------|----------|
| RUNNING HOURS | | | | | MEGAWATT-HOURS | | | | LIQUID FUEL CONSUMPTION | | | | | OTHERS | | | | |
| TOTAL HOURS READING) | TOTAL GAS HOURS (READING) | GAS HOURS TODAY | DIST HOURS TODAY | CRUDE HOURS TODAY | TOTAL MWH READING | MWH TODAY | MWH ON GAS | MWH ON DIST | MWH ON CRUDE | LIQ.FM. TOTAL READING | LIQ.FUEL TODAY (BBLS) | DIST | CRUDE | RATE | AVE TEMP °F | HP. FiLter RHRs. | PEAK HRS | PRE B |
| 4,680.8 | 65,254.7 | 0.60 | | | 22,865 | | | | | 89,589.20 | | | | | 675 | 11.87 | | YI |
| Repair | 68,307.7 | | | | 24,701 | | | | | 252,639.20 | | | | | | | | YI |
| 8,698.4 | 67,342.6 | 10.65 | | | 17,615 | 72 | 72 | | | 294,932.00 | | | | | 638 | 33.92 | | YI |
| 11,179.0 | 74,054.8 | 24.00 | | | 8,351 | 204 | 204 | | | 112,396.50 | | | | | 732 | | | YI |
| 35,537.8 | Failure | 23.10 | | | 301,495 | 224 | 216 | 8 | | 2,409,641 | 24.00 | 24.00 | | 3.00 | 855 | 1.25 | | YI |
| | | 58.35 | | | 500 | 492 | 8 | | | | 24.00 | 24.00 | | | | | | |

CGT # 1 AUGUST 2000

| D A T E | COUNTERS | | | | UNIT RUN | | | | MEGAWATT HOURS | | | | | | LIQ. FUEL CONS. | | | | | | UNIT DOWN | | | | | | | | | | | | | |
|------------------|----------------|------------|------------------|---------------|-------------|------------|------------|-------|----------------|------|------|-------|-----------|--------|-----------------|----------------|-----------------|---------------|-----|------|----------------------|-------------------|-----------|------|-------|----------|-----------------|--------------|----------------|---------------|------------|----|-------|--------|
| | TURBINE HRS | GAS HRS | HP FILTER HRS | PEAK HOURS | PEAK HRS | GAS HRS | QUID HOURS | | | | TODA | | EXH. TEMP | | MWH COUNTER | TOTAL M.W.H | M.W.H ON GAS | MWH ON LIQUID | | | FLOW MTR (Barrel) | LIQUID FUEL TODAY | | | RATE | S HRS | NOT STANDBY | | | HOURS | | | | |
| | | | | | | | DIST | CRUDE | TOTAL | (°F) | (°F) | TODAY | (HRS) | (HRS) | (HRS) | MAX | Avg | TODAY | GAS | DIST | CRUD | TOTA | DIST | FSLN | TOTAL | CRUD | TOTAL (BBLs) | BBLS/ MWH | UNSC REPAIR | FORCE OUTG | INSPECTION | GI | HGP | M.D. |
| 1 | 14,671.0 | 65,245.8 | 11.87 | | 1,673.5 | | | | | | | | | | | | | | | | | | 89,589.20 | | | | | | | 24.00 | | | | 24.00 |
| 2 | 14,671.0 | 65,245.8 | 11.87 | | 1,673.5 | | | | | | | | | | | | | | | | | | 89,589.20 | | | | | | | 24.00 | | | | 24.00 |
| 3 | 14,671.0 | 65,245.8 | 11.87 | | 1,673.5 | | | | | | | | | | | | | | | | | | 89,589.20 | | | | | | | 24.00 | | | | 24.00 |
| 4 | 14,671.0 | 65,245.8 | 11.87 | | 1,673.5 | | | | | | | | | | | | | | | | | | 89,589.20 | | | | | | | 24.00 | | | | 24.00 |
| 5 | 14,671.0 | 65,245.8 | 11.87 | | 1,673.5 | | | | | | | | | | | | | | | | | | 89,589.20 | | | | | | | 24.00 | | | | 24.00 |
| 6 | 14,671.0 | 65,245.8 | 11.87 | | 1,673.5 | | | | | | | | | | | | | | | | | | 89,589.20 | | | | | | | 24.00 | | | | 24.00 |
| 7 | 14,671.0 | 65,245.8 | 11.87 | | 1,673.5 | | | | | | | | | | | | | | | | | | 89,589.20 | | | | | | | 24.00 | | | | 24.00 |
| 8 | 14,671.0 | 65,245.8 | 11.87 | | 1,673.5 | | | | | | | | | | | | | | | | | | 89,589.20 | | | | | | | 24.00 | | | | 24.00 |
| 9 | 14,671.0 | 65,245.8 | 11.87 | | 1,673.5 | | | | | | | | | | | | | | | | | | 89,589.20 | | | | | | | 24.00 | | | | 24.00 |
| 10 | 14,671.0 | 65,245.8 | 11.87 | | 1,673.5 | | | | | | | | | | | | | | | | | | 89,589.20 | | | | | | | 24.00 | | | | 24.00 |
| 11 | 14,671.0 | 65,245.8 | 11.87 | | 1,673.5 | | | | | | | | | | | | | | | | | | 89,589.20 | | | | | | | 24.00 | | | | 24.00 |
| 12 | 14,671.0 | 65,245.8 | 11.87 | | 1,673.5 | | | | | | | | | | | | | | | | | | 89,589.20 | | | | | | | 24.00 | | | | 24.00 |
| 13 | 14,671.0 | 65,245.8 | 11.87 | | 1,673.5 | | | | | | | | | | | | | | | | | | 89,589.20 | | | | | | | 24.00 | | | | 24.00 |
| 14 | 14,671.0 | 65,245.8 | 11.87 | | 1,673.5 | | | | | | | | | | | | | | | | | | 89,589.20 | | | | | | | 24.00 | | | | 24.00 |
| 15 | 14,671.0 | 65,245.8 | 11.87 | | 1,673.5 | | | | | | | | | | | | | | | | | | 89,589.20 | | | | | | | 24.00 | | | | 24.00 |
| 16 | 14,671.0 | 65,245.8 | 11.87 | | 1,673.5 | | | | | | | | | | | | | | | | | | 89,589.20 | | | | | | | 24.00 | | | | 24.00 |
| 17 | 14,671.0 | 65,245.8 | 11.87 | | 1,673.5 | | | | | | | | | | | | | | | | | | 89,589.20 | | | | | | | 24.00 | | | | 24.00 |
| 18 | 14,671.0 | 65,245.8 | 11.87 | | 1,673.5 | | | | | | | | | | | | | | | | | | 89,589.20 | | | | | | | 24.00 | | | | 24.00 |
| 19 | 14,673.7 | 65,247.6 | 11.87 | | 1,673.5 | | | | | | | | | | | | | | | | | | 89,589.20 | | | | | | | 24.00 | | | | 24.00 |
| 20 | 14,673.7 | 65,247.6 | 11.87 | | 1,673.5 | | | | | | | | | | | | | | | | | | 89,589.20 | | | | | | | 24.00 | | | | 24.00 |
| 21 | 14,673.7 | 65,247.6 | 11.87 | | 1,673.5 | | | | | | | | | | | | | | | | | | 89,589.20 | | | | | | | 24.00 | | | | 24.00 |
| 22 | 14,673.7 | 65,247.6 | 11.87 | | 1,673.5 | | | | | | | | | | | | | | | | | | 89,589.20 | | | | | | | 24.00 | | | | 24.00 |
| 23 | 14,675.6 | 65,249.5 | 11.87 | | 1,673.5 | | | | | | | | | | | | | | | | | | 89,589.20 | | | | | | | 24.00 | | | | 24.00 |
| 24 | 14,677.8 | 65,251.7 | 11.87 | | 1,673.5 | 0.67 | | | | | 745 | 745 | | 22,862 | 4 | 4 | | | | | | | 89,589.20 | | | | | | | 23.33 | | | | 23.33 |
| 25 | 14,679.5 | 65,253.3 | 11.87 | | 1,673.5 | 0.59 | | | | | 675 | 675 | | 22,865 | 3 | 3 | | | | | | | 89,589.20 | | | | | | | 23.41 | | | | 23.41 |
| 26 | 14,679.9 | 65,253.3 | 11.87 | | 1,673.5 | | | | | | | | | | | | | | | | | | 89,589.20 | | | | | | | 24.00 | | | | 24.00 |
| 27 | 14,679.9 | 65,253.3 | 11.87 | | 1,673.5 | | | | | | | | | | | | | | | | | | 89,589.20 | | | | | | | 24.00 | | | | 24.00 |
| 28 | 14,679.9 | 65,253.3 | 11.87 | | 1,673.5 | | | | | | | | | | | | | | | | | | 89,589.20 | | | | | | | 24.00 | | | | 24.00 |
| 29 | 14,680.8 | 65,254.7 | 11.87 | | 1,673.5 | 0.60 | | | | | 675 | 675 | | 22,865 | | | | | | | | 89,589.20 | | | | | | | 24.00 | | | | 24.00 | |
| 30 | 14,680.8 | 65,254.7 | 11.87 | | 1,673.5 | | | | | | | | | | | | | | | | | | 89,589.20 | | | | | | | 23.40 | | | | 23.40 |
| 31 | 14,680.8 | 65,254.7 | 11.87 | | 1,673.5 | | | | | | | | | | | | | | | | | | 89,589.20 | | | | | | | 24.00 | | | | 24.00 |
| TOT | | | | | | 1.06 | | | | | 699 | 699 | 7 | 7 | | | | | | | | | | | | | | | | 742.14 | | | | 742.14 |

3 AUGUST 2000

| COUNTERS | | | | | UNIT RUN | | | | | MEGAWATT HOURS | | | | | LIQ. FUEL CONS. | | | | | UNIT DOWN | | | | | | | |
|-------------|-------------|--------------------|---------------|--------------|------------|--------------------|-------|-------|-----------|----------------|----------------|-----------------------|---------------|---------------|-----------------|------|----------------------|-------------------|-------|-----------|-------|----------|------------------|---------------|------------|-------|-----|
| E N D | GAS RHRs | HP, Filter RHRs | PEAK HOURS | PEAK RHRs | GAS HRS | LIQUID HOURS TODAY | | | EXH. TEMP | | MWH COUNTER | TOTAL MWH TODAY | MWH ON GAS | MWH ON LIQUID | | | FLOW-MTR (Barrel) | LIQUID FUEL TODAY | | | RATE | S HRS | NOT STANDBY HOUR | | | | |
| | | | | | | DIST | CRUDE | TOTAL | (°F) | (°F) | | | | DIST | CRU | TOTA | | DIST | CRU | TOTAL | | | UNSch. REPAIR | FORCE OUTG | INSPECTION | C1 | HGP |
| 8 | 66,756.3 | 33.59 | 257.7 | 257.7 | GAS HRS | LIQUID HOURS TODAY | | | EXH. TEMP | | MWH COUNTER | TOTAL MWH TODAY | MWH ON GAS | MWH ON LIQUID | | | FLOW-MTR (Barrel) | LIQUID FUEL TODAY | | | RATE | S HRS | NOT STANDBY HOUR | | | | |
| 8 | 66,756.3 | 33.59 | | | | DIST | CRUDE | TOTAL | (°F) | (°F) | | | | DIST | CRU | TOTA | | DIST | CRU | TOTAL | | | UNSch. REPAIR | FORCE OUTG | INSPECTION | C1 | HGP |
| 5 | 66,756.3 | 33.59 | 257.7 | | | | | | | | 13,302 | | | | | | 294,919.90 | | | | | 24.00 | | | | | |
| 8 | 66,756.3 | 33.59 | 257.7 | | | | | | | | 13,302 | | | | | | 294,919.90 | | | | | 24.00 | | | | | |
| 8 | 66,756.3 | 33.59 | 257.7 | | | | | | | | 13,302 | | | | | | 294,919.90 | | | | | 24.00 | | | | | |
| 8 | 66,756.3 | 33.59 | 257.7 | | | | | | | | 13,302 | | | | | | 294,919.90 | | | | | 24.00 | | | | | |
| 3 | 66,785.7 | 33.67 | 257.7 | 257.7 | 24.00 | 0.08 | 0.08 | 780 | 779 | 13,397 | 95 | 94 | 1 | 1 | 294,922.90 | 3.00 | 3.00 | 3.00 | 8.96 | 5.50 | | | | | | | |
| 3 | 66,789.8 | 33.67 | 257.7 | 257.7 | 24.00 | | | 780 | 768 | 13,631 | 234 | 234 | | | 294,922.90 | | | | | | | | | | | | |
| 4 | 66,813.8 | 33.67 | 257.7 | 257.7 | 24.00 | | | 780 | 768 | 13,887 | 238 | 235 | | | 294,922.90 | | | | | | | | | | | | |
| 4 | 66,837.7 | 33.92 | 257.7 | 257.7 | 23.75 | 0.25 | 0.25 | 853 | 859 | 14,122 | 255 | 252 | 3 | 3 | 294,932.00 | 9.10 | 8.10 | 8.03 | | | | | | | | | |
| 6 | 66,851.7 | 33.92 | 257.7 | 257.7 | 24.00 | | | 822 | 822 | 14,366 | 244 | 244 | | | 294,932.00 | | | | | | | | | | | | |
| 4 | 66,885.7 | 33.92 | 257.7 | 257.7 | 24.00 | | | 760 | 714 | 14,570 | 204 | 204 | | | 294,932.00 | | | | | | | | | | | | |
| 3 | 66,909.6 | 33.92 | 257.7 | 257.7 | 24.00 | | | 731 | 687 | 14,755 | 185 | 185 | | | 294,932.00 | | | | | | | | | | | | |
| 5 | 66,933.7 | 33.92 | 257.7 | 257.7 | 24.00 | | | 710 | 684 | 14,936 | 181 | 181 | | | 294,932.00 | | | | | | | | | | | | |
| 5 | 66,957.7 | 33.92 | 257.7 | 257.7 | 24.00 | | | 768 | 689 | 15,120 | 184 | 184 | | | 294,932.00 | | | | | | | | | | | | |
| 5 | 66,981.7 | 33.92 | 257.7 | 257.7 | 24.00 | | | 731 | 689 | 15,299 | 179 | 179 | | | 294,932.00 | | | | | | | | | | | | |
| 5 | 67,005.7 | 33.92 | 257.7 | 257.7 | 24.00 | | | 697 | 663 | 15,488 | 169 | 169 | | | 294,932.00 | | | | | | | | | | | | |
| 5 | 67,029.7 | 33.92 | 257.7 | 257.7 | 24.00 | | | 651 | 633 | 15,613 | 165 | 165 | | | 294,932.00 | | | | | | | | | | | | |
| 5 | 67,053.7 | 33.92 | 257.7 | 257.7 | 24.00 | | | 847 | 627 | 15,752 | 139 | 139 | | | 294,932.00 | | | | | | | | | | | | |
| 5 | 67,077.7 | 33.92 | 257.7 | 257.7 | 24.00 | | | 657 | 642 | 15,909 | 157 | 157 | | | 294,932.00 | | | | | | | | | | | | |
| 6 | 67,101.4 | 33.92 | 257.7 | 257.7 | 24.00 | | | 687 | 654 | 16,081 | 172 | 172 | | | 294,932.00 | | | | | | | | | | | | |
| 6 | 67,125.9 | 33.92 | 257.7 | 257.7 | 24.00 | | | 685 | 672 | 16,267 | 186 | 186 | | | 294,932.00 | | | | | | | | | | | | |
| 5 | 67,149.9 | 33.92 | 257.7 | 257.7 | 24.00 | | | 700 | 653 | 16,439 | 172 | 172 | | | 294,932.00 | | | | | | | | | | | | |
| 6 | 67,173.9 | 33.92 | 257.7 | 257.7 | 24.00 | | | 742 | 663 | 16,616 | 177 | 177 | | | 294,932.00 | | | | | | | | | | | | |
| 6 | 67,197.9 | 33.92 | 257.7 | 257.7 | 24.00 | | | 680 | 645 | 16,778 | 162 | 162 | | | 294,932.00 | | | | | | | | | | | | |
| 5 | 67,221.9 | 33.92 | 257.7 | 257.7 | 24.00 | | | 694 | 634 | 16,937 | 159 | 159 | | | 294,932.00 | | | | | | | | | | | | |
| 6 | 67,245.9 | 33.92 | 257.7 | 257.7 | 24.00 | | | 682 | 645 | 17,101 | 164 | 164 | | | 294,932.00 | | | | | | | | | | | | |
| 6 | 67,259.9 | 33.92 | 257.7 | 257.7 | 24.00 | | | 692 | 647 | 17,267 | 166 | 166 | | | 294,932.00 | | | | | | | | | | | | |
| 6 | 67,283.9 | 33.92 | 257.7 | 257.7 | 24.00 | | | 648 | 616 | 17,416 | 149 | 149 | | | 294,932.00 | | | | | | | | | | | | |
| 6 | 67,307.9 | 33.92 | 257.7 | 257.7 | 24.00 | | | 899 | 659 | 17,589 | 173 | 173 | | | 294,932.00 | | | | | | | | | | | | |
| 6 | 67,331.9 | 33.92 | 257.7 | 257.7 | 24.00 | | | 726 | 638 | 17,743 | 154 | 154 | | | 294,932.00 | | | | | | | | | | | | |
| 4 | 67,342.6 | 33.92 | 257.7 | 257.7 | 10.65 | | | 672 | 608 | 17,816 | 72 | 72 | | | 294,932.00 | | | | | | | | | | 13.10 | 0.25 | |
| 4 | 67,342.6 | 33.92 | 257.7 | 257.7 | | | | | | 17,816 | | | | | 294,932.00 | | | | | | | | | | 8.50 | 15.50 | |
| | | | | | | 595.86 | 0.33 | 0.33 | 719 | 679 | | | | 4,513 | 4,509 | 4 | 4 | | 12.10 | | 12.10 | 3.02 | 113.46 | 34.10 | 0.25 | | |

4 AUGUST 2000

| COUNTERS | | | | | UNIT RUN | | | | | MEGAWATT HOURS | | | | | LIQ. FUEL CONS. | | | | | UNIT DOWN | | | | | | | | | |
|------------|-------------|--------------------|------------------------|-----------------------|---------------------|--------------------|-------|-------|------------|----------------|-------------------------|-----------------------|---------------|---------------|-----------------|------|----------------------|-------------------|------|-----------|--------------|----------|-----------------|-------------|----|-----|---|--------|-------|
| BINE RS | GAS RHRs | HP. Filter RHRs | PEAK HOURS TODAY | PEAK RHRs TODAY | GAS HRs TODAY | LIQUID HOURS TODAY | | | EXH. TEMP. | | MWH COUNTER 3,560 | TOTAL MWH TODAY | MWH ON GAS | MWH ON LIQUID | | | FLOW-MTR (Barrel) | LIQUID FUEL TODAY | | | RATE | S HRS | NOT STANDBY HOU | | | | | | |
| | | | | | | DIST | CRUDE | TOTAL | (°F) | (°F) | | | | DIST | CRU | TOTA | | DIST FINL | DEBT | CRUD | TOTAL (BBLs) | | UNSC. FORCE | REPAIR OUTG | DI | HGP | M | | |
| | | | | | | (HRS) | (HRS) | (HRS) | MAX | Avg | | | | DIST | CRU | TOTA | | 112,396.50 | | | | | | | | | | | |
| 78.1 | 73,453.8 | | | 120.0 | 120.0 | 24.00 | | | 562 | 612 | 3,810 | 250 | 250 | | | | 112,396.50 | | | | | | | | | | | | |
| 82.1 | 73,477.8 | | | 120.0 | 120.0 | 24.00 | | | 792 | 770 | 4,034 | 224 | 224 | | | | 112,396.50 | | | | | | | | | | | | |
| 26.1 | 73,501.8 | | | 120.0 | 120.0 | 24.00 | | | 888 | 794 | 4,274 | 240 | 240 | | | | 112,396.50 | | | | | | | | | | | | |
| 50.1 | 73,525.8 | | | 120.0 | 120.0 | 24.00 | | | 792 | 733 | 4,475 | 201 | 201 | | | | 112,396.50 | | | | | | | | | | | | |
| 74.1 | 73,549.8 | | | 120.0 | 120.0 | 24.00 | | | 803 | 783 | 4,704 | 229 | 229 | | | | 112,396.50 | | | | | | | | | | | | |
| 68.1 | 73,573.8 | | | 120.0 | 120.0 | 24.00 | | | 780 | 738 | 4,906 | 202 | 202 | | | | 112,396.50 | | | | | | | | | | | | |
| 22.3 | 73,588.0 | | | 120.0 | 120.0 | 24.00 | | | 785 | 757 | 5,118 | 212 | 212 | | | | 112,396.50 | | | | | | | | | | | | |
| 46.3 | 73,622.0 | | | 120.0 | 120.0 | 24.00 | | | 847 | 787 | 5,344 | 220 | 226 | | | | 112,396.50 | | | | | | | | | | | | |
| 70.4 | 73,646.1 | | | 120.0 | 120.0 | 24.00 | | | 885 | 771 | 5,562 | 216 | 218 | | | | 112,396.50 | | | | | | | | | | | | |
| 94.4 | 73,670.1 | | | 120.0 | 120.0 | 24.00 | | | 733 | 892 | 5,735 | 173 | 173 | | | | 112,396.50 | | | | | | | | | | | | |
| 18.4 | 73,694.1 | | | 120.0 | 120.0 | 24.00 | | | 721 | 679 | 5,838 | 103 | 103 | | | | 112,396.50 | | | | | | | | | | | | |
| 34.2 | 73,709.9 | | | 120.0 | 120.0 | 15.66 | | | | | | | | | | | 112,396.50 | | | | | | | | | | | | 8.34 |
| 34.2 | 73,709.9 | | | 120.0 | 120.0 | | | | | | | | | | | | 112,396.50 | | | | | | | | | | | | 12.00 |
| 34.2 | 73,709.9 | | | 120.0 | 120.0 | | | | | | | | | | | | 112,396.50 | | | | | | | | | | | | 24.00 |
| 34.2 | 73,709.9 | | | 120.0 | 120.0 | | | | | | | | | | | | 112,396.50 | | | | | | | | | | | | 24.00 |
| 34.2 | 73,709.9 | | | 120.0 | 120.0 | | | | | | | | | | | | 112,396.50 | | | | | | | | | | | | 24.00 |
| 142.9 | 73,713.9 | | | 120.0 | 120.0 | | | | | | | | | | | | 112,396.50 | | | | | | | | | | | | 14.92 |
| 142.9 | 73,718.6 | | | 120.0 | 120.0 | 9.08 | | | 781 | 743 | 5,910 | 72 | 72 | | | | 112,396.50 | | | | | | | | | | | | |
| 166.9 | 73,742.6 | | | 120.0 | 120.0 | 24.00 | | | 773 | 744 | 6,117 | 207 | 207 | | | | 112,396.50 | | | | | | | | | | | | |
| 190.9 | 73,766.6 | | | 120.0 | 120.0 | 24.00 | | | 688 | 872 | 6,281 | 184 | 184 | | | | 112,396.50 | | | | | | | | | | | | |
| 215.0 | 73,790.7 | | | 120.0 | 120.0 | 24.00 | | | 738 | 679 | 6,480 | 179 | 179 | | | | 112,396.50 | | | | | | | | | | | | |
| 139.0 | 73,814.7 | | | 120.0 | 120.0 | 24.00 | | | 699 | 681 | 6,622 | 162 | 182 | | | | 112,396.50 | | | | | | | | | | | | |
| 163.0 | 73,838.7 | | | 120.0 | 120.0 | 24.00 | | | 729 | 673 | 6,789 | 167 | 167 | | | | 112,396.50 | | | | | | | | | | | | |
| 187.0 | 73,862.7 | | | 120.0 | 120.0 | 24.00 | | | 732 | 678 | 6,961 | 172 | 172 | | | | 112,396.50 | | | | | | | | | | | | |
| 211.0 | 73,886.7 | | | 120.0 | 120.0 | 24.00 | | | 789 | 718 | 7,157 | 196 | 196 | | | | 112,396.50 | | | | | | | | | | | | |
| 235.0 | 73,910.7 | | | 120.0 | 120.0 | 24.00 | | | 726 | 672 | 7,329 | 172 | 172 | | | | 112,396.50 | | | | | | | | | | | | |
| 159.0 | 73,934.7 | | | 120.0 | 120.0 | 24.00 | | | 688 | 647 | 7,477 | 148 | 148 | | | | 112,396.50 | | | | | | | | | | | | |
| 283.0 | 73,958.8 | | | 120.0 | 120.0 | 24.00 | | | 734 | 660 | 7,636 | 159 | 159 | | | | 112,396.50 | | | | | | | | | | | | |
| 107.0 | 73,982.8 | | | 120.0 | 120.0 | 24.00 | | | 653 | 633 | 7,785 | 149 | 149 | | | | 112,396.50 | | | | | | | | | | | | |
| 131.0 | 74,006.8 | | | 120.0 | 120.0 | 24.00 | | | 704 | 686 | 7,960 | 175 | 175 | | | | 112,396.50 | | | | | | | | | | | | |
| 155.0 | 74,030.8 | | | 120.0 | 120.0 | 24.00 | | | 812 | 703 | 8,147 | 187 | 187 | | | | 112,396.50 | | | | | | | | | | | | |
| 179.0 | 74,054.8 | | | 120.0 | 120.0 | 24.00 | | | 827 | 732 | 8,351 | 204 | 204 | | | | 112,396.50 | | | | | | | | | | | | |
| 203.0 | 74,078.8 | | | 120.0 | 120.0 | 24.00 | | | 815 | 792 | 8,601 | 250 | 250 | | | | 112,396.50 | | | | | | | | | | | | |
| | | | | | | 624.74 | | | 772 | 719 | 5,041 | 5,041 | 5,041 | | | | | | | | | | | | | | | 107.26 | 12.00 |

| COUNTERS | | | | | | | | | | UNIT RUN | | | | MEGAWATT HOURS | | | | LIQ. FUEL CONS. | | | | UNIT DOWN | | | |
|----------|----------|-----------------|-------------|---------------------|---------------|------------|--------------------|-------------------|----------------|----------|------|----------------|-----------------------|------------------|----------------------|-------|---|----------------------|----------------------------|-------------------|-------------|-----------|--|--|--|
| D | A | TURBINE #HRS | GAS RHRS | H.P. FILTER RHRS | PEAK HOURS | GAS HRS | Liquid Hours Today | Exh Temp. (°F) | CHD/E TOTAL | (°F) | (°F) | MWH COUNTER | TOTAL MWH TODAY | MWH ON GAS | NOT STANDBY HOURS | RATE | S | NOT STANDBY HOURS | UNION FORCE REPAIR OUTG | INSPECTION C/I | MPD M.O. | TOT | | | |
| E | 65.0263 | Failure | 8.35 | Today | 186.4 | Today | 186.4 | | | | | 297,542 | 297,542 | 297,542 | 2,459,617.00 | 24.00 | | | | | | | | | |
| 1 | 65.0263 | Failure | -0.35 | | 186.4 | | | | | | | | | | | | | | | | | | | | |
| 2 | 65.0263 | Failure | 0.35 | | 186.4 | | | | | | | | | | | | | | | | | | | | |
| 3 | 65.0263 | Failure | 0.35 | | 186.4 | | | | | | | | | | | | | | | | | | | | |
| 4 | 65.0263 | Failure | -0.35 | | 186.4 | | | | | | | | | | | | | | | | | | | | |
| 5 | 65.0263 | Failure | 105.4 | | | | | | | | | | | | | | | | | | | | | | |
| 6 | 65.0263 | Failure | 186.4 | | | | | | | | | | | | | | | | | | | | | | |
| 7 | 65.0263 | Failure | 186.4 | | | | | | | | | | | | | | | | | | | | | | |
| 8 | 65.0263 | Failure | 186.4 | | | | | | | | | | | | | | | | | | | | | | |
| 9 | 65.0339 | Failure | 186.4 | | 7.25 | | | | | | | | | | | | | | | | | | | | |
| 10 | 65.02576 | Failure | 186.4 | | 24.00 | | | | | | | | | | | | | | | | | | | | |
| 11 | 65.2816 | Failure | 186.4 | | 24.00 | | | | | | | | | | | | | | | | | | | | |
| 12 | 65.1767 | Failure | 186.4 | | 24.00 | | | | | | | | | | | | | | | | | | | | |
| 13 | 65.1726 | Failure | 186.4 | | 24.00 | | | | | | | | | | | | | | | | | | | | |
| 14 | 65.1526 | Failure | 186.4 | | 24.00 | | | | | | | | | | | | | | | | | | | | |
| 15 | 65.1775 | Failure | 186.4 | | 24.00 | | | | | | | | | | | | | | | | | | | | |
| 16 | 65.2015 | Failure | 186.4 | | 24.00 | | | | | | | | | | | | | | | | | | | | |
| 17 | 65.2255 | Failure | 186.4 | | 24.00 | | | | | | | | | | | | | | | | | | | | |
| 18 | 65.2495 | Failure | 186.4 | | 24.00 | | | | | | | | | | | | | | | | | | | | |
| 19 | 65.2737 | Failure | 186.4 | | 24.00 | | | | | | | | | | | | | | | | | | | | |
| 20 | 65.2976 | Failure | 186.4 | | 24.00 | | | | | | | | | | | | | | | | | | | | |
| 21 | 65.3215 | Failure | 186.4 | | 24.00 | | | | | | | | | | | | | | | | | | | | |
| 22 | 65.3455 | Failure | 186.4 | | 24.00 | | | | | | | | | | | | | | | | | | | | |
| 23 | 65.3695 | Failure | 186.4 | | 24.00 | | | | | | | | | | | | | | | | | | | | |
| 24 | 65.3935 | Failure | 186.4 | | 24.00 | | | | | | | | | | | | | | | | | | | | |
| 25 | 65.4175 | Failure | 186.4 | | 24.00 | | | | | | | | | | | | | | | | | | | | |
| 26 | 65.4415 | Failure | 186.4 | | 24.00 | | | | | | | | | | | | | | | | | | | | |
| 27 | 65.4655 | Failure | 186.4 | | 24.00 | | | | | | | | | | | | | | | | | | | | |
| 28 | 65.4895 | Failure | 186.4 | | 24.00 | | | | | | | | | | | | | | | | | | | | |
| 29 | 65.5135 | Failure | 186.4 | | 24.00 | | | | | | | | | | | | | | | | | | | | |
| 30 | 65.5375 | Failure | 186.4 | | 23.10 | | 0.93 | | | | | | | | | | | | | | | | | | |
| 31 | 65.5615 | Failure | 186.4 | | 24.00 | | | | | | | | | | | | | | | | | | | | |
| TOT | | | | | 514.25 | 0.90 | | | | | | 873 | 795 | 4,199 | 4,199 | 8 | 8 | | 24.00 | 24.00 | 3.00 | 200.75 | | | |

E MONTHLY REPORT

AUGUST 2000

| RUNNING HOURS COUNTER | | | Operation Hours | | | | Operation Data | | | Daily Avg Exh Temp | | | | Use Factor (%) | |
|-----------------------|-----------|--------|-----------------|------------|---------|-------|----------------|-----------|------|--------------------|--|-------------|--|----------------|--|
| a | Gas | Liquid | Total | Gas | Dist | Crude | Flame Start | Emerg S/D | Trip | GE Frame V | | GE Frame VI | | | |
| | <900°F | >900°F | | <1000°F | >1000°F | | | | | | | | | | |
| 0.80 | 65,254.70 | | 14386.00 | 14386.00 | 30.00 | | 1 | 1 | | 3 | | | | 87.17 | |
| air | 68,307.70 | | 14552.00 | 14552.00 | 30.00 | | 2 | 2 | | 5 | | | | 96.81 | |
| 4.40 | 67,342.60 | | 15789.00 | 15789.00 | 30.00 | | 1 | 1 | | 26 | | | | 96.86 | |
| 3.00 | 74,078.80 | | 15159.50 | 15159.50 | 25.00 | | 1 | 1 | | 27 | | | | 90.10 | |
| 1.80 | Failure | | 15766.50 | 15766.50 | 15.00 | | 5 | 3 | | 23 | | | | 86.69 | |
| 0.20 | 70,108.40 | | 30926.00 | 30926.00 | | | 1 | 2 | | 21 | | | | 78.59 | |
| | | | 106,579.00 | 106,579.00 | 130.00 | | 11.00 | 10.00 | | 163 | | | | 88.88 | |



SURAT KEPUTUSAN PENGERJAAN TUGAS AKHIR KS 1701

Sebagai salah satu syarat untuk mendapatkan gelar Sarjana Teknik pada Jurusan Teknik Sistem Perkapalan Fakultas Teknologi Kelautan ITS, maka perlu diterbitkan Surat Keputusan Pengerjaan Tugas Akhir yang memberikan tugas kepada mahasiswa tersebut di bawah ini untuk mengerjakan tugas sesuai judul dan lingkup bahasan yang telah ditentukan.

Nama : DODIK PRASETYO U
NRP : 4296 100 037
Dosen Pembimbing : Ir. AGUK ZUHDI MF, MEng.
Tanggal Tugas Diberikan : 6 September 2000
Tanggal Tugas Diselesaikan : 27 Juli 2001
Judul Tugas Akhir : PENGARUH PEMAKAIAN COATING HASTELLOY-X
DAN ZrO₂ TERHADAP EFISIENSI THERMAL DARI
TURBIN GAS

Surabaya, 6 September 2000

Ketua Jurusan Teknik Sistem Perkapalan

Fakultas Teknologi Kelautan ITS

DR. Ir. A.A. Masroeri, M. Eng.

NIP. 131 407 591

Surabaya, 6 September 2000

Yang menerima tugas:
Mahasiswa,

Dosen Pembimbing

DODIK PRASETYO
NRP. 4296 100 037

Ir. AGUK ZUHDI MF. MEng
NIP. 131 646 637



LEMBAR KEMAJUAN PENGERJAAN TUGAS AKHIR (KS 1701)

Nama Mahasiswa : Dodik Prasetyo U
 Nrp : 4296 100 037
 Judul Tugas Akhir : *Pengaruh Pemakaian Coating Hallestoy-X dan ZrO₂ Terhadap Efisiensi Thermal Combustion Chamber dari Turbin Gas*
 Dosen Pembimbing : 1) Ir. Aguk Zuhdi MF, MEng

| NO | TANGGAL | KEGIATAN | PARAF DOSEN |
|----|----------------|--|-------------|
| 1 | 20 - 9 - 2000 | Permasalahan & proposal. | |
| 2 | 9 - 11 - 2000 | Asistensi Bab I ; metode penyelesaian | |
| 3 | 6 - 12 - 2000 | Perhitungan efisiensi & tekanan | |
| 4 | 20 - 12 - 2000 | Cara perhitungan Efisiensi | |
| 5 | 18 - 1 - 2001 | Perhitungan Efisiensi & pertambahan hasil. | |
| 6 | 23 - 2 - 2001 | Grafik Efisiensi 1 (cod) | |
| 7 | 18 - 3 - 2001 | Grafik Efisiensi & Daya | |
| 8 | 25 - 3 - 2001 | Kalibrasi Grafik masih > 0,15% | |
| 9 | 4 - 4 - 2001 | peremusun Efisiensi dg matematis | |
| 10 | 10 - 4 - 2001 | Kalibrasi masih tdk memenuhi | |
| 11 | 10 - 9 - 2001 | "Seminar kecil" | |
| 12 | 8 - 5 - 2001 | Perhitungan semua Penggerusan | |
| 13 | 11 - 6 - 2001 | Rumusan Pemodelan + kalibrasi | |
| 14 | 20 - 6 - 2001 | Pemodelan + kalibrasi | |

Catatan :

1. Mahasiswa siap/Tidak siap/Dibatalkan *) untuk diajukan
2. Catatan lain yang dianggap perlu

Surabaya, 26 - 9 - 2000
Dosen Pembimbing,

Ir. Aguk Zuhdi MF, MEng
NIP.131 646 637

*) Coret yang tidak perlu



LEMBAR KEMAJUAN PENGERJAAN TUGAS AKHIR (KS 1701)

Nama Mahasiswa : Dodik Prasetyo U
Nrp : 4296 100 037
Judul Tugas Akhir : *Pengaruh Pemakaian Coating Hastelloy-X dan ZrO₂ Terhadap Efisiensi Thermal Combustion Chamber Dari Turbin Gas*
Dosen Pembimbing : Ir. Aguk Zuhdi MF, MEng

| NO | TANGGAL | KEGIATAN | PARAF DOSEN |
|----|---------------|---------------------------------|-------------|
| 1 | 27 - 6 - 2001 | Pemodelan + kalibrasi | |
| 2 | 3 - 7 - 2001 | Pemodelan + kalibrasi | |
| 3 | 16 - 7 - 2001 | Analisa + pembahasan | |
| 4 | 20 - 7 - 2001 | Total penggerjoaan TA | |
| 5 | 22 - 7 - 2001 | Revisi Dasar teori | |
| 6 | 24 - 7 - 2001 | Total Penggerjoaan TA | |
| 7 | 26 - 7 - 2001 | Perbaikan transparan + paper TA | |
| 8 | | | |
| 9 | | | |
| 10 | | | |
| 11 | | | |
| 12 | | | |
| 13 | | | |
| 14 | | | |

Catatan:

1. Mahasiswa siap / Tidak siap / Dibatalkan *) untuk diajukan
2. Catatan lain yang dianggap perlu

Surabaya, 13 Maret 2001
Dosen Pembimbing

Ir. Aguk Zuhdi MF, MEng
NIP. 131 646 637

*) Coret yang tidak perlu